

# Elektromechanische Systeme

Teil von Prof. Binder:

„Mathematische Analyse von Wandlern & Aktoren“



TECHNISCHE  
UNIVERSITÄT  
DARMSTADT

1. Einführung
2. Grundlagen
3. Formale Behandlung elektromechanischer diskreter Systeme
4. Methode der *Lagrange*-Gleichungen
5. Elektromechanische Grundsysteme
6. Dynamische Untersuchung des Wandlerverhaltens
7. Analyse ausgewählter elektromechanischer Wandler



# Elektromechanische Systeme



TECHNISCHE  
UNIVERSITÄT  
DARMSTADT

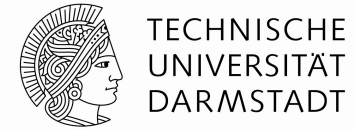
## 2. Grundlagen

- Dynamische Grundgesetze der Mechanik und Elektromagnetik
- Materialgesetze
- Kraftgesetze
- Energiebegriffe
- Einführendes Beispiel:  
Kopplung eines mechanischen mit einem el.-magn. System



# Elektromechanische Systeme

## 2. Grundlagen



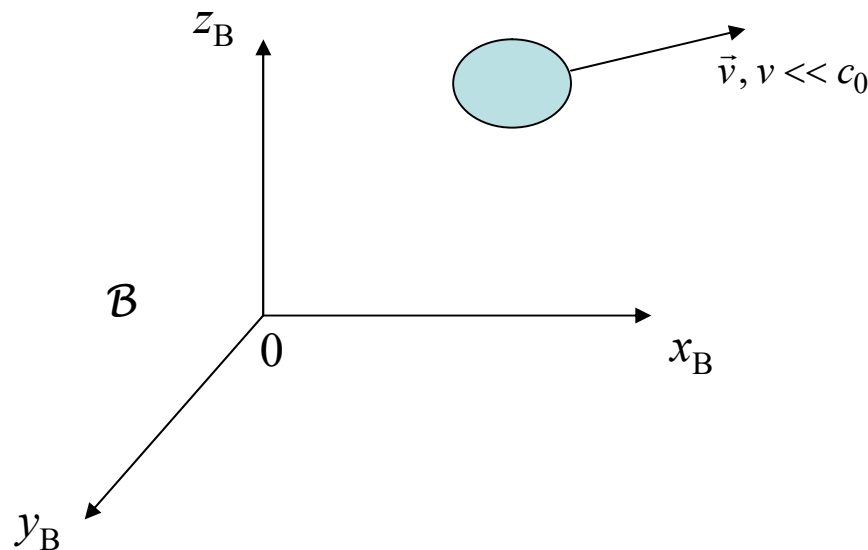
- Dynamische Grundgesetze der Mechanik und Elektromagnetik
- Materialgesetze
- Kraftgesetze
- Energiebegriffe
- Einführendes Beispiel:  
Kopplung eines mechanischen mit einem el.-magn. System



# Dynamische Grundgesetze der Mechanik und Elektromagnetik

## Mechanische Grundgleichungen (1)

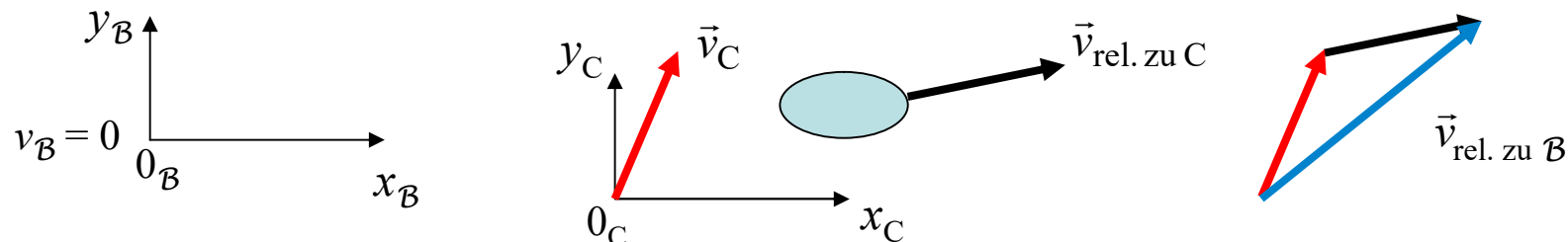
- Die **mechanischen Grundgleichungen** geben Bewegungen von massebehafteten Körpern durch Kräfte und Drehmomente bezüglich eines Beobachters  $\mathcal{B}$  (der das **Bezugssystem** darstellt) wieder
- Wenn die Geschwindigkeit  $v$  der Bewegung bezüglich  $\mathcal{B}$  KLEIN gegenüber der Vakuumlichtgeschwindigkeit  $c_0 \cong 3 \cdot 10^8$  m/s ist, gelten die drei **NEWTON'schen Gesetze**



# Dynamische Grundgesetze der Mechanik und Elektromagnetik

## Mechanische Grundgleichungen (2)

- Bei **hohen Geschwindigkeiten  $v$**  müssen mit den Gesetzen der **speziellen Relativitätstheorie** diese NEWTON'schen Gesetze korrigiert werden  $\Rightarrow$  Die Umrechnung der NEWTON-Gesetze von bewegtem System zum ruhenden Bezugssystem  $\mathcal{B}$  erfolgt mit der LORENTZ-Transformation, wobei sich die „Formeln“ ändern
  - $\Rightarrow$  Bewegte Körper erscheinen von  $\mathcal{B}$  aus in Bewegungsrichtung **verkürzt**, die Zeit im bewegten System vergeht aus Sicht von  $\mathcal{B}$  aus **langsamer**.
  - $\Rightarrow$  Der Formelapparat für das bewegte System ändert sich bezüglich Beobachter  $\mathcal{B}$
- **Elektromechanische Wandler:**  
**Kleine Geschwindigkeiten  $v$**   $\Rightarrow$  Statt LORENTZ-Transformation kann näherungsweise **GALILEI-Transformation** (= Geschwindigkeitsaddition) verwendet werden
  - $\Rightarrow$  Abmessungen bewegter Körper bleiben bzgl.  $\mathcal{B}$  erhalten,
  - $\Rightarrow$  Einheitliche Zeit bzgl. Beobachter  $\mathcal{B}$  in allen Systemen
  - $\Rightarrow$  Einheitlicher Formelapparat für ruhende und bewegte Systeme



# Dynamische Grundgesetze der Mechanik und Elektromagnetik

## Nichtrelativistische mechanische Grundgleichungen (1)



TECHNISCHE  
UNIVERSITÄT  
DARMSTADT

- Die **mechanischen Grundgleichungen** („Bewegungsgleichungen“) können auf zwei Arten formuliert werden:
  - a) Mit Verwendung der **NEWTON'schen Axiome**,
  - b) Mit Verwendung des **LAGRANGE-Formalismus**
- a) Mit Verwendung der **NEWTON'schen Axiome**:
  1. Ein **kräftefreier** Körper bleibt in Ruhe oder bewegt sich geradlinig mit konstanter Geschwindigkeit.
  2. Kraft ist gleich Masse mal Beschleunigung.
  3. Eine Kraft von Körper **A** auf Körper **B** verursacht immer eine gleich große, aber entgegen gerichtete Kraft von Körper **B** auf Körper **A**



# Dynamische Grundgesetze der Mechanik und Elektromagnetik

## Nichtrelativistische mechanische Grundgleichungen (2)



TECHNISCHE  
UNIVERSITÄT  
DARMSTADT

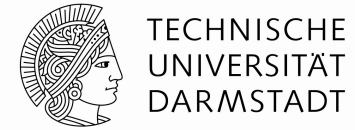
- b) Mit Verwendung des **LAGRANGE-Formalismus**:
  1. Die Dynamik eines Systems wird durch eine einzige skalare (**LAGRANGE**)-Funktion beschrieben.
  2. Aus der LAGRANGE-Funktion werden die Bewegungsgleichungen mit den EULER-LAGRANGE-Gleichungen der Variationsrechnung aus dem Prinzip der kleinsten Wirkung bestimmt.
- **Vorteil von b) gegenüber a)**:

Bei Systemen mit vielen unterschiedlich bewegten Körpern (**Mehrkörpersystemen**) können die Bewegungsgleichungen leichter angegeben werden  
⇒ das Freischneiden der einzelnen Körper mit dem Aufstellen des Kräftegleichgewichts je Körper (mit Einführung von Zwangskräften zwischen den Körpern) **entfällt**.



# Dynamische Grundgesetze der Mechanik und Elektromagnetik

**Wiederholung**



## 2. NEWTON-Gesetz für Linear- und Drehbewegung

### Mechanik: Impulserhaltungssatz:

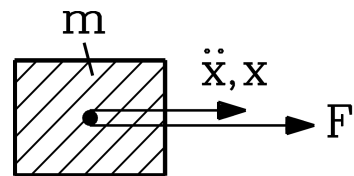
Der Gesamtimpuls in einem abgeschlossenen System ist konstant:

Konstanz des Impulses  $\vec{g}$

$$\vec{g} = m \cdot \vec{v} = \text{konst.}$$

Trägheits-**Kraft** = Impulsänderung

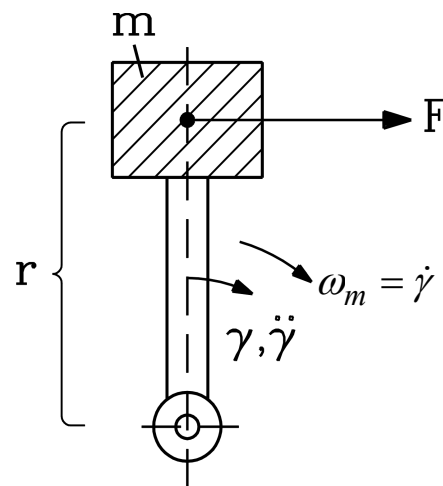
$$\vec{F} = d\vec{g} / dt$$



$m = \text{konst.}$

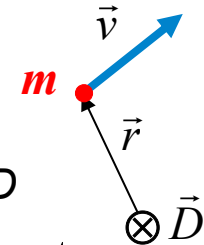
$$\vec{F} = m \cdot d\vec{v} / dt$$

$$F = m \cdot \ddot{x}$$



Konstanz des Drehimpulses  $D$

$$\vec{D} = \vec{r} \times \vec{g} = m \cdot (\vec{r} \times \vec{v}) = \text{konst.}$$



Trägheits-**Drehmoment** = Drehimpulsänderung

$$\vec{M} = d\vec{D} / dt$$

Beispiel: Drehbewegung:  $r = \text{konst.}$

Drehwinkel  $\gamma$ , Winkelgeschwindigkeit  $\omega_m = \dot{\gamma}$

Drehzahl  $n = \omega_m / (2\pi)$

$$x = r \cdot \gamma: \quad \vec{M} = \vec{r} \times \vec{F} \Rightarrow M = r \cdot F$$

$$M = r \cdot m \cdot \ddot{x} = r \cdot m \cdot r \cdot \ddot{\gamma} = \underbrace{m \cdot r^2}_{J} \cdot \dot{\omega}_m$$

$$M = J \cdot \dot{\omega}_m$$

Polares Trägheitsmoment  $J = m \cdot r^2$





# Dynamische Grundgesetze der Mechanik und Elektromagnetik

## Elektromagnetische Grundgleichungen (1)



TECHNISCHE  
UNIVERSITÄT  
DARMSTADT

- Die **elektromagnetischen Grundgleichungen** geben die gekoppelt
  - elektrischen und
  - magnetischen Vorgängeim Vakuum,  
in elektrisch geladenen,  
in stromdurchflossenen,  
in polarisierbaren bzw. magnetisierbaren Körpern  
bezüglich eines Beobachters  $\mathcal{B}$  (der das **Bezugssystem** darstellt) wieder
- **Unabhängig**, ob die Geschwindigkeit  $v$  der Bewegung bezüglich Beobachter  $\mathcal{B}$  KLEIN gegenüber der Vakuumlichtgeschwindigkeit  $c_0 \cong 3 \cdot 10^8$  m/s ist oder nicht, gelten die vier **MAXWELL'schen Gesetze**.
- Die **MAXWELL-Gesetze** sind **LORENTZ-invariant!**:  
Bei der Umrechnung der MAXWELL-Gesetze vom bewegtem System zum ruhenden Bezugssystem  $\mathcal{B}$  mit der LORENTZ-Transformation ändern sich die Gesetze **nicht!**



# Dynamische Grundgesetze der Mechanik und Elektromagnetik

## Elektromagnetische Grundgleichungen (2)



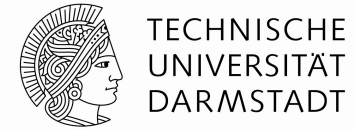
TECHNISCHE  
UNIVERSITÄT  
DARMSTADT

- Bei der Umrechnung der MAXWELL-Gesetze vom bewegtem System zum ruhenden Bezugssystem  $\mathcal{B}$  mit der LORENTZ-Transformation ändern sich **nicht** die MAXWELL-Gesetze, **ABER** die elektromagnetischen Größen  $D$ ,  $E$ ,  $B$ ,  $H$  !
- z. B.:
  - a) Ein **bewegtes magnetisches System** ( $B$ ,  $H$ ) hat aus der Sicht vom ruhenden Beobachter  $\mathcal{B}$  nun **geänderte Werte  $B'$ ,  $H'$**  und **zusätzliche elektrische Größen  $D'$ ,  $E'$**  („Bewegungsinduktion!“: Ist ein großer Effekt!)
  - b) Ein **bewegtes elektrisches System** ( $D$ ,  $E$ ) hat aus der Sicht vom ruhenden Beobachter  $\mathcal{B}$  nun **geänderte Werte  $D'$ ,  $E'$**  und **zusätzliche magnetische Größen  $B'$ ,  $H'$**  (RÖNTGEN-Effekt und ROWLAND-Effekt ! Dies sind aber kleine Effekte!)



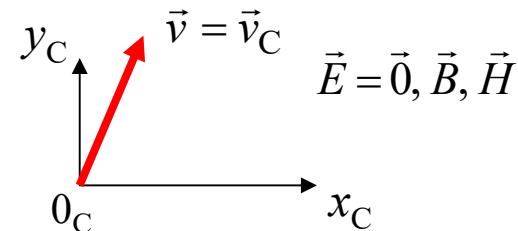
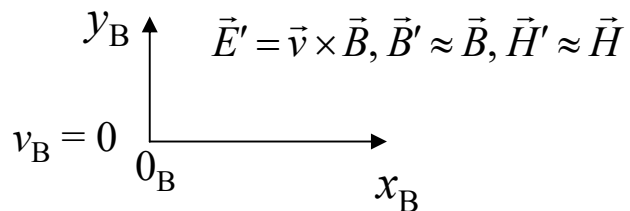
# Dynamische Grundgesetze der Mechanik und Elektromagnetik

## Bewegungsinduktion



- **Elektromechanische Wandler: Kleine Geschwindigkeiten  $v \Rightarrow$**   
Zwar ändern sich die elektromagnetischen Größen  $D, E, B, H$  in  $D', E', B', H'$ ,  
aber
  1. Die auftretenden magnetischen Größenänderungen  
sind vernachlässigbar klein:  $B \approx B', H \approx H'$ ,
  2. **JEDOCH** die zusätzliche Größe  $E' - E$  muss berücksichtigt werden  
(„**Bewegungsinduktion**“).

Für  $v \ll c_0$  gilt:  $\vec{E}' \cong \vec{E} + \vec{v} \times \vec{B} \Rightarrow \vec{E}_b = \vec{v} \times \vec{B}$



# Dynamische Grundgesetze der Mechanik und Elektromagnetik

**Wiederholung**



TECHNISCHE  
UNIVERSITÄT  
DARMSTADT

## Elektromagnetische Grundgesetze (ohne Relativbewegung $v$ )

- Elektromagnetische Grundgesetze (**MAXWELL-Gleichungen in integraler Form**):

$$\oint_{C=\partial A} \vec{H} \cdot d\vec{s} = \Theta + \frac{\partial \Phi_e}{\partial t}$$

Ampere-Maxwell-Gesetz

$$\oint_{C=\partial A} \vec{E} \cdot d\vec{s} = -\frac{\partial \Phi}{\partial t}$$

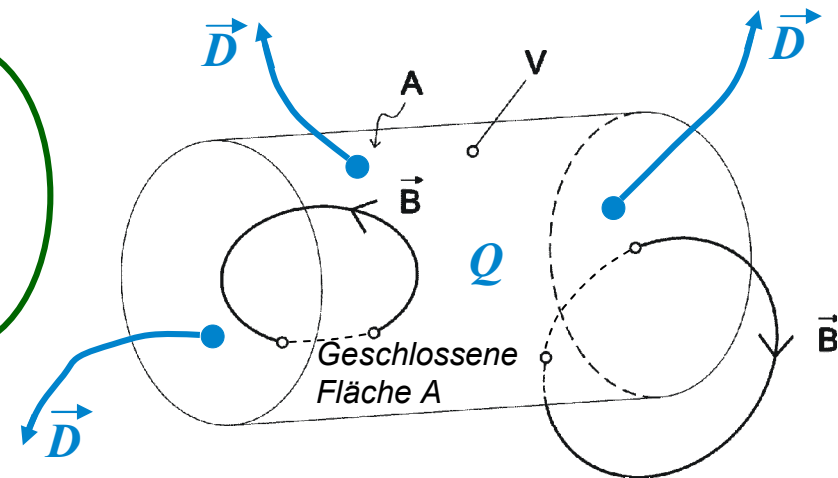
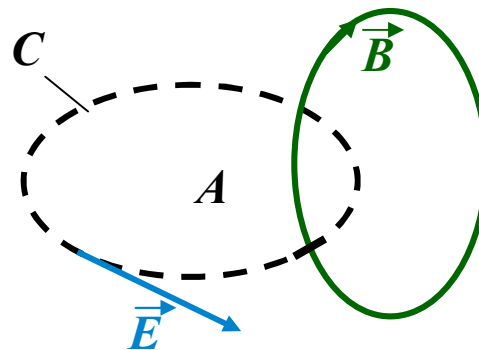
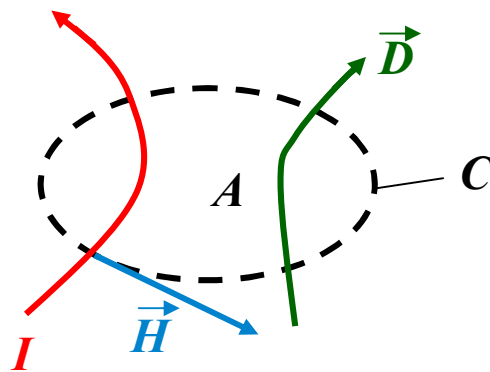
Faraday-Gesetz

$$\Phi = \oint_{A, \partial A=0} \vec{B} \cdot d\vec{A} = 0$$

Magn. Hüllenfluss

$$\Phi_e = \oint_{A, \partial A=0} \vec{D} \cdot d\vec{A} = Q$$

El. Hüllenfluss



$$\Theta = \sum_k N_k I_k$$

El. Durchflutung

$$\int_A \vec{B} \cdot d\vec{A} = \Phi$$

Magnetischer Fluss

$$\int_A \vec{D} \cdot d\vec{A} = \Phi_e$$

Elektrischer Fluss

$C = \partial A$ : (geschlossene) Randkurve der Fläche  $A$



# Dynamische Grundgesetze der Mechanik und Elektromagnetik

## El.-magn. Grundgesetze für kleine Frequenzen

Wiederholung



TECHNISCHE  
UNIVERSITÄT  
DARMSTADT

- Elektromagnetische Grundgesetze in integraler Form: (ohne Relativbewegung  $v$ )

Ampere-Maxwell-Gesetz

$$\oint_{C=\partial A} \vec{H} \cdot d\vec{s} = \Theta + \frac{\partial \Phi_e}{\partial t}$$

$$\Theta \gg \frac{\partial \Phi_e}{\partial t}$$

Ampere-Gesetz

$$\oint_{C=\partial A} \vec{H} \cdot d\vec{s} \approx \Theta$$

**Gilt streng nur bei  
statischen Feldern**

$$\oint_{C=\partial A} \vec{E} \cdot d\vec{s} = -\frac{\partial \Phi}{\partial t}$$

Faraday-Gesetz

$$\Phi = \oint_{A, \partial A=0} \vec{B} \cdot d\vec{A} = 0$$

Magn. Hüllenfluss

$$\Phi_e = \oint_{A, \partial A=0} \vec{D} \cdot d\vec{A} = Q$$

El. Hüllenfluss

**Gelten weiterhin  
allgemein**



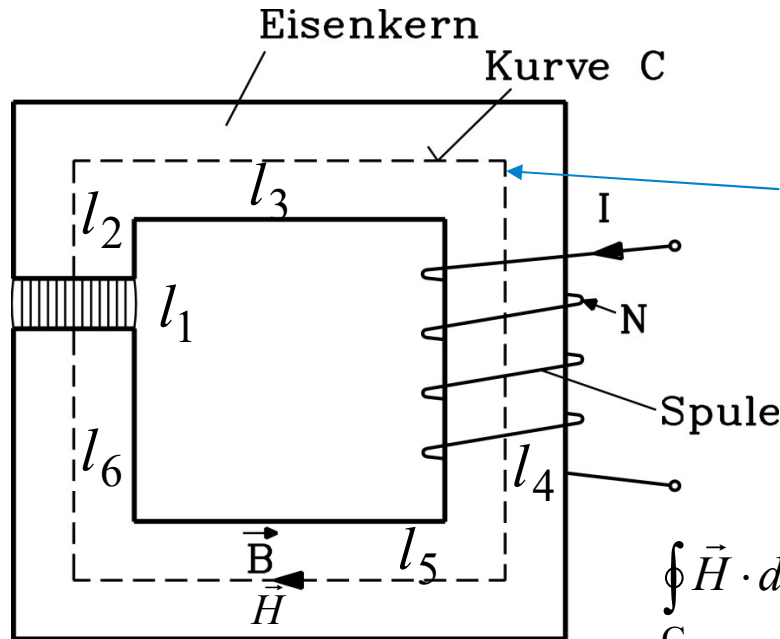
# Dynamische Grundgesetze der Mechanik und Elektromagnetik

## AMPERE'scher Durchflutungssatz



TECHNISCHE  
UNIVERSITÄT  
DARMSTADT

**Wiederholung**



Im Bild:  $n = 6$  Abschnitte

Gültig für kleine Frequenzen:

Geschlossene Kurve  $C =$  z. B. Feldlinie von  $H$ ,  
Strom  $I$ , Spulenwindungszahl  $N (= 4$  im Bild)

Magnetische Flussdichte $B$	(Tesla, T)
Magnetische Feldstärke $H$	(A/m)
Magnetische Spannung $V$	(A)

$$\oint_C \vec{H} \cdot d\vec{s} = \Theta = N \cdot I \cong H_1 \cdot l_1 + H_2 \cdot l_2 + \dots + \underbrace{H_n \cdot l_n}_{V_n}$$

$$\Theta \cong V_1 + V_2 + \dots + V_n$$

### Durchflutungssatz:

In einem magnetischen Feld ist das Linienintegral über die magnetische Feldstärke  $H$  entlang einer in sich geschlossenen Linie  $C$  stets gleich dem gesamten elektrischen Strom  $N \cdot I$  (als Durchflutung  $\Theta$ ), der durch die von dieser Linie gebildeten Fläche hindurch tritt.



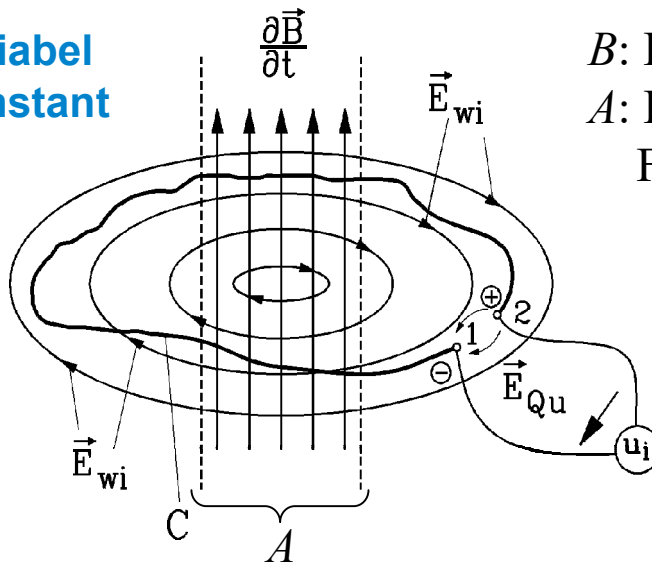
# Dynamische Grundgesetze der Mechanik und Elektromagnetik

## FARADAY'sches Induktionsgesetz

### Wiederholung

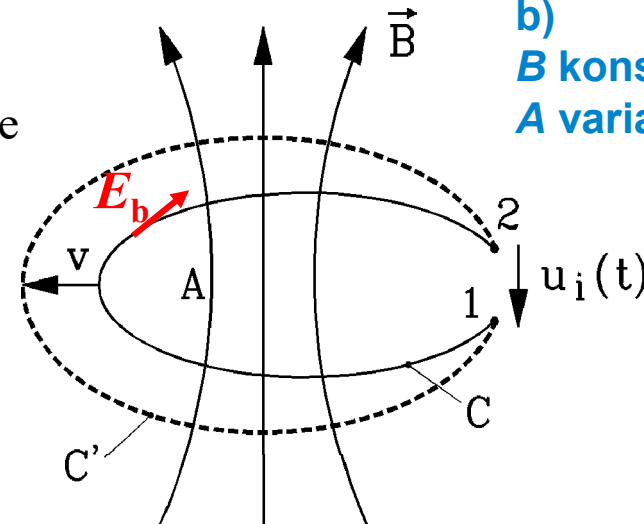
- Änderung von  $\Phi$ : a)  $B$  ändert sich, b) Fläche  $A$  ändert sich mit Geschwindigkeit  $v$

a)  
 $B$  variabel  
 $A$  konstant



$B$ : Flussdichte  
 $A$ : Flussführende  
Fläche

b)  
 $B$  konstant  
 $A$  variabel



- Jede Änderung des mit der Leiterschleife  $C$  verketteten Flusses  $\Phi$  ruft eine induzierte Spannung  $u_i$  hervor
- Die induzierte Spannung ist die negative Änderung des Flusses.

$$u_i = -d\Phi / dt \quad \text{Fluss: } \Phi = \int_A \vec{B} \cdot d\vec{A} \quad [\Phi] = \text{V} \cdot \text{s} = \text{Weber}$$

# Dynamische Grundgesetze der Mechanik und Elektromagnetik

## Flussverkettung $\Psi$



TECHNISCHE  
UNIVERSITÄT  
DARMSTADT

**Wiederholung**

Fluss:  $\Phi = \int_A \vec{B} \cdot d\vec{A}$       $[\Phi] = \text{V} \cdot \text{s} = \text{Weber}$       $u_i = -d\Phi / dt$

- Hat die Schleife  $N$  Windungen in Serie, so ist  $u_i$   $N$ -mal so groß:  $u_i = -N \cdot d\Phi / dt$

- **Flussverkettung**  $\Psi = N \cdot \Phi \Rightarrow u_i = -d\Psi / dt$       $[\Psi] = \text{V} \cdot \text{s}$

- **Änderung von  $\Psi$ :**

- $B$  ändert sich (KEINE Relativbewegung  $v$ ),
- Fläche  $A$  ändert sich mit (Relativ-)Geschwindigkeit  $v \ll c_0$

- Produktregel beim Differenzieren:  $\frac{d\Phi}{dt} = \frac{d}{dt} \int_A \vec{B} \cdot d\vec{A} = \int_{A=\text{konst.}} \frac{\partial \vec{B}}{\partial t} \cdot d\vec{A} - \oint_C (\vec{v} \times \vec{B}) \cdot d\vec{s}$

$$u_i = \oint_{N \cdot C} (\vec{E}_{wi} + \vec{E}_b) \cdot d\vec{s} = N \cdot \int_A -\frac{\partial \vec{B}}{\partial t} \cdot d\vec{A} + N \cdot \oint_C (\vec{v} \times \vec{B}) \cdot d\vec{s} = -\frac{d\Psi}{dt}$$





# Dynamische Grundgesetze der Mechanik und Elektromagnetik

## Ruh- und Bewegungsinduktion ( $v \ll c_0$ )

**Wiederholung**



TECHNISCHE  
UNIVERSITÄT  
DARMSTADT

<i>Ruhinduktion</i>	<i>Bewegungsinduktion</i>
Flussdichte $B$ zeitlich veränderlich	Flussdichte $B$ zeitlich konstant
Spule ruht	Spule bewegt sich mit Geschwindigkeit $v$
$u_i = -d\Psi / dt = -N \cdot d\Phi / dt$	
$u_i = -\partial\Psi / \partial t = \oint \vec{E}_{wi} \cdot d\vec{s}$	$u_i = \oint (\vec{v} \times \vec{B}) \cdot d\vec{s} = \oint \vec{E}_b \cdot d\vec{s}$
Wirbelfeldstärke $\vec{E}_{wi}$ $\text{rot}\vec{E}_{wi} = -\partial\vec{B}/\partial t$	Bewegungsfeldstärke $\vec{E}_b = \vec{v} \times \vec{B}$
<b>Anwendung des Induktionsgesetzes:</b> z. B.:	
<ul style="list-style-type: none"> <li>• Transformatorspulen</li> <li>• Ständerspulen in Drehfeldmaschinen</li> </ul>	<ul style="list-style-type: none"> <li>• Rotierende Ankerwicklung in Gleichstrommaschinen</li> </ul>
<i>Transformatorische Induktion</i>	<i>Rotatorische Induktion</i>

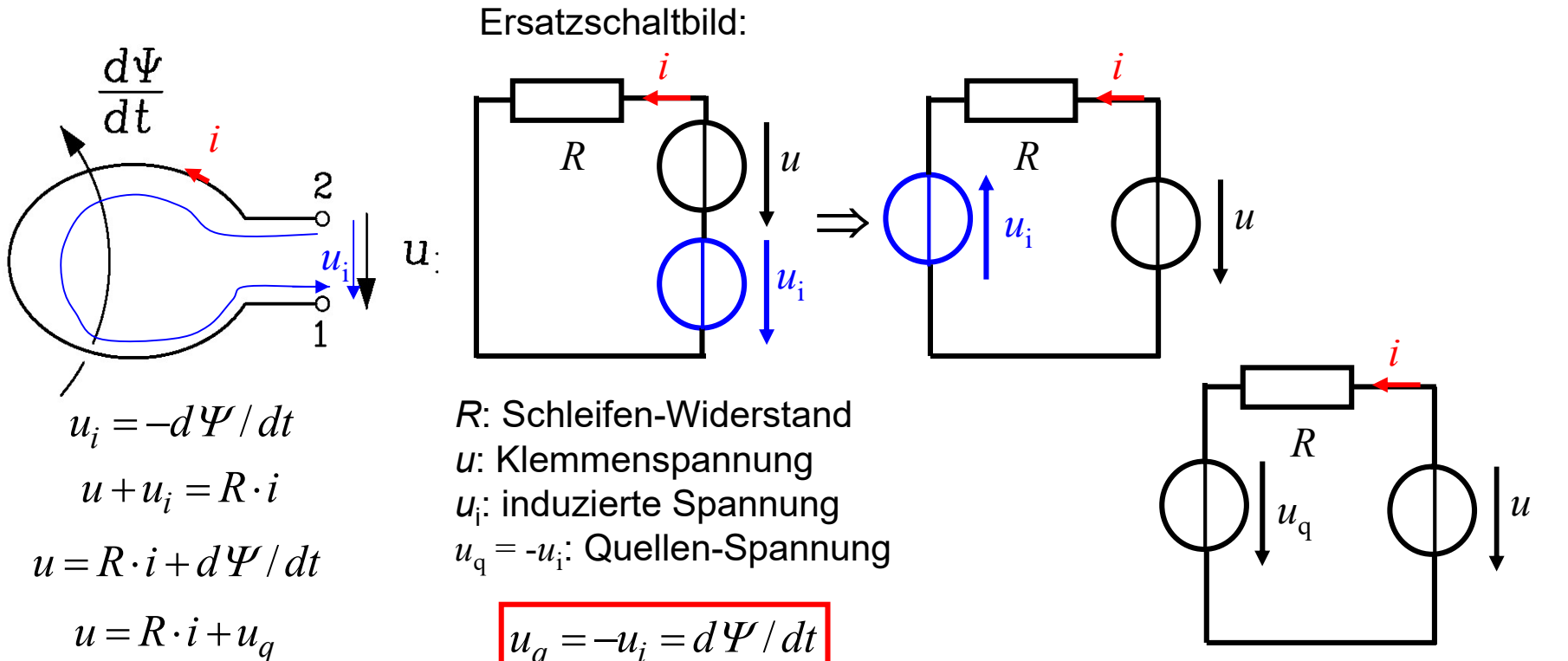


# Dynamische Grundgesetze der Mechanik und Elektromagnetik

**Wiederholung**



## Beispiel: Induktion in eine Leiterschleife - Ersatzschaltbild



$$u_i = -d\Psi / dt$$

$$u + u_i = R \cdot i$$

$$u = R \cdot i + d\Psi / dt$$

$$u = R \cdot i + u_q$$

Verbraucher-Zählpfeilsystem  
für  $u, i$

- Beispiel:
- a) Leerlaufende Schleife:  $i = 0 \Rightarrow u = -u_i = u_q = d\Psi/dt$
  - b) Kurzgeschlossene Schleife:  
 $u = 0 \Rightarrow i = u_i/R = -u_q/R = -(d\Psi/dt)/R$  **NEGATIVER Strom!**

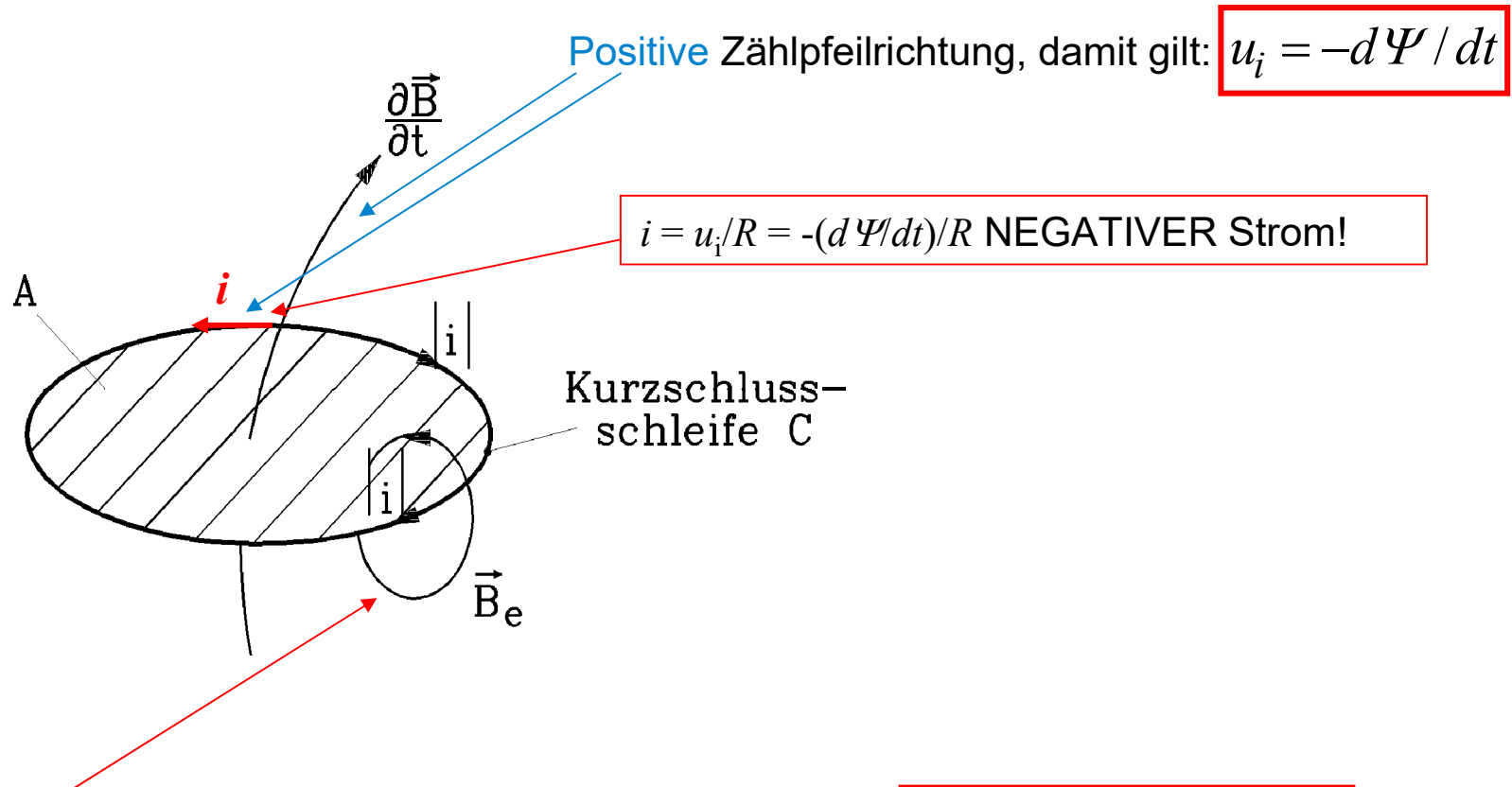


# Dynamische Grundgesetze der Mechanik und Elektromagnetik

## Beispiel: Induzierung einer Kurzschluss-Schleife



TECHNISCHE  
UNIVERSITÄT  
DARMSTADT



Das Feld  $B_e(i)$  bremst die resultierende Feldänderung = „Magnetische Trägheit“!



# Dynamische Grundgesetze der Mechanik und Elektromagnetik

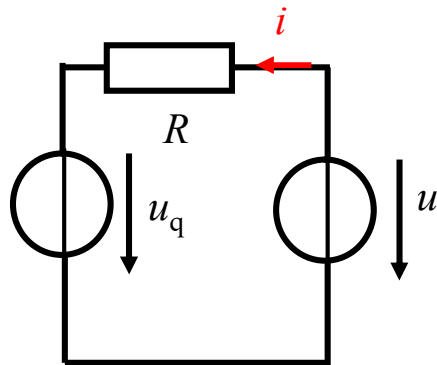
**Wiederholung**



TECHNISCHE  
UNIVERSITÄT  
DARMSTADT

## Induzierte Spannung – Selbst- und Gegeninduktion

Ersatzschaltbild: Verbraucher-Zählpfeilsystem für  $u, i = i_1$



$L$ : Selbstinduktivität von  $i_1$

$M$ : Gegeninduktivität eines Fremdstromsystems  $i_2$

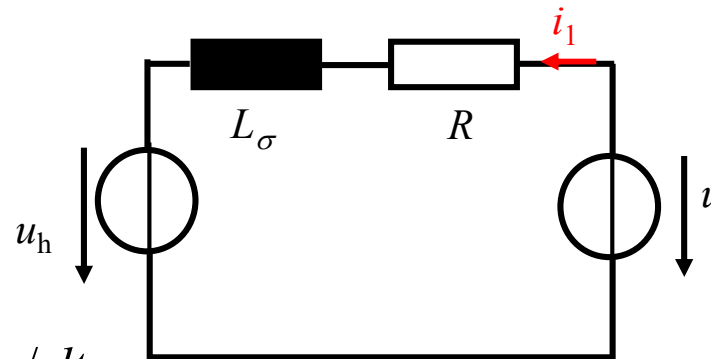
Gesamtflussverkettung der Schleife:  $\Psi = L \cdot i_1 + M \cdot i_2$

Streuinduktivität:  $L_\sigma = L - M$

Hauptfeldspannung:  $u_h = M \cdot d(i_1 + i_2) / dt$

$$u = R \cdot i + d\Psi / dt$$

$$u_q = -u_i = d\Psi / dt$$



Hauptflussverkettung:

$$\Psi_h = M \cdot (i_1 + i_2)$$

Streuflussverkettung:

$$\Psi_\sigma = L_\sigma \cdot i_1$$

$$u_q = d\Psi / dt = L \cdot di_1 / dt + M \cdot di_2 / dt$$

$$u_q = (L - M) \cdot di_1 / dt + M \cdot d(i_1 + i_2) / dt$$

$$u_q = d\Psi_\sigma / dt + d\Psi_h / dt$$

$$u = R \cdot i_1 + L_\sigma \cdot di_1 / dt + u_h$$



# Dynamische Grundgesetze der Mechanik und Elektromagnetik

## Elektromagnetische Grundgleichungen (1)



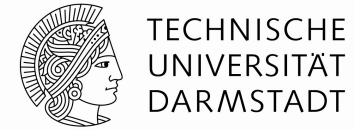
TECHNISCHE  
UNIVERSITÄT  
DARMSTADT

- Die **elektromagnetischen Grundgleichungen** können auf zwei Arten formuliert werden:
  - a) Mit Verwendung der vier **MAXWELL'schen Gleichungen**,
  - b) Mit Verwendung des **LAGRANGE-Formalismus**
- Mit Verwendung der vier **MAXWELL'schen Gleichungen** mit dem vereinfachten AMPERE-MAXWELL-Satz für kleine zeitliche Änderungen
  1. in **lokaler** (= differentieller) Form mit den lokalen Feldgrößen  $D, E, B, H$   
oder
  2. in **globaler** (= integraler) Form mit  $\Psi$  (bzw.  $\Phi$ ),  $\Phi_e, Q, i, \varphi, u, V$  (magnetische Spannung),  
oder
  3. mit den **konzentrierten** Größen  
als Netzwerke mit magnetischen und elektrischen Widerständen („Reluktanzen“)  
und  
elektrischen Netzwerken mit den Parametern  $L, C$   
und  
Anwendung der beiden KIRCHHOFF'schen Gesetze.



# Dynamische Grundgesetze der Mechanik und Elektromagnetik

## Elektromagnetische Grundgleichungen (2)



- Mit Verwendung des **LAGRANGE-Formalismus**:

1. Für lokale Feldgrößen fußt die skalare (**LAGRANGE**)-Funktion auf dem **Vektorpotential**  $A$

$$\vec{B} = \text{rot}\vec{A}, \quad \text{div}\vec{A} = -\frac{1}{c_0^2} \cdot \frac{\partial \varphi}{\partial t} \quad (\vec{E} = -\text{grad}\varphi) \quad \varphi: \text{elektrisches Potential}$$

Für **numerische Feldberechnungen** wird bei der **Methode der Finiten Elemente** für endlich große („finite“) Geometrieelemente durch **Variationsrechnung** aus dem Prinzip der kleinsten Wirkung das elektromagnetische Feld bestimmt.

Dabei wird  $A$  über jedem finiten Element als

linear                      oder                      quadratisch von  $(x, y, z)$  abhängige Größe angenähert.

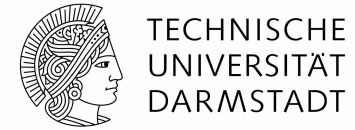
2. Für **globale Größen**  $u, i$  wird die LAGRANGE-Funktion wie in der Mechanik über den **Energiebegriff** gebildet.

Mit der **Variationsrechnung** werden (anstelle mit den KIRCHHOFF'schen Gesetzen) die **Strom- und Spannungsgleichungen** aufgestellt.



# Elektromechanische Systeme

## 2. Grundlagen



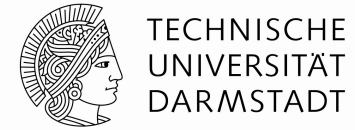
- Dynamische Grundgesetze der Mechanik und Elektromagnetik
- **Materialgesetze**
- Kraftgesetze
- Energiebegriffe
- Einführendes Beispiel:  
Kopplung eines mechanischen mit einem el.-magn. System



# Materialgesetze

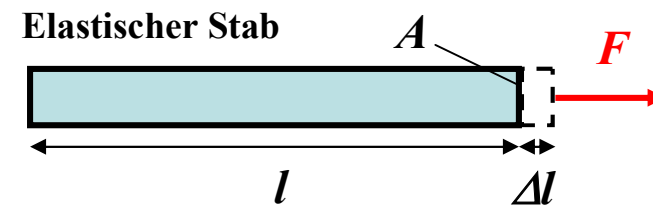
## Elastisch verformbare Materie

Wiederholung



- **Elastizität:** Körpereigenschaft, unter Krafteinwirkung die Körperform zu verändern und bei Wegfall der einwirkenden Kraft in die Ursprungsform zurückzufedern
- **Sonderfall:** Linear-elastischer Körper im einachsigen Spannungszustand  
(= eindimensionales HOOKE'sches Gesetz):

$$\sigma = E \cdot \varepsilon$$



Elastischer Stab (Länge  $l$ , unverformter Querschnitt  $A$ ):  $\Rightarrow$  Angriff einer äußeren Kraft  $F$ :

Mechanische Spannung:  $\sigma = F / A$

Elastische Verlängerung des Stabs:  $\Delta l \Rightarrow$  „Dehnung“:  $\varepsilon = \Delta l / l$

**Elastizitätsmodul  $E$**  ist Werkstoff-Eigenschaft

- **Thermoelastizität:** Elastische Körperverformung bei Wärmezufuhr (z. B: **Wärmedehnung**).  
Aber auch Änderung der mechanischen Spannungen, wenn Verformung nicht möglich ist.





# Materialgesetze

## Elektrisch polarisierbare Materie

- **Dielektrika:** i. A. elektrisch nicht oder schwach leitfähige Stoffe, deren Moleküle versuchen, sich im äußeren elektrischen Feld  $E$  in oder gegen die Feldrichtung  $E$  auszurichten („polarisieren“). Dadurch erregen sie ein zusätzliches elektrisch wirksames Feld, die **elektrische Polarisation  $P$** .

- Das resultierend wirksame elektrische Feld ist die **dielektrische Verschiebung (el. Flussdichte)  $D$** :

$$\vec{D} = \varepsilon_0 \cdot \vec{E} + \vec{P}$$

- **Isotrope Dielektria:** Die Wirkung der Polarisierung ist unabhängig von der Raumrichtung.

- Lineare Polarisierbarkeit:  $\vec{P} \sim \vec{E} \Rightarrow \vec{D} = \varepsilon_0 \vec{E} + \vec{P} = \varepsilon \cdot \vec{E} = \varepsilon_0 \cdot \varepsilon_r \cdot \vec{E}$

$$\varepsilon_r = \text{konstant} \quad \varepsilon_r \geq 1: \text{relative Permittivität}$$

- Nichtlineare Polarisierbarkeit:  $\varepsilon_r(E), \quad E = |\vec{E}|$

- **Sonderfall:** „Ideal“ polarisierbar:  $\varepsilon_r \rightarrow \infty$

# Materialgesetze

## Magnetisierbare Materie

- **Magnetisierbare Werkstoffe:**

- Ferromagnetika, Anti-Ferromagnetika, Ferri-Magnetika, Diamagnetika, Paramagnetika**

- i. A. elektrisch leitfähige Stoffe, deren Moleküle versuchen, sich im äußeren magnetischen Feld  $H$  in oder gegen die Feldrichtung  $H$  auszurichten. Dadurch erregen sie ein zusätzliches magnetisch wirksames Feld (= **magnet. Polarisation  $J_M$**  bzw. **Magnetisierung  $M = J_M/\mu_0$** ).

- Oberhalb der **CURIE-Temperatur  $T_c$**  verschwindet der Ferro-/Anti-Ferromagnetismus!

- Fe: 768°C, Ni: 350°C, Co: 1150°C, Ba- u. Sr-Ferrite: 100 ... 460°C je nach Typ

- Das resultierend wirksame magnetische Feld ist die **magnetische Induktion**

- (mag. Flussdichte)  $B$ :**  $\vec{B} = \mu_0 \cdot \vec{H} + \vec{J}_M = \mu_0 \cdot \vec{H} + \mu_0 \cdot \vec{M}$

- **Isotrope Magnetika:** Die Magnetisierungswirkung ist unabhängig von der Raumrichtung:

- a) Linear:  $\mu_r = \text{konstant}$ :  $\vec{J}_M \sim \vec{H} \Rightarrow \vec{B} = \mu_0 \vec{H} + \vec{J}_M = \mu \cdot \vec{H} = \mu_0 \cdot \mu_r \cdot \vec{H}$

- b) Nichtlinear:  $\mu_r(H)$ ,  $H = |\vec{H}|$   $\mu_r \geq 1$ : relative Permeabilität

- c) **Sonderfall:** „Ideal“ magnetisierbar:  $\mu_r \rightarrow \infty$

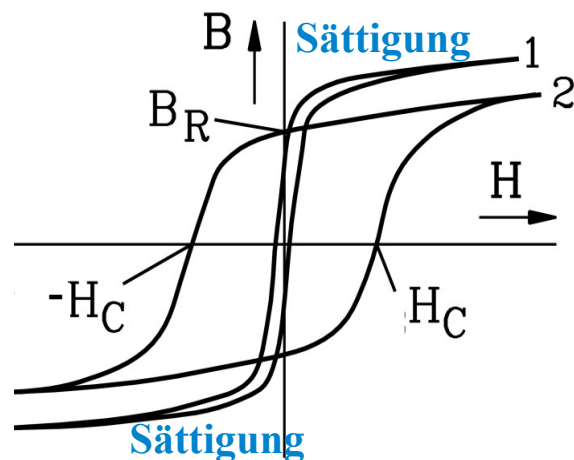
# Materialgesetze

## Ferromagnetische Werkstoffe (hier: isotrop)



TECHNISCHE  
UNIVERSITÄT  
DARMSTADT

- $B(H)$ -Kurve hängt nichtlinear von  $H$  ab:  $\vec{B}(H) = \mu_0 \vec{H} + \vec{J}_M(H) = \mu_0 \cdot \mu_r(H) \cdot \vec{H} \quad H = |\vec{H}|$
- $\mu_r(H)$ : **Relative Permeabilität**: z. B. spezielles Eisenblech:  $\mu_{r,\max} = \text{ca. } 5000 \dots 7000$
- Tatsächlich haben  $B(H)$ -Kurven eine „**Hysterese**“ = Schleifenform der  $B(H)$ -Kennlinie:  
Es treten **Remanenzflussdichte**  $B_R$  und **Koerzitivfeldstärke**  $H_C$  auf.



Quelle: Fischer, R.,  
Ele. Maschinen, Hanser-Verlag

1: „Weichmagnetisches“ Material:  $H_C$  klein

(z. B. Eisen, Nickel, Kobalt, ...)

2: „Hartmagnetisches“ Material:  $H_C$  groß:

Permanentmagnete

(z. B. Ferrite, Al-Ni-Co-Magnete, Selten-Erd-

Hochenergiemagnete wie NdFeB, SmCo<sub>5</sub>, Sm<sub>2</sub>Co<sub>17</sub> ...)

„**Sättigung**“ des Werkstoffs:

$B$  lässt sich trotz  $H$ -Vergrößerung kaum mehr erhöhen, da alle „Elementarmagnete“ im Werkstoff parallel zu  $H$  ausgerichtet sind  $\Rightarrow B$  wächst nur noch  $\vec{B}(H) = \mu_0 \vec{H}$

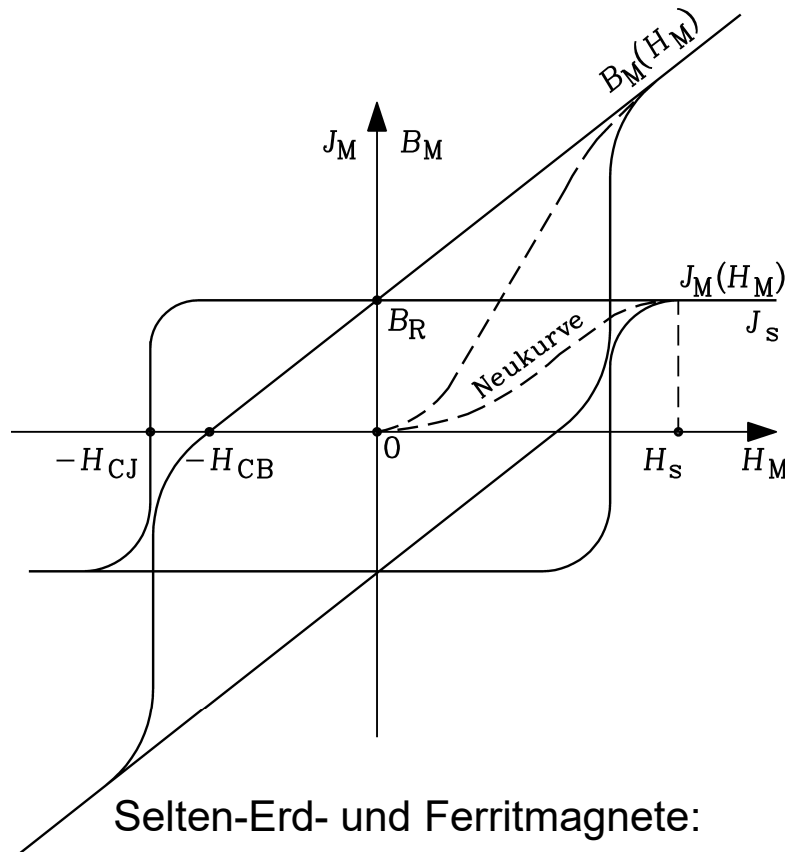
- Sättigung setzt bei **Eisen** ab etwa 1.7 T ein!

- **Ferroelektrika (Elektrete)**: Hystereseschleife  $D(E)$



# Materialgesetze

## Selten-Erd- und Ferrit-Dauermagnete



Permanentmagnete (Dauermagnete):

- AlNiCo,
- Ba-Ferrite und Sr-Ferrite,
- Selten-Erd-Magnete z.B.  $\text{Sm}_2\text{Co}_{17}$ , NdFeB

Magnetische Flussdichte im Permanentmagnet:

$$B_M = \mu_0 H_M + J_M$$

$J_M$ : Magnetische Polarisation

Gesättigte Werte: Index s

Remanenzflussdichte:  $B_R = J_R$

Koerzitivfeldstärke:  $H_{CJ}$  und  $H_{CB}$

Selten-Erd- und Ferritmagnete:

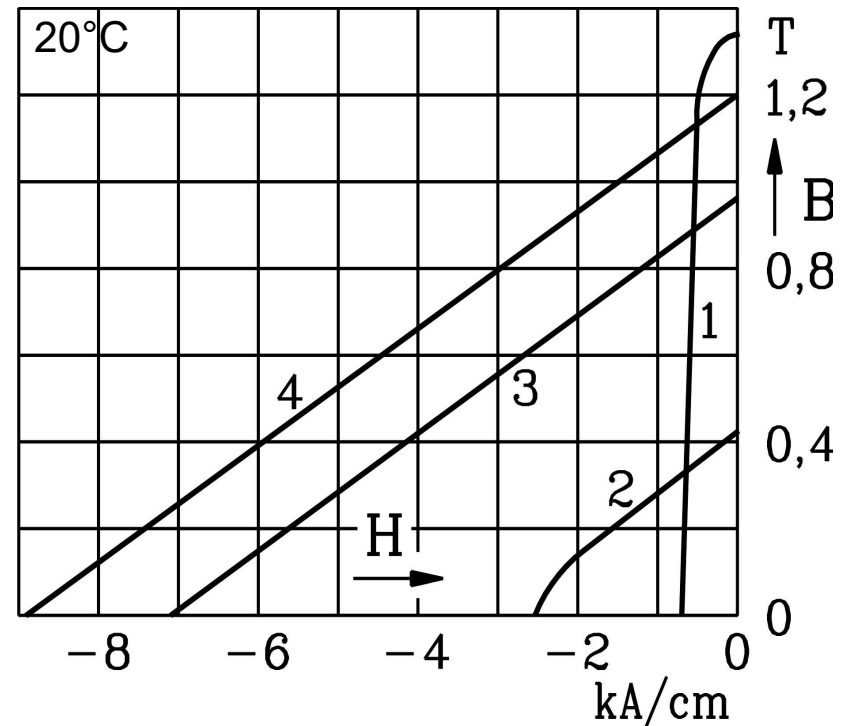
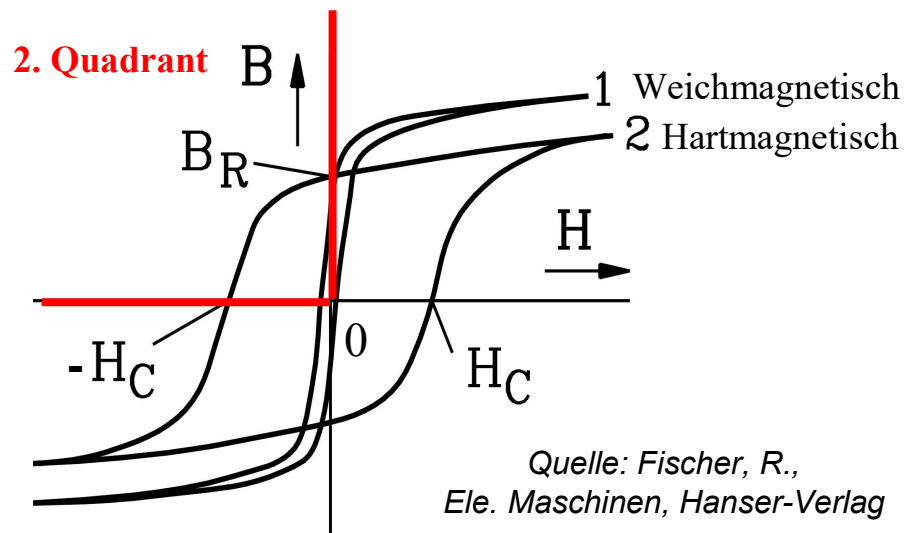
Für  $-H_{CJ} < H_M < H_{CB}$ :  $J_M(H_M) \approx \pm J_s = \text{konst.}$ :  $B_M \approx \mu_0 H_M \pm J_s$

$$B_M \approx \mu_M H_M \pm B_R \approx \mu_M H_M \pm J_s$$

$$\mu_M \approx \mu_0 \text{ typisch: } \mu_M \approx 1.05 \cdot \mu_0$$

# Materialgesetze

## Magnetkennlinien im 2. Quadranten



**B(H)-Hystereseschleife:** i. A. sinken  $B_R$ ,  $H_C$  mit steigender Temperatur bis  $T_c$

1: Al-Ni-Co: Hohes  $B_R$ , aber kleines  $H_C$

2: Ba-Ferrite, Sr-Ferrite:  $H_C$  steigt mit steigender Temperatur in gewissem Temperaturbereich.

3:  $\text{Sm}_2\text{Co}_{17}$  ( $\vartheta_{\text{max}} = 350^\circ\text{C}$ ): Für hohe Dauertemperaturen wegen Co geeignet

4: NdFeB ( $\vartheta_{\text{max}} = 180^\circ\text{C}$ ): i. A. kostengünstiger als SmCo!

# Materialgesetze

## Wiederholung



TECHNISCHE  
UNIVERSITÄT  
DARMSTADT

# Elektrische vs. magnetische Größen

	Elektrostatik	Magnetostatik
Flussdichte	$D \text{ (A}\cdot\text{s/m}^2\text{)}$	$B \text{ (V}\cdot\text{s/m}^2\text{)}$
Feldstärke	$E \text{ (V/m)}$	$H \text{ (A/m)}$
Polarisation	$P \text{ (A}\cdot\text{s/m}^2\text{)}$	$J_M \text{ (V}\cdot\text{s/m}^2\text{)}$
rel. Werkstoffparameter	$\epsilon_r \text{ (-)}$	$\mu_r \text{ (-)}$
Feldkonstante	$\epsilon_0 = 8.854 \cdot 10^{-12} \text{ A}\cdot\text{s/(V}\cdot\text{m)}$	$\mu_0 = 4 \cdot \pi \cdot 10^{-7} \text{ V}\cdot\text{s/(A}\cdot\text{m)}$
"Geometriefaktor"	$C \text{ (A}\cdot\text{s/V)}$ $C = Q / U$	$L \text{ (V}\cdot\text{s/A)}$ $L = \Psi / I$
Energiedichte (lineares Material)	$\vec{D} \cdot \vec{E} / 2$	$\vec{B} \cdot \vec{H} / 2$
Energie (lineares Material)	$C \cdot U^2 / 2 = Q \cdot U / 2$	$L \cdot I^2 / 2 = \Psi \cdot I / 2$



# Materialgesetze

## Erzeugung magnetischer Felder

Wiederholung



TECHNISCHE  
UNIVERSITÄT  
DARMSTADT

Stromdurchflossene Spulen	Permanentmagnete
- Erregerverluste (Abhilfe: Supraleitung)	+ keine Verluste
- Stromversorgung nötig	+ einfacher Aufbau der el.-mech. Wandler
+ (beliebig) hohe Felder möglich	- Magnetfeld begrenzt auf ca. 1 T
+ Magnetfeld veränderbar	- Gefahr der Entmagnetisierung
+ fallweise kostengünstiger	

**Material:** Kupfer, Aluminium  
Isolierstoff

Eisen-Nickel-Kobalt-Legierungen u.  
Sinterwerkstoffe mit Seltenen Erden



## Materialgesetze

# Elektromagnetisch-mechanisch wechselwirkende Materie



TECHNISCHE  
UNIVERSITÄT  
DARMSTADT

- Neben elastischen Materialien, Dielektrika und Magnetika gibt es **zahlreiche weitere Materialtypen**, die für die Anwendung in elektromechanischen Systemen interessant sind, z. B.:
- **Piezoelektrizität:** Änderung der elektrischen Polarisation  $P$  in Festkörpern, wenn sie elastisch verformt werden (Druck- oder Zugspannung), und umgekehrt („**Elektrostriktion**“).
- **Piezoresistiver Effekt:** Änderung des elektrischen Widerstands  $R$  eines Materials durch Druck- oder Zugspannung.
- **Piezomagnetismus:** Änderung der magnetischen Polarisation  $J_M$  in magnetischen Festkörpern, wenn sie elastisch verformt werden (über Druck- oder Zugspannung), und umgekehrt (**Magnetostriktion**  $\Rightarrow$  z. B.: „**Trafo-Brummen 100 Hz**“).





# Materialgesetze

## Elektromagnetisch-thermisch wechselwirkende Materie



TECHNISCHE  
UNIVERSITÄT  
DARMSTADT

- **Thermoelektrische Stoffe:**

Gegenseitige Beeinflussung von Temperatur und Elektrizität

- **Seebeck-Effekt:**

In einem Stromkreis aus zwei verschiedenen elektrischen Leitermaterialien entsteht bei einer Temperaturdifferenz zwischen den Kontaktstellen dort eine elektrische Spannung

- **Peltier-Effekt:**

„Reziproker“ Effekt zum Seebeck-Effekt

Ein elektrischer Stromfluss durch eine Kontaktstelle aus zwei verschiedenen elektrischen Leitern bewirkt eine Änderung der Kontakttemperatur (Erhöhung oder Absenkung) = Wärmeerzeugung oder Kühlung.

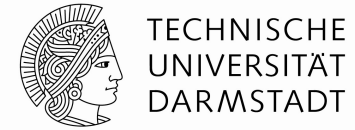
- **Thomson-Effekt:**

Jeder stromdurchflossene Leiter mit einer Temperaturdifferenz zwischen zwei Punkten wird entweder mehr oder weniger Wärme transportieren, als dies ohne Stromfluss aufgrund der Wärmeleitfähigkeit und Temperaturdifferenz der Fall wäre.



# Elektromechanische Systeme

## 2. Grundlagen



- Dynamische Grundgesetze der Mechanik und Elektromagnetik
- Materialgesetze
- **Kraftgesetze**
- Energiebegriffe
- Einführendes Beispiel:  
Kopplung eines mechanischen mit einem el.-magn. System



# Kraftgesetze

## Federkraft $F_F$ und Reibungskraft $F_R$

Wiederholung



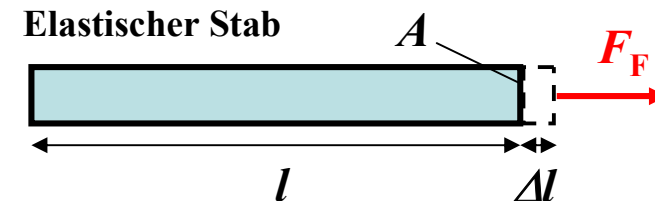
TECHNISCHE  
UNIVERSITÄT  
DARMSTADT

- **Federkraft  $F_F$ :** Verformbare Materialien

**Beispiel:** Dehnungsstab als linear elastische Feder  $\sigma = E \cdot \varepsilon = E \cdot \Delta l / l = (E / l) \cdot \Delta l$

$$F_F = A \cdot \sigma = (E \cdot A / l) \cdot \Delta l = k \cdot \Delta l$$

$$\text{Federkonstante : } k = E \cdot A / l$$



- **Reibungskraft  $F_R$ :** Zwischen einander berührenden Körpern als Reaktionskraft.  
Muss bei Bewegung (Strecke  $\Delta l$ ) der Körper gegeneinander durch äußere Arbeitszufuhr  $W$  überwunden werden, um Bewegung aufrecht zu erhalten:  $W = F_R \cdot \Delta l$

Arbeit  $W \Rightarrow$  Reibungswärme und/oder für plastische Verformungsarbeit („Verschleiß“)

**Äußere Reibung:** Zwischen sich berührenden Außenflächen von Festkörpern

**Innere Reibung:** Zwischen benachbarten Teilchen bei Verformungsvorgängen innerhalb von Festkörpern, Flüssigkeiten und Gasen





# Elektromagnetische Kraft (Lorentz-Kraft) $F$

$$\vec{F} = Q \cdot (\vec{v} \times \vec{B} + \vec{E})$$

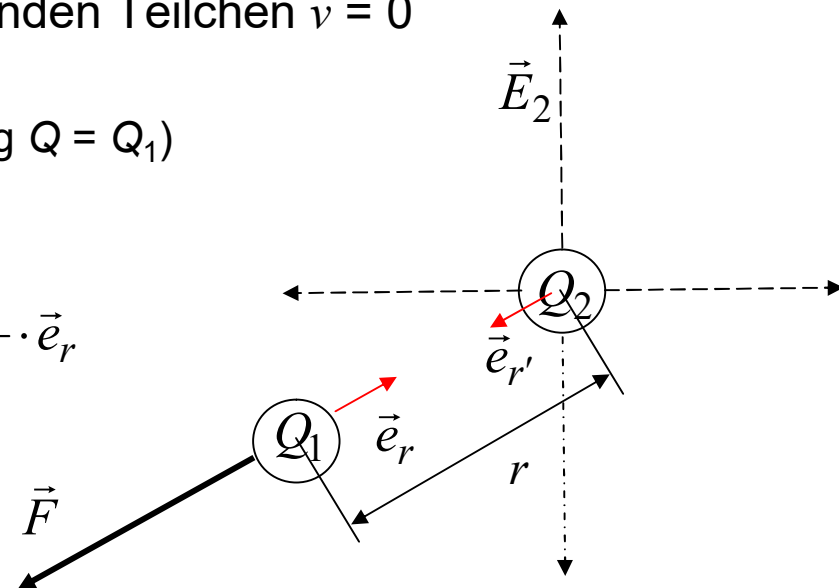
Ein mit der Geschwindigkeit  $v$  bewegtes Teilchen mit der elektrischen Ladung  $Q$  erfährt im elektrischen Feld  $E$  und im magnetischen Feld  $B$  eine Kraft.

**a) Coulomb-Anteil:** Wirkt auch beim ruhenden Teilchen  $v = 0$

**Beispiel:**

Ruhendes geladenes Teilchen ( $v = 0$ , Ladung  $Q = Q_1$ ) im  $E$ -Feld der „Punktladung“  $Q_2$  im Abstand  $r$

$$\left. \begin{aligned} \vec{F} &= Q_1 \cdot \vec{E}_2 \\ \vec{E}_2 &= \frac{Q_2}{4\pi \cdot \epsilon_0 \cdot r^2} \cdot \vec{e}_{r'} \\ \vec{e}_r &= -\vec{e}_{r'} \end{aligned} \right\} \vec{F} = -\frac{Q_1 \cdot Q_2}{4\pi \cdot \epsilon_0 \cdot r^2} \cdot \vec{e}_r$$

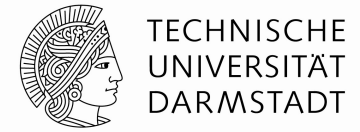


$\epsilon_0 = 8.854 \cdot 10^{-12} \text{ As/(Vm)}$  Dielektrizitätszahl des leeren Raums



# Kraftgesetze

## Wiederholung



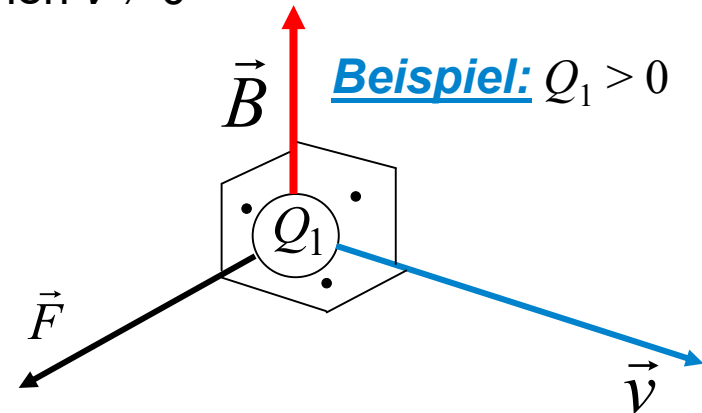
# Elektromagnetische Kraft (Lorentz-Kraft)

b) **Lorentz-Anteil:** Wirkt NUR beim bewegten Teilchen  $v \neq 0$

$$\vec{F} = Q_1 \cdot \vec{v} \times \vec{B}$$

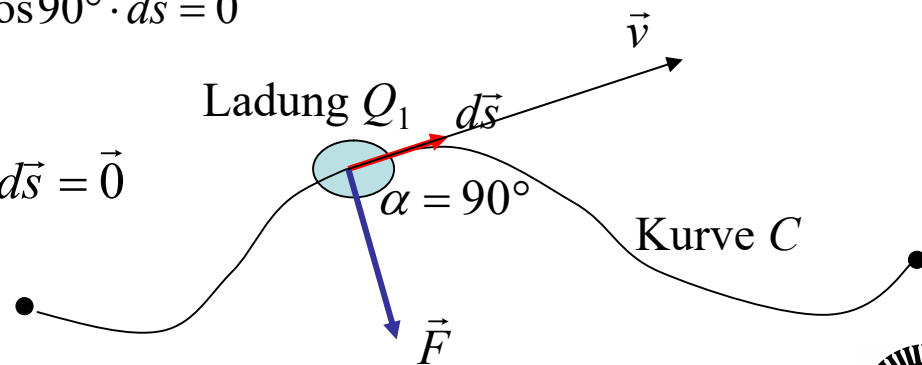
Die Lorentz-Kraft  $F$  ist normal auf die Bewegungs- und Feldrichtung gerichtet!

Die Lorentz-Kraft kann **KEINE mechanische Arbeit** am geladenen Teilchen verrichten!



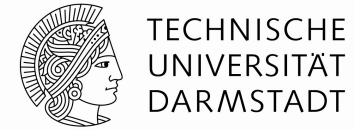
$$W = \int_C dW = \int_C \vec{F} \cdot d\vec{s} = \int_C F \cdot \cos \alpha \cdot ds = \int_C F \cdot \cos 90^\circ \cdot ds = 0$$

$$\vec{F} \cdot d\vec{s} = Q_1 \cdot (\vec{v} \times \vec{B}) \cdot d\vec{s} = Q_1 \cdot \left( \frac{d\vec{s}}{dt} \times \vec{B} \right) \cdot d\vec{s} = \vec{0}$$



# Kraftgesetze

## Elektromagnetische Kraft (Lorentz-Kraft)



### Beispiel:

Elektronen-Gleichstrom im metallischen Leiter:

el. Gleichstrom  $I = 10 \text{ A}$  ( $v = 0.7 \text{ mm/s}$  in Kupfer) im externen Magnetfeld  $B = 1 \text{ T}$ .

Bewegte Ladungsmenge  $\Delta Q$  durch den Leiterquerschnitt je Zeiteinheit  $\Delta t$ :

$$I = \Delta Q / \Delta t$$

Anteil der Lorentz-Kraft auf diese bewegte Ladungsmenge:

$$\Delta \vec{F} = \Delta Q \cdot \vec{v} \times \vec{B} = \Delta Q \cdot \frac{\Delta \vec{s}}{\Delta t} \times \vec{B} = \frac{\Delta Q}{\Delta t} \cdot \Delta \vec{s} \times \vec{B} = I \cdot \Delta \vec{s} \times \vec{B} \Rightarrow d\vec{F} = I \cdot d\vec{s} \times \vec{B}$$

Lorentz-Kraft auf geraden Leiter  $l$ :  $\vec{F} = \int_0^l d\vec{F} = \int_0^l I \cdot d\vec{s} \times \vec{B} = I \cdot \vec{l} \times \vec{B}$   $\vec{F} = I \cdot \vec{l} \times \vec{B}$   
und  $B$  homogen längs  $l$

Bei Leiterlänge  $l = 1 \text{ m}$ :  $|\vec{F}| = |I \cdot \vec{l} \times \vec{B}| = I \cdot l \cdot B = 10 \cdot 1 \cdot 1 = 10 \text{ N}$

**Lorentz-Kräfte** sind in technischen Anwendungen i. A. größer als Coulomb-Kräfte, so dass viele elektromechanische Wandler mit Magnetkräften arbeiten!



# Kraftgesetze

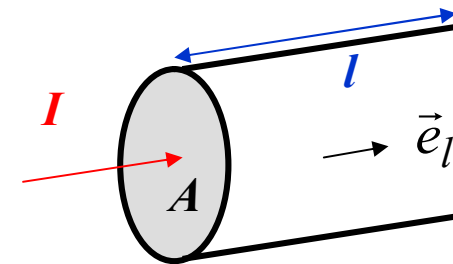
## Elektromagnetische Kraftdichte $\vec{f}$

- Lokale elektromagnetische Kraftdichte  $\vec{f}$ :

$$\vec{f} = \vec{F} / V = I \cdot (\vec{l} \times \vec{B}) / V + (Q / V) \cdot \vec{E} = I \cdot (\vec{l} \times \vec{B}) / (A \cdot l) + (Q / V) \cdot \vec{E}$$

$$\vec{f} = d\vec{F} / dV = I \cdot (d\vec{l} \times \vec{B}) / dV + (dQ / dV) \cdot \vec{E}$$

$$\vec{f} = I \cdot (d\vec{l} \times \vec{B}) / (dA \cdot dl) + \underbrace{(dQ / dV)}_{\rho} \cdot \vec{E}$$



- Elektrische Stromdichte  $\vec{J}$ :  $I = \int_A \vec{J} \cdot d\vec{A}$

Für kleinen Leiterquerschnitt  $A \Rightarrow dA$  normal zur Stromrichtung:  $\vec{l} = l \cdot \vec{e}_l$ ,  $|\vec{e}_l| = 1$

$$I \cdot d\vec{l} / (dA \cdot dl) = \left( \int_A \vec{J} \cdot d\vec{A} \right) / dA \cdot (d\vec{l} / dl) \Rightarrow (J \cdot dA) / dA \cdot \vec{e}_l = J \cdot \vec{e}_l = \vec{J}$$

- Elektrische Ladungsdichte  $\rho$ :  $\rho = dQ / dV$

$$\vec{f} = \vec{J} \times \vec{B} + \rho \cdot \vec{E}$$

# Kraftgesetze

## Kraft auf polarisierte u. magnetisierte Körper



TECHNISCHE  
UNIVERSITÄT  
DARMSTADT

- El. polarisierte und el. geladene Körper im äußeren  $D$ -Feld:

Lokaler Kraftangriff des  $D$ -Felds am Ort  $\vec{x}$  auf die el. Ladungen der Moleküle = „Kraftdichte“  $f_e = F_e/V$

$$\vec{F}_e(t) = \int_V \vec{f}_e(\vec{D}, \vec{x}, t) \cdot dV = \oint_{A=\partial V} \vec{p}_e \cdot dA$$

- Magnetisierte Körper mit elektrischem Stromfluss im äußeren  $B$ -Feld:

Lokaler Kraftangriff des  $B$ -Felds am Ort  $\vec{x}$  der in den Atomen bewegten el. Ladungen (= AMPERE'sches „Kreisstrommodell“ der Atomelektronen) = „Kraftdichte“  $f_m = F_m/V$

$$\vec{F}_m(t) = \int_V \vec{f}_m(\vec{B}, \vec{x}, t) \cdot dV = \oint_{A=\partial V} \vec{p}_m \cdot dA$$

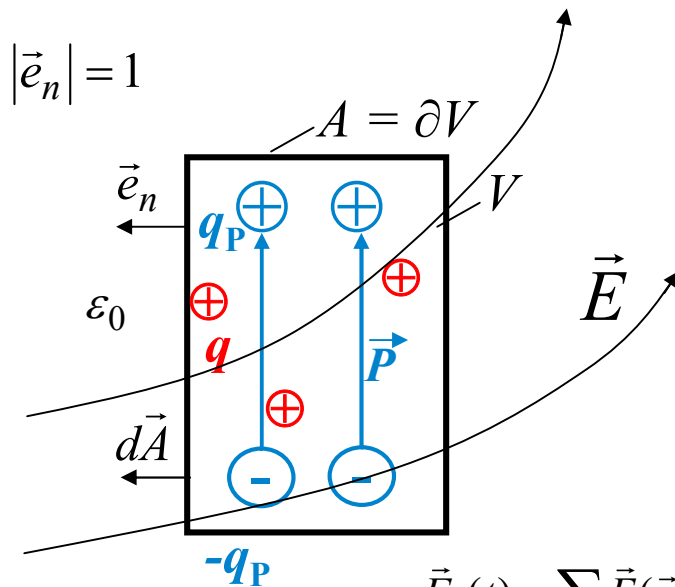
- Je nach Materialart existieren unterschiedliche empirisch beschriebene Gesetze für den lokalen Kraftangriff  $f_e, f_m$ .
- Wenn das resultierende  $D$ - bzw.  $B$ -Feld bekannt ist, kann über die „Maxwell'schen Zugspannungen  $p_e$  bzw.  $p_m$ “ die Kraft  $F_e$  bzw.  $F_m$  auf den polarisierten bzw. magnetisierten Körper berechnet werden.





# Kraftgesetze

## Kraft $F_e$ auf el. polarisierten, el. geladenen Körper



- Im **Fremdfeld  $E$**  liegt ein el. polarisierter und el. geladener Körper (Volumen  $V$ ):  
 $q$ : „Wahre“ Ladungen,  $q_P$ : Polarisationsladungen
  - Auf  $q$ ,  $q_P$ ,  $-q_P$  und daher auf den Körper wirkt Kraft  $F_e$
  - „Wahre“ Ladungsdichte:  $\rho \rightarrow Q = \sum_{i=1}^N q_i = \int_V \rho(V) \cdot dV$
  - Polarisationsladungsdichte:  $\rho_P \rightarrow \sum_{j=1}^{N_P} q_{P,j} = \int_V \rho_P(V) \cdot dV$
- $$\rho'(V) = \rho(V) + \rho_P(V) \quad dV = dx \cdot dy \cdot dz$$

$$\vec{F}_e(t) = \sum_i \vec{E}(\vec{x}_i, t) \cdot q_i(t) + \sum_j \vec{E}(\vec{x}_j, t) \cdot q_{P,j}(t) = \int_V \vec{E}(x, y, z, t) \cdot \rho'(x, y, z, t) \cdot dV$$

- Wir umgeben den Körper mit einer **geschlossenen Fläche  $A$** , die ganz im leeren Raum außerhalb des Körpers verläuft.

- **Resultierende Kraft** auf den Körper:  $\vec{F}_e = \oint_{A=\partial V} \vec{p}_e \cdot dA$

$$\vec{p}_e = \varepsilon_0 \cdot (\vec{e}_n \cdot \vec{E}) \cdot \vec{E} - \varepsilon_0 \cdot (\vec{e}_n \cdot \vec{E}^2) / 2$$

# Kraftgesetze

## Herleitung



TECHNISCHE  
UNIVERSITÄT  
DARMSTADT

## Herleitung: Kraft auf el. geladene, el. polarisierte Körper (1)

Elektrische resultierende Ladungsdichte:  $\rho'(x, y, z, t)$ ,  $\vec{D} = \epsilon_0 \vec{E} + \vec{P}$

Gauß'scher Integralsatz:  $\oint_{A=\partial V, \partial A=0} \vec{D} \cdot d\vec{A} = \int_V (\nabla \cdot \vec{D}) \cdot dV \Leftrightarrow \nabla = (\partial./\partial x, \partial./\partial y, \partial./\partial z)$  „Nabla“-Operator  
 $\nabla \cdot \vec{D} = (\partial D_x / \partial x) + (\partial D_y / \partial y) + (\partial D_z / \partial z)$

4. Maxwell-Gleichung:  $\Phi_e = \oint_{A=\partial V, \partial A=0} \vec{D} \cdot d\vec{A} = Q = \int_V \rho \cdot dV = \int_V (\nabla \cdot \vec{D}) \cdot dV \Leftrightarrow \nabla \cdot \vec{D} = \rho$

$$\nabla \cdot \vec{P} = -\rho_P \quad \nabla \cdot \vec{D} = \rho = \epsilon_0 \nabla \cdot \vec{E} + \nabla \cdot \vec{P} \Rightarrow \epsilon_0 \nabla \cdot \vec{E} = \rho + \rho_P = \rho'$$

$$\vec{F}_e = \int_V \vec{f}_e \cdot dV = \int_V \vec{E} \cdot \rho' \cdot dV = \int_V \vec{E} \cdot \epsilon_0 \cdot (\nabla \cdot \vec{E}) \cdot dV \quad D, E: \text{Quellenfelder: } \text{rot} \vec{E} = \nabla \times \vec{E} = \vec{0} = (0,0,0)$$

Hilfssatz der Vektorrechnung:  $\vec{A} \times (\vec{B} \times \vec{C}) = \vec{B} \cdot (\vec{A} \cdot \vec{C}) - (\vec{A} \cdot \vec{B}) \cdot \vec{C}$

$$\vec{0} = \vec{E} \times \vec{0} = \vec{E} \times (\nabla \times \vec{E}) = \vec{E}_c \times (\nabla \times \vec{E}) = \nabla \cdot (\vec{E}_c \cdot \vec{E}) - (\vec{E}_c \cdot \nabla) \cdot \vec{E} \quad \nabla \cdot \vec{E}_c := 0$$

$$\nabla \cdot (\vec{E}_c \cdot \vec{E}) = \left[ \nabla \cdot (\vec{E}_c \cdot \vec{E}) + \nabla \cdot (\vec{E}_c \cdot \vec{E}) \right] / 2 = \left[ \nabla \cdot (\vec{E} \cdot \vec{E}_c) + \nabla \cdot (\vec{E}_c \cdot \vec{E}) \right] / 2 = \left[ \nabla \cdot (\vec{E} \cdot \vec{E}) \right] / 2 = \left[ \nabla \cdot \vec{E}^2 \right] / 2$$
$$\vec{0} = \left[ \nabla \cdot \vec{E}^2 \right] / 2 - (\vec{E}_c \cdot \nabla) \cdot \vec{E}$$

$$\vec{F}_e = \epsilon_0 \int_V \vec{E} \cdot (\nabla \cdot \vec{E}) \cdot dV = \epsilon_0 \cdot \int_V \left( \vec{E}_c \cdot (\nabla \cdot \vec{E}) - \underbrace{(\nabla \cdot \vec{E})^2 / 2 + (\vec{E}_c \cdot \nabla) \cdot \vec{E}}_{\vec{0}} \right) \cdot dV$$



# Kraftgesetze

## Herleitung



TECHNISCHE  
UNIVERSITÄT  
DARMSTADT

## Herleitung: Kraft auf el. geladene, el. polarisierte Körper (2)

$$\vec{F}_e = \varepsilon_0 \int_V \vec{E} \cdot (\nabla \cdot \vec{E}) \cdot dV = \varepsilon_0 \cdot \int_V (\vec{E}_c \cdot (\nabla \cdot \vec{E}) + (\vec{E}_c \cdot \nabla) \cdot \vec{E} - (\nabla \cdot \vec{E}^2)/2) \cdot dV$$

$$\vec{E}_c \cdot (\nabla \cdot \vec{E}) + (\vec{E}_c \cdot \nabla) \cdot \vec{E} = (\nabla \cdot \vec{E}) \cdot \vec{E}_c + (\nabla \cdot \vec{E}_c) \cdot \vec{E} = (\nabla \cdot \vec{E}) \cdot \vec{E}$$

$$\vec{F}_e = \varepsilon_0 \cdot \int_V ((\nabla \cdot \vec{E}) \cdot \vec{E} - (\nabla \cdot \vec{E}^2)/2) \cdot dV = \varepsilon_0 \cdot \int_V (\nabla \cdot \vec{E}) \cdot \vec{E} \cdot dV - \frac{\varepsilon_0}{2} \cdot \int_V (\nabla \cdot \vec{E}^2) \cdot dV$$

Gauß'scher Integralsatz:  $\oint_{A=\partial V, \partial A=0} d\vec{A} \cdot \vec{K} = \int_V dV \cdot (\nabla \cdot \vec{K}) \Rightarrow \oint_{A=\partial V, \partial A=0} d\vec{A} \cdot \dots = \int_V dV \cdot (\nabla \cdot \dots)$

$$\vec{F}_e = \varepsilon_0 \cdot \int_V dV \cdot (\nabla \cdot \vec{E}) \cdot \vec{E} - \frac{\varepsilon_0}{2} \cdot \int_V dV \cdot (\nabla \cdot \vec{E}^2) = \varepsilon_0 \cdot \oint_{A=\partial V} (d\vec{A} \cdot \vec{E}) \cdot \vec{E} - \frac{\varepsilon_0}{2} \cdot \oint_{A=\partial V} (d\vec{A} \cdot \vec{E}^2)$$

$$\vec{F}_e = \varepsilon_0 \cdot \oint_{A=\partial V} [(\vec{e}_n \cdot \vec{E}) \cdot \vec{E} - (\vec{e}_n \cdot \vec{E}^2)/2] \cdot dA = \oint_{A=\partial V} \vec{p}_e \cdot dA \quad d\vec{A} = \vec{e}_n \cdot dA$$

Maxwell'sche Zugspannungen an der Körperoberfläche:  $\vec{p}_e = \varepsilon_0 \cdot (\vec{e}_n \cdot \vec{E}) \cdot \vec{E} - \varepsilon_0 \cdot (\vec{e}_n \cdot \vec{E}^2)/2$

Geschlossene Oberfläche  $A$  außerhalb des Körpers im materiefreien Raum;

dort ist  $\varepsilon = \varepsilon_0$  und  $P = 0$ :

$$\vec{D} = \varepsilon_0 \cdot \vec{E} : \vec{p}_e = (\vec{e}_n \cdot \vec{D}) \cdot \vec{D} / \varepsilon_0 - (\vec{e}_n \cdot \vec{D}^2) / (2\varepsilon_0)$$



# Kraftgesetze

## Kraftkomponenten auf el. geladene, el. polarisierte Körper



TECHNISCHE  
UNIVERSITÄT  
DARMSTADT

$$\vec{p}_e = (\vec{e}_n \cdot \vec{D}) \cdot \vec{D} / \varepsilon_0 - (\vec{e}_n \cdot \vec{D}^2) / (2\varepsilon_0)$$

$$\vec{e}_n = \vec{e}_x : \vec{p}_{e,x} = (\vec{e}_x \cdot \vec{D}) \cdot \vec{D} / \varepsilon_0 - (\vec{e}_x \cdot \vec{D}^2) / (2\varepsilon_0) = (D_x) \cdot \vec{D} / \varepsilon_0 - (\vec{e}_x \cdot \vec{D}^2) / (2\varepsilon_0)$$

$$\vec{p}_{e,x} = \frac{D_x}{\varepsilon_0} \cdot (D_x, D_y, D_z) - \frac{D^2}{2\varepsilon_0} \cdot (1, 0, 0) = \frac{1}{\varepsilon_0} \cdot (D_x^2, D_x D_y, D_x D_z) - \frac{D_x^2 + D_y^2 + D_z^2}{2\varepsilon_0} \cdot (1, 0, 0)$$

$$\vec{p}_{e,x} = \frac{D_x^2 - D_y^2 - D_z^2}{2\varepsilon_0} \cdot \vec{e}_x + \frac{D_x D_y}{\varepsilon_0} \cdot \vec{e}_y + \frac{D_x D_z}{\varepsilon_0} \cdot \vec{e}_z$$

$$\vec{p}_{e,y} = \frac{D_x D_y}{\varepsilon_0} \cdot \vec{e}_x + \frac{D_y^2 - D_x^2 - D_z^2}{2\varepsilon_0} \cdot \vec{e}_y + \frac{D_y D_z}{\varepsilon_0} \cdot \vec{e}_z$$

$$\vec{p}_{e,z} = \frac{D_x D_z}{\varepsilon_0} \cdot \vec{e}_x + \frac{D_y D_z}{\varepsilon_0} \cdot \vec{e}_y + \frac{D_z^2 - D_x^2 - D_y^2}{2\varepsilon_0} \cdot \vec{e}_z$$

$$\vec{T}_e = \begin{pmatrix} \vec{p}_{e,x} \\ \vec{p}_{e,y} \\ \vec{p}_{e,z} \end{pmatrix}$$

**Maxwell'scher  
Spannungstensor**  
(ein Tensor 2. Stufe)



# Kraftgesetze

## Maxwell'scher Spannungstensor

$\rho(x, y, z, t)$ : El. Ladungsdichteverteilung = Skalarfeld (Skalar = Tensor 0. Stufe)

$\vec{D}(x, y, z, t) = (D_x, D_y, D_z)$ : Dielektr. Verschiebungsfeld = Vektorfeld (Vektor = Tensor 1. Stufe)

**Maxwell'scher Spannungstensor** der elektrischen Kraft-Verteilung

(ein Tensor 2. Stufe):

$$\vec{T}_e(x, y, z, t) = \begin{pmatrix} \vec{p}_{e,x} \\ \vec{p}_{e,y} \\ \vec{p}_{e,z} \end{pmatrix} = \begin{pmatrix} \frac{D_x^2 - D_y^2 - D_z^2}{2\varepsilon_0} & \frac{D_x D_y}{\varepsilon_0} & \frac{D_x D_z}{\varepsilon_0} \\ \frac{D_x D_y}{\varepsilon_0} & \frac{D_y^2 - D_x^2 - D_z^2}{2\varepsilon_0} & \frac{D_y D_z}{\varepsilon_0} \\ \frac{D_x D_z}{\varepsilon_0} & \frac{D_y D_z}{\varepsilon_0} & \frac{D_z^2 - D_x^2 - D_y^2}{2\varepsilon_0} \end{pmatrix}$$

Zweidimensionaler Sonderfall:

$$\rho(x, y, t), \quad \vec{D}(x, y, t) = (D_x, D_y)$$

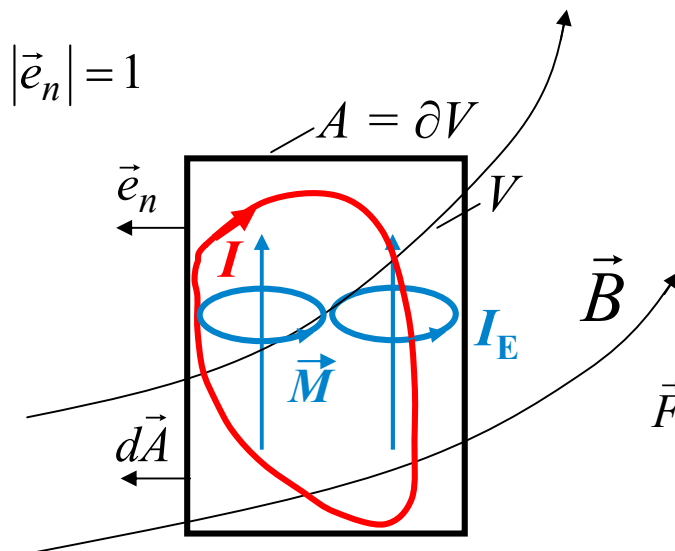
$$\vec{T}_e(x, y, t) = \begin{pmatrix} \vec{p}_{e,x} \\ \vec{p}_{e,y} \end{pmatrix} = \begin{pmatrix} \frac{D_x^2 - D_y^2}{2\varepsilon_0} & \frac{D_x D_y}{\varepsilon_0} \\ \frac{D_x D_y}{\varepsilon_0} & \frac{D_y^2 - D_x^2}{2\varepsilon_0} \end{pmatrix}$$

Eindimensionaler Sonderfall:

$$\rho(x, t) \quad \vec{D}(x, t) = D_x \cdot \vec{e}_x \quad \vec{T}_e(x, t) = \vec{p}_{e,x} = D_x^2 / (2\varepsilon_0) \cdot \vec{e}_x = (D_x E_x / 2) \cdot \vec{e}_x$$

# Kraftgesetze

## Kraft $F_m$ auf magnetisierten stromdurchflossenen Körper



- Im Fremdfeld  $B$  liegt ein magnetisierter (atomare „Elementarströme“  $I_E \Rightarrow$  Magnetisierung  $M$ ) und stromdurchflossener (Strom  $I$ ) Körper.
- Auf  $I, I_E$  und daher auf den Körper wirkt die Kraft  $F_m$
- Stromdichten:  $\vec{J} \Leftrightarrow I, \vec{J}_E \Leftrightarrow I_E$

$$\vec{F}_m(t) = \int_V \vec{f}_m(\vec{B}, \vec{x}, t) \cdot dV = \int_V (\vec{J}(\vec{x}, t) + \vec{J}_E(\vec{x}, t)) \times \vec{B}(\vec{x}, t) \cdot dV$$

- Wir umgeben den Körper mit einer geschlossenen Fläche  $A$ , die ganz im leeren Raum außerhalb des Körpers verläuft.

- Resultierende Kraft auf den Körper:  $\vec{F}_m = \oint_{A=\partial V} \vec{p}_m \cdot dA$   $\vec{p}_m = (\vec{e}_n \cdot \vec{B}) \cdot \vec{B} / \mu_0 - (\vec{e}_n \cdot \vec{B}^2) / (2\mu_0)$

# Kraftgesetze

## Herleitung



TECHNISCHE  
UNIVERSITÄT  
DARMSTADT

## Herleitung:

### Kraft auf magnetisierten stromdurchflossenen Körper (1)

Elektrische Ströme:  $I, I_E \Rightarrow$  el. Stromdichten:  $\vec{J}(x, y, z, t), \vec{J}_E(x, y, z, t)$

$$\text{Kraftdichte: } \vec{f}_m = (\vec{J} + \vec{J}_E) \times \vec{B} \qquad \vec{B} = \mu_0 \cdot \vec{H} + \mu_0 \cdot \vec{M}$$

$$\text{Stokes'scher Integralsatz: } \oint_{C=\partial A} \vec{K} \cdot d\vec{s} = \int_A \text{rot} \vec{K} \cdot d\vec{A} = \int_A (\nabla \times \vec{K}) \cdot d\vec{A}$$

$$1. \text{ Maxwell-Gleichung für: } \frac{\partial \Phi_e}{\partial t} \approx 0: \oint_{C=\partial A} \vec{H} \cdot d\vec{s} = \Theta = \int_A \vec{J} \cdot d\vec{A} = \int_A (\nabla \times \vec{H}) \cdot d\vec{A} \Rightarrow \nabla \times \vec{H} = \vec{J}$$

$$\nabla \times \vec{M} = \vec{J}_E \Rightarrow \vec{J} + \vec{J}_E = \nabla \times \vec{H} + \nabla \times \vec{M} = \nabla \times (\vec{H} + \vec{M}) = (\nabla \times \vec{B}) / \mu_0 \qquad \nabla \cdot \vec{B}_c := 0$$

$$\vec{F}_m = \int_V \vec{f}_m \cdot dV = \int_V ((\vec{J} + \vec{J}_E) \times \vec{B}) \cdot dV = \frac{1}{\mu_0} \int_V ((\nabla \times \vec{B}) \times \vec{B}_c) \cdot dV = -\frac{1}{\mu_0} \int_V (\vec{B}_c \times (\nabla \times \vec{B})) \cdot dV$$

$$\text{Hilfssatz der Vektorrechnung: } \vec{A} \times (\vec{G} \times \vec{C}) = \vec{G} \cdot (\vec{A} \cdot \vec{C}) - (\vec{A} \cdot \vec{G}) \cdot \vec{C}$$

$$\vec{B}_c \times (\nabla \times \vec{B}) = \nabla \cdot (\vec{B}_c \cdot \vec{B}) - (\vec{B}_c \cdot \nabla) \cdot \vec{B}$$

$$\nabla \cdot (\vec{B}_c \cdot \vec{B}) = [\nabla \cdot (\vec{B}_c \cdot \vec{B}) + \nabla \cdot (\vec{B}_c \cdot \vec{B})] / 2 = [\nabla \cdot (\vec{B} \cdot \vec{B}_c) + \nabla \cdot (\vec{B}_c \cdot \vec{B})] / 2 = [\nabla \cdot (\vec{B} \cdot \vec{B})] / 2 = [\nabla \cdot \vec{B}^2] / 2$$

$$3. \text{ Maxwell-Gleichung: } \Phi_m = \oint_{A=\partial V, \partial A=0} \vec{B} \cdot d\vec{A} = 0 = \int_V (\nabla \cdot \vec{B}) \cdot dV \Leftrightarrow \nabla \cdot \vec{B} = 0$$

$$\vec{B}_c \times (\nabla \times \vec{B}) = [\nabla \cdot \vec{B}^2] / 2 - (\vec{B}_c \cdot \nabla) \cdot \vec{B} = [\nabla \cdot \vec{B}^2] / 2 - (\vec{B}_c \cdot \nabla) \cdot \vec{B} - \vec{B} \cdot (\nabla \cdot \vec{B})$$



# Kraftgesetze

## Herleitung:

### Kraft auf magnetisierten stromdurchflossenen Körper (2)

#### Herleitung



TECHNISCHE  
UNIVERSITÄT  
DARMSTADT

$$(\vec{B}_c \cdot \nabla) \cdot \vec{B} + \vec{B} \cdot (\nabla \cdot \vec{B}) = (\nabla \cdot \vec{B}_c) \cdot \vec{B} + (\nabla \cdot \vec{B}) \cdot \vec{B}_c = (\nabla \cdot \vec{B}) \cdot \vec{B}$$

$$\vec{B}_c \times (\nabla \times \vec{B}) = \left[ \nabla \cdot \vec{B}^2 \right] / 2 - (\vec{B}_c \cdot \nabla) \cdot \vec{B} = \left[ \nabla \cdot \vec{B}^2 \right] / 2 - (\nabla \cdot \vec{B}) \cdot \vec{B}$$

$$\vec{F}_m = - \int_V (\vec{B}_c \times (\nabla \times \vec{B} / \mu_0)) \cdot dV = \frac{1}{\mu_0} \int_V - \left( \left[ \nabla \cdot \vec{B}^2 \right] / 2 + (\nabla \cdot \vec{B}) \cdot \vec{B} \right) \cdot dV$$

Gauß'scher Integralsatz:  $\oint_{A=\partial V, \partial A=0} d\vec{A} \cdot \vec{K} = \int_V dV \cdot (\nabla \cdot \vec{K}) \Rightarrow \oint_{A=\partial V, \partial A=0} d\vec{A} \cdot \dots = \int_V dV \cdot (\nabla \cdot \dots) \quad d\vec{A} = \vec{e}_n \cdot dA$

$$\vec{F}_m = \frac{1}{\mu_0} \int_V dV \cdot (\nabla \cdot \vec{B}) \cdot \vec{B} - \frac{1}{\mu_0} \int_V dV \cdot \left( \left[ \nabla \cdot \vec{B}^2 \right] / 2 \right) = \frac{1}{\mu_0} \cdot \oint_{A=\partial V} (d\vec{A} \cdot \vec{B}) \cdot \vec{B} - \frac{1}{\mu_0} \cdot \oint_{A=\partial V} d\vec{A} \cdot \vec{B}^2 / 2$$

$$\vec{F}_m = \frac{1}{\mu_0} \cdot \oint_{A=\partial V} \left[ (\vec{e}_n \cdot \vec{B}) \cdot \vec{B} - \vec{e}_n \cdot \vec{B}^2 / 2 \right] \cdot dA = \oint_{A=\partial V} \vec{p}_m \cdot dA$$

Maxwell'sche Zugspannungen  $p_m$  an der Körperoberfläche:

$$\vec{p}_m = (\vec{e}_n \cdot \vec{B}) \cdot \frac{\vec{B}}{\mu_0} - \vec{e}_n \cdot \frac{\vec{B}^2}{2\mu_0}$$





# Kraftgesetze

## Kraft auf magnetisierte und stromdurchflossene Körper



TECHNISCHE  
UNIVERSITÄT  
DARMSTADT

**Maxwell'scher Spannungstensor** der magnetischen Kraft-Verteilung  
(ein Tensor 2. Stufe):

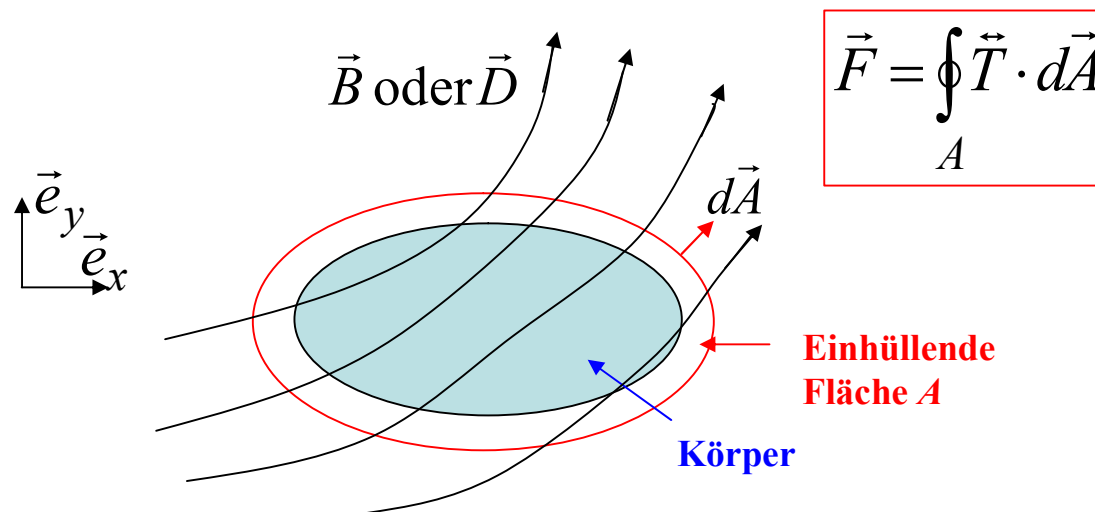
$$\vec{T}_m(x, y, z, t) = \begin{pmatrix} \vec{p}_{m,x} \\ \vec{p}_{m,y} \\ \vec{p}_{m,z} \end{pmatrix} = \begin{pmatrix} \frac{B_x^2 - B_y^2 - B_z^2}{2\mu_0} & \frac{B_x B_y}{\mu_0} & \frac{B_x B_z}{\mu_0} \\ \frac{B_x B_y}{\mu_0} & \frac{B_y^2 - B_x^2 - B_z^2}{2\mu_0} & \frac{B_y B_z}{\mu_0} \\ \frac{B_x B_z}{\mu_0} & \frac{B_y B_z}{\mu_0} & \frac{B_z^2 - B_x^2 - B_y^2}{2\mu_0} \end{pmatrix}$$



# Kraftgesetze

## Maxwell'scher Spannungstensor

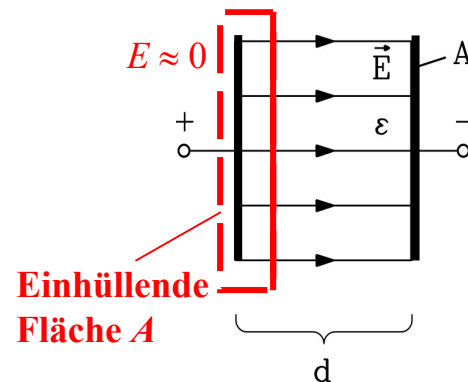
- Allgemeines Ergebnis zum Maxwell'schen Spannungstensor:  
Die resultierende Kraft  $F$  auf einen polarisierten bzw. magnetisierten Körper wird berechnet, indem
  - a) aus den bekannten Feldkomponenten  $(D_x, D_y, D_z)$  bzw.  $(B_x, B_y, B_z)$  in einer geschlossenen Hüllfläche  $A$  um den Körper die  $3^2 = 9$  Komponenten des Maxwell'schen Spannungstensors  $T$  („Tensor 2. Stufe“) gebildet werden,
  - b) die über die GESCHLOSSENE Fläche  $A$  integriert werden.



# Kraftgesetze

## Maxwell'scher Spannungstensor: Beispiel 1

Beispiel 1: Körper ist positiv geladene Kondensatorplatte



Plattenäußeres: Feld  $E \approx 0$ : 
$$\vec{F}_e = \oint_A \vec{T}_e \cdot d\vec{A} \approx \int_A \vec{T}_e \cdot d\vec{A}$$

$$\vec{F}_e = (\epsilon \cdot E_x^2 / 2) \cdot A \cdot \vec{e}_x$$

# Kraftgesetze

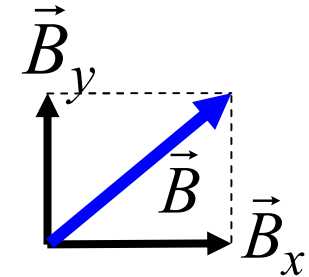
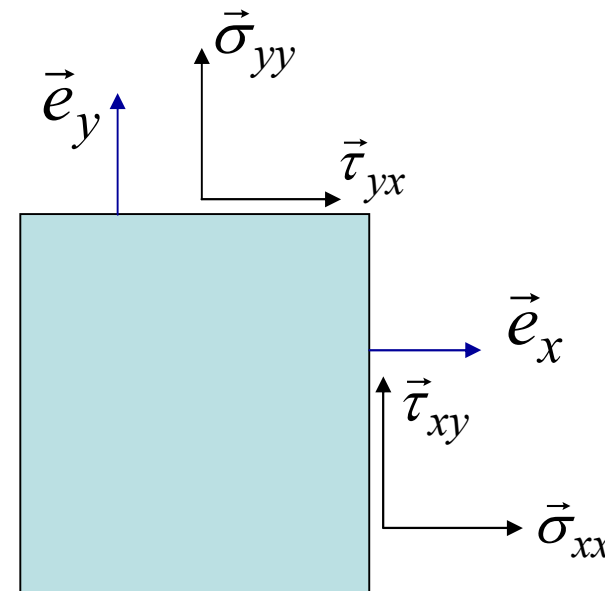
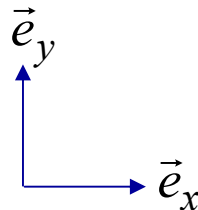
## Beispiel 2: 2D: B-Feld-Spannungstensor (1)

Maxwell'scher B-Feld-Spannungstensor  $T$  in 2 Dimensionen  $x, y$   
hat  $2^2 = 4$  Komponenten.

$$\vec{T} = \begin{pmatrix} \sigma_{xx} & \tau_{xy} \\ \tau_{yx} & \sigma_{yy} \end{pmatrix} = \begin{pmatrix} \frac{B_x^2 - B_y^2}{2\mu_0} & \frac{B_x B_y}{\mu_0} \\ \frac{B_y B_x}{\mu_0} & \frac{B_y^2 - B_x^2}{2\mu_0} \end{pmatrix}$$

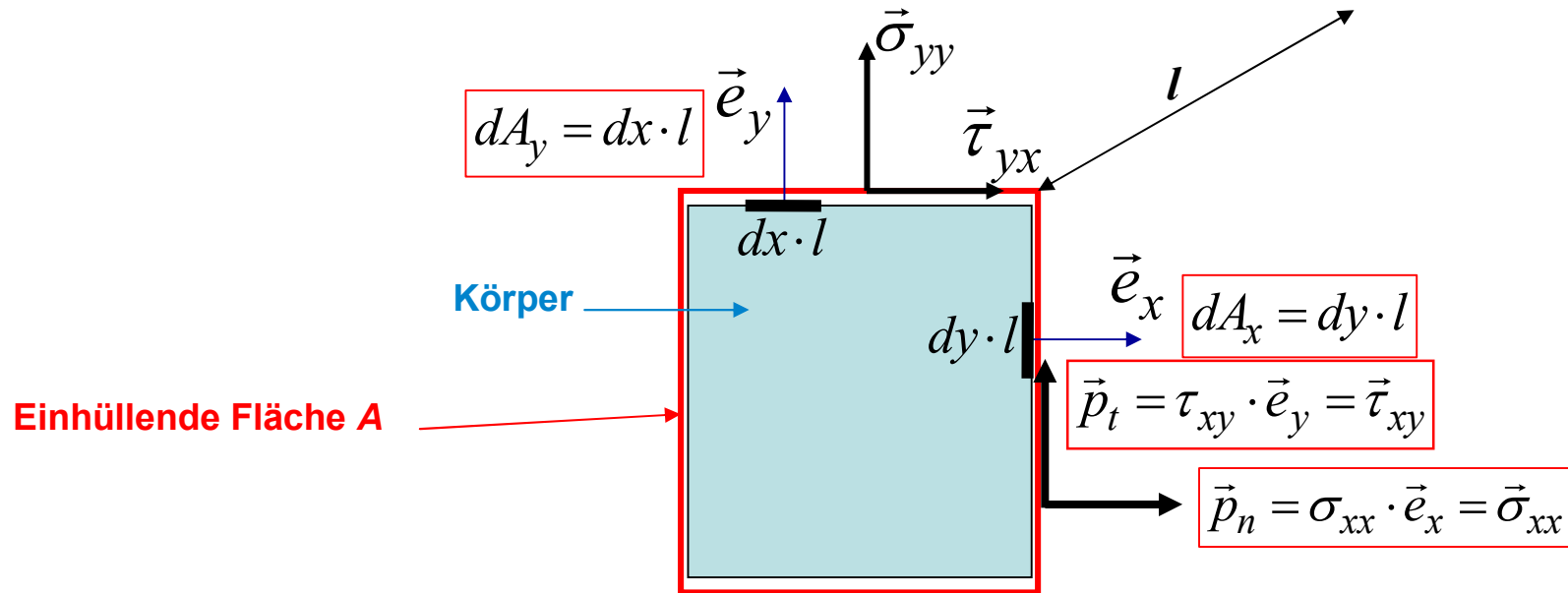
$$\tau_{yx} = \tau_{xy}$$

$$|\vec{e}_x| = |\vec{e}_y| = 1$$



# Kraftgesetze

## Beispiel 2: 2D: B-Feld-Spannungstensor (2)



$$\vec{p} = \begin{pmatrix} \vec{p}_{xy} \\ \vec{p}_{yx} \end{pmatrix} = \vec{T} \cdot \begin{pmatrix} \vec{e}_x \\ \vec{e}_y \end{pmatrix} = \begin{pmatrix} \sigma_{xx} & \tau_{xy} \\ \tau_{yx} & \sigma_{yy} \end{pmatrix} \cdot \begin{pmatrix} \vec{e}_x \\ \vec{e}_y \end{pmatrix} = \begin{pmatrix} \sigma_{xx} \cdot \vec{e}_x + \tau_{xy} \cdot \vec{e}_y \\ \tau_{yx} \cdot \vec{e}_x + \sigma_{yy} \cdot \vec{e}_y \end{pmatrix}$$

$$\vec{F} = \oint_A \vec{T} \cdot d\vec{A} = \oint_A \vec{p} \cdot dA$$



# Kraftgesetze

## Spannungstensor-Komponenten

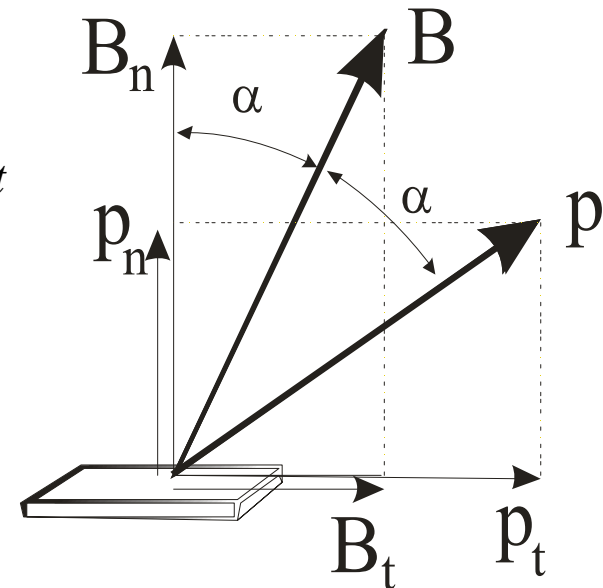
- Die Krafrichtung der MAXWELL-Spannungen  $p$  ist ähnlich wie die Feldrichtung  $D$  bzw.  $B$ , aber i. A. nicht identisch!
- Allgemein hat nur ihr Integral über  $A$  als  $F$  eine physikalische Bedeutung.

$$\vec{F} = \oint_A \vec{p} \cdot dA$$

$$\left. \begin{aligned} \text{z.B.: } \vec{B} = \vec{B}_n + \vec{B}_t : \sigma &= \frac{B_n^2 - B_t^2}{2\mu_0} = p_n \\ \tau &= \frac{B_n B_t}{\mu_0} = p_t \end{aligned} \right\} \vec{p} = \vec{p}_n + \vec{p}_t$$

$$\tan \alpha = \frac{B_t}{B_n}$$

$$\frac{p_t}{p_n} = \tan 2\alpha = \frac{2}{\frac{1}{\tan \alpha} - \tan \alpha} = \frac{2B_n B_t}{B_n^2 - B_t^2}$$

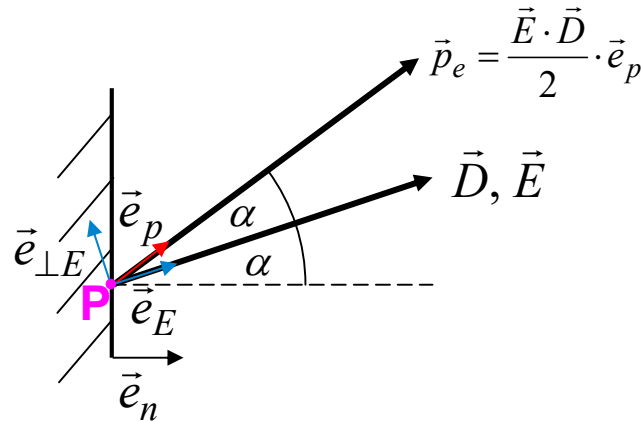


Quelle: Reichert, K., VDE-Kurs El. Maschinen, 2009



# Kraftgesetze

## Betrag der MAXWELL-Zugspannung (1)



- Leerer Raum des umhüllten Körpers:  $\vec{D} = \epsilon_0 \cdot \vec{E}$

- MAXWELL-Zugspannung:

$$\vec{p}_e = \epsilon_0 \cdot (\vec{e}_n \cdot \vec{E}) \cdot \vec{E} - \epsilon_0 \cdot (\vec{e}_n \cdot \vec{E}^2) / 2 =$$

$$= (\vec{e}_n \cdot \vec{D}) \cdot \vec{E} - \vec{e}_n \cdot (\vec{D} \cdot \vec{E}) / 2$$

$$|\vec{e}_n| = |\vec{e}_p| = |\vec{e}_E| = |\vec{e}_{\perp E}| = 1 \quad \text{Einheitsvektoren}$$

$$\vec{e}_n = \vec{e}_E \cdot \cos \alpha - \vec{e}_{\perp E} \cdot \sin \alpha$$

$$\vec{p}_e = D \cdot \cos \alpha \cdot E \cdot \vec{e}_E - \frac{D \cdot E}{2} \cdot (\vec{e}_E \cdot \cos \alpha - \vec{e}_{\perp E} \cdot \sin \alpha) = \frac{D \cdot E}{2} \cdot \cos \alpha \cdot \vec{e}_E + \frac{D \cdot E}{2} \cdot \sin \alpha \cdot \vec{e}_{\perp E}$$

$$\vec{p}_e = |\vec{p}_e| \cdot \vec{e}_p \quad |\vec{p}_e| = \frac{D \cdot E}{2} \cdot \sqrt{\cos^2 \alpha + \sin^2 \alpha} = \frac{D \cdot E}{2} = \frac{\vec{D} \cdot \vec{E}}{2}$$

$$w_e = \frac{dW_e}{dV} = \frac{\vec{D} \cdot \vec{E}}{2}$$

- In gleicher Weise gilt magnetisch:

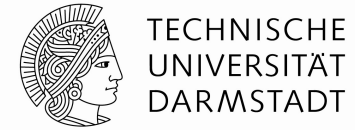
$$\vec{p}_m = |\vec{p}_m| \cdot \vec{e}_p \quad |\vec{p}_m| = \frac{B \cdot H}{2} = \frac{\vec{B} \cdot \vec{H}}{2}$$

$$w_m = \frac{dW_m}{dV} = \frac{\vec{B} \cdot \vec{H}}{2}$$



# Kraftgesetze

## Betrag der *MAXWELL*-Zugspannung (2)



- **Ergebnis:**

Der Betrag der MAXWELL-Zugspannung ist (nicht zufällig!) ebenso groß wie die elektrische bzw. magnetische Energiedichte  $w_e$ ,  $w_m$  im betrachteten Raumpunkt **P**.

- **Einheiten:** Energiedichte  $w_e$ :  $\text{J/m}^3 = \text{N}\cdot\text{m/m}^3 = \text{N/m}^2$  : MAXWELL-Zugspannung  $p_e$

- In **numerischen Feldberechnungsprogrammen**

(z. B. mit der Methode der Finiten Elemente)

wird aus der „Feldlösung“ die Kraft auf polarisierbare oder magnetisierbare Körper durch Integration der MAXWELL-Spannungen über die Körper einhüllende Flächen berechnet.





# Kraftgesetze

## Maxwell-Spannungstensor: Eigenschaften (1)



TECHNISCHE  
UNIVERSITÄT  
DARMSTADT

- Integration von  $T$  erfolgt über **geschlossene Fläche  $A$**  des eingehüllten Körpers.
- Lokale Werte  $p \cdot dA$  haben für sich i. A. KEINE physikalische Bedeutung.

$$\vec{F} = \oint_A \vec{p} \cdot dA$$

- Die Kraftdichte  $f_e$  bzw.  $f_m$  ist im Körper je nach Verteilung  $\varepsilon(x,y,z)$  bzw.  $\mu(x,y,z)$  i. A. ungleichmäßig verteilt.
- **Daher hat diese physikalisch wirksame Verteilung IM VOLUMEN i. A. NICHTS mit der (äquivalenten) lokalen OBERFLÄCHEN-Verteilung der MAXWELL-Spannungstensor-Komponenten zu tun.**



# Kraftgesetze

## Maxwell-Spannungstensor: Eigenschaften (2)



TECHNISCHE  
UNIVERSITÄT  
DARMSTADT

- **Sonderfall:** Körper ist
  - i) ungeladen bzw. stromlos Körper:  $\rho(x,y,z) = 0$ , bzw.  $\vec{J} = \vec{0}$  und
  - ii) homogen & isotrop polarisierbar  $\epsilon(x,y,z) = \epsilon = \text{konst.}$  bzw. magnetisierbar  $\mu(x,y,z) = \mu = \text{konst.}$ :  
Die lokale Kraftdichte  $f$  tritt nur an der Körperoberfläche auf (im Inneren:  $f = 0$ ),  
ist aber i. A. NICHT identisch mit den MAXWELL-Spannungstensor-Komponenten.

- **Sonder-Sonderfall:**

Im Körper  $\epsilon \rightarrow \infty$  bzw.  $\mu \rightarrow \infty$  :

Die lokale Kraftdichte  $f$  tritt nur an der Körperoberfläche auf

UND

ist identisch mit den MAXWELL-Spannungstensor-Komponenten:

$$\epsilon \rightarrow \infty, \mu \rightarrow \infty: \quad d\vec{F}(x, y, z) / dA = \vec{p}(x, y, z)$$

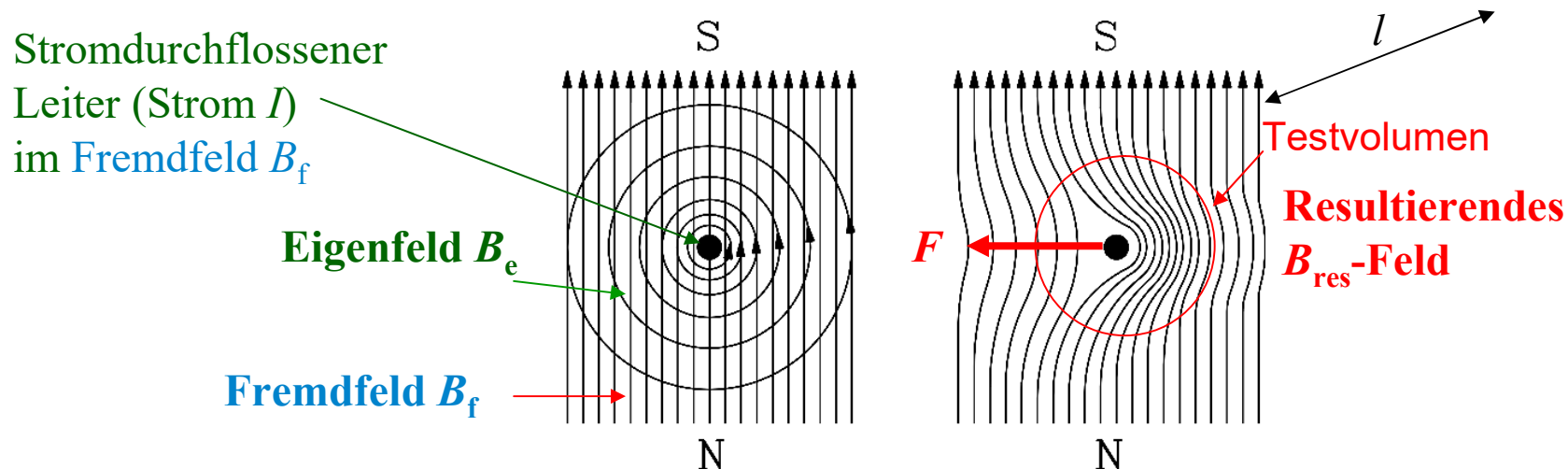


# Kraftgesetze – Beispiel 1

## Kraft auf stromdurchflossenen Leiter im $B$ -Feld



TECHNISCHE  
UNIVERSITÄT  
DARMSTADT



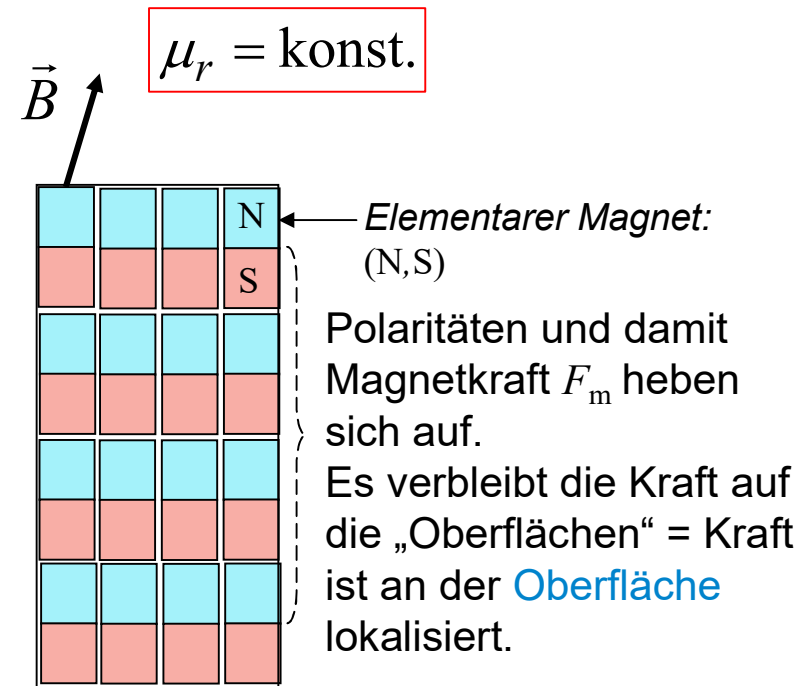
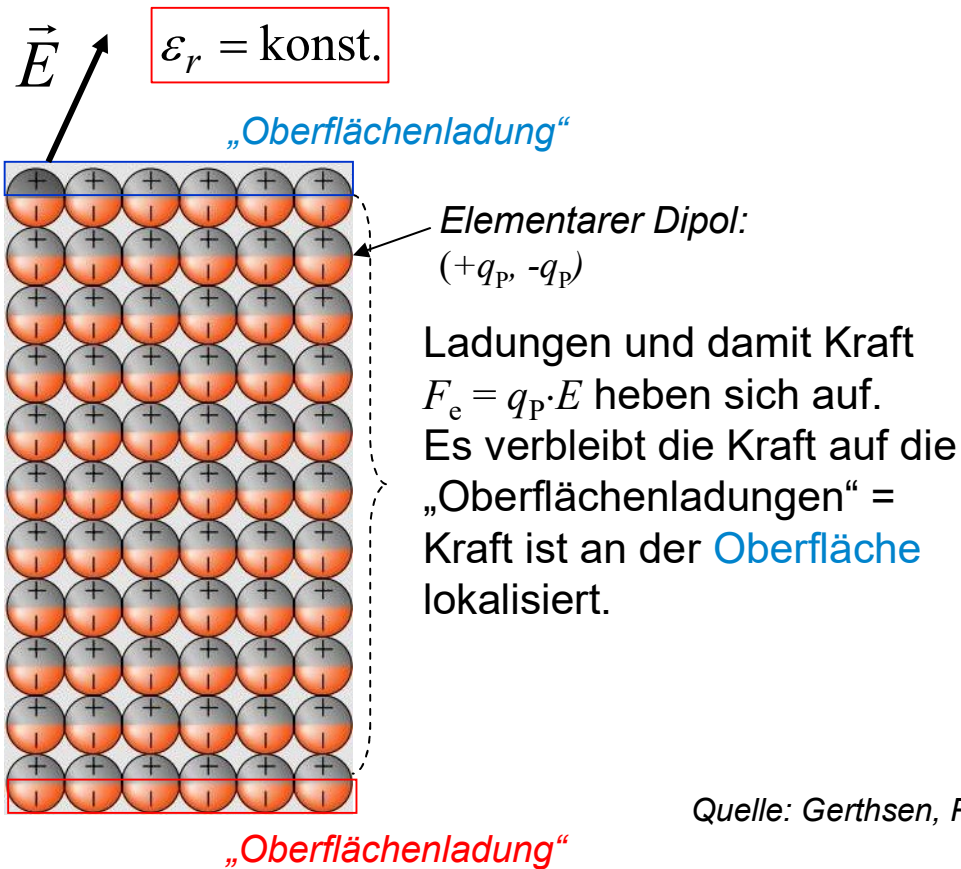
- Fremdfeld  $B_f$  (homogenes Feld) von unten nach oben gerichtet
- Der Strom  $I$  im Leiter (Länge  $l$ ) fließt auf den Betrachter zu
- $I$  erregt ein kreisförmiges Eigenfeld  $B_e$  nach der Rechtsschraubenregel
- Überlagerung ergibt **resultierendes  $B_{res}$ -Feld**: Links kleiner als rechts vom Leiter
- Feldlinien = „**elastische Gummischnüre**“ (MAXWELL'scher Zug) wollen sich verkürzen  $\Rightarrow$  **Kraft  $F$**  nach links auf den Leiter !
- Zum selben Ergebnis kommt man mit der LORENTZ-Kraftformel:  $F = I \cdot B_f \cdot l$



# Kraftgesetze

## Räumlich konstantes $\epsilon$ , $\mu$ : Oberflächenkraft

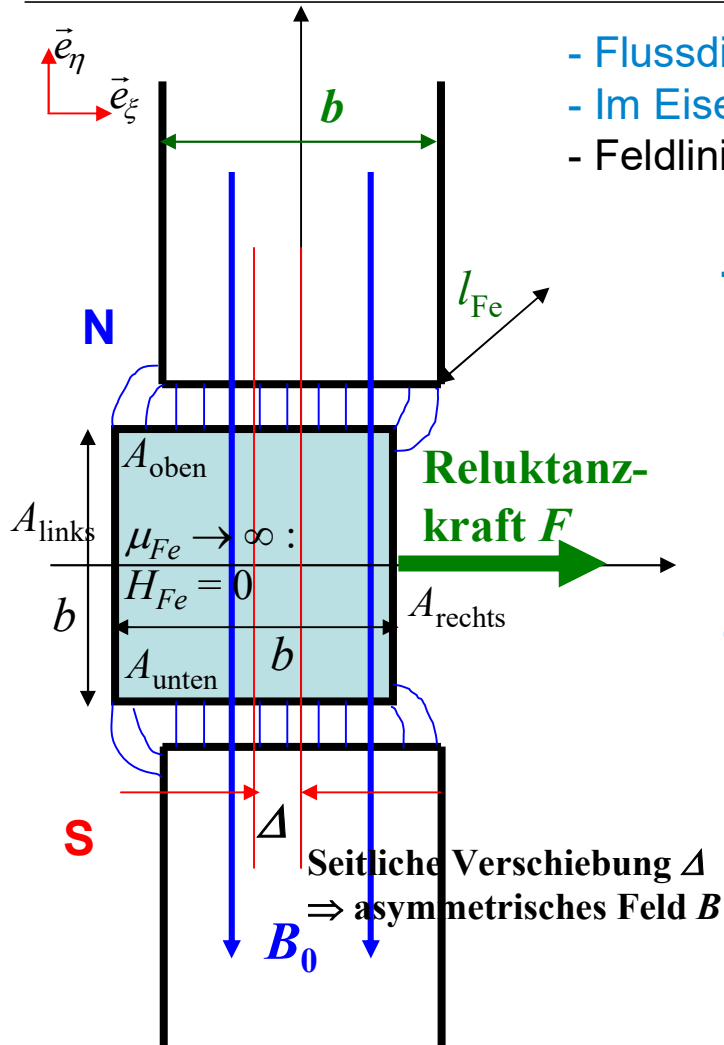
- Ungeladene bzw. stromlose Körper mit  $\epsilon(x,y,z) = \epsilon = \text{konst.}$  bzw.  $\mu(x,y,z) = \mu = \text{konst.}$ :  
Die lokale Kraftdichte tritt an der Körperoberfläche auf  $\Rightarrow$  VERANSCHAULICHUNG:



Quelle: Gerthsen, Physik, Springer

# Kraftgesetze – Beispiel 2

## Kraft auf ideal magnetisierbaren Körper $F$ (Länge $l_{Fe}$ )



- Flussdichte  $B_0$  eingeprägt durch zwei Eisen-Polschuhe (N, S):
- Im Eisen:  $\mu \rightarrow \infty$ , daher  $H_{Fe} = 0$
- Feldlinien normal zur Eisenoberfläche  $\tau_{\eta\xi} = \tau_{\xi\eta} = 0$

- Vertikalkraft:  $\sigma_{\eta\eta} = \frac{B_{\eta}^2 - B_{\xi}^2}{2\mu_0} = \frac{B_{\eta}^2}{2\mu_0}$

$$\vec{F}_{\eta} = \oint_A \vec{T} \cdot d\vec{A}_{\eta} = \left( \int_0^b B_{\eta}^2(A_{oben}) \cdot d\xi - \int_0^b B_{\eta}^2(A_{unten}) \cdot d\xi \right) \cdot \frac{l_{Fe}}{2\mu_0} = 0$$

- Horizontalkraft:  $\sigma_{\xi\xi} = \frac{B_{\xi}^2 - B_{\eta}^2}{2\mu_0} = \frac{B_{\xi}^2}{2\mu_0}$

$$\vec{F}_{\xi} = \oint_A \vec{T} \cdot d\vec{A}_{\xi} = \left( - \int_0^b B_{\xi}^2(A_{links}) \cdot d\eta + \int_0^b B_{\xi}^2(A_{rechts}) \cdot d\eta \right) \cdot \frac{l_{Fe}}{2\mu_0} = \vec{F}$$

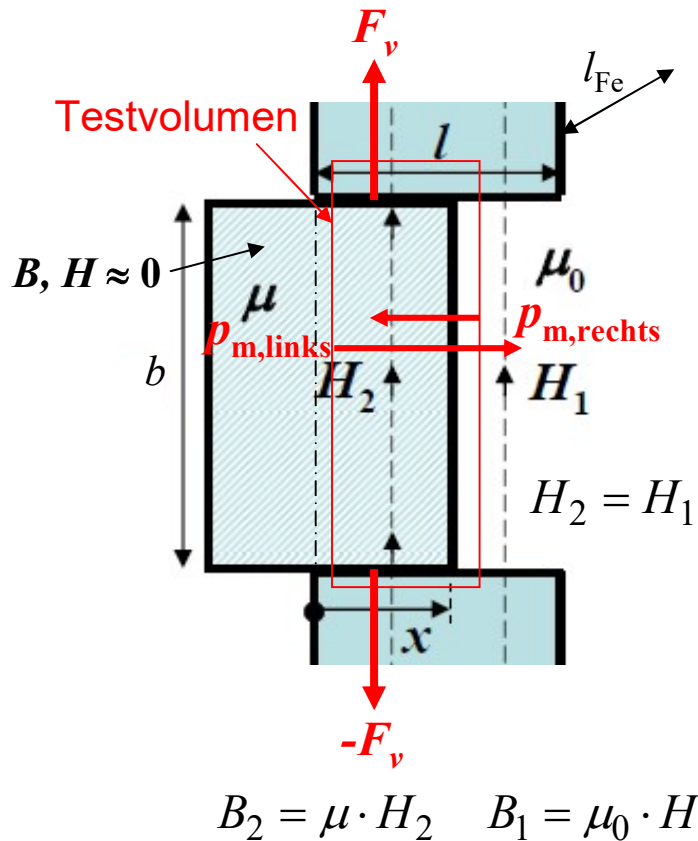
„Reluktanzkraft“  $F$

$$\vec{F} \approx \int_0^b B_{\xi}^2(A_{rechts}) \cdot d\eta \cdot \frac{l_{Fe}}{2\mu_0} \cdot \vec{e}_{\xi}$$

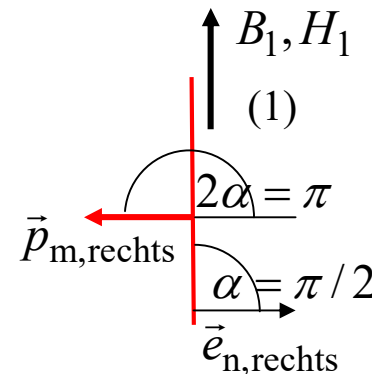


# Kraftgesetze – Beispiel 3

## Kraft auf magnetisierbaren Körper $F$ : Näherungsformel



Magn. Vertikalkraft  $F_v - F_v = 0!$



Testvolumen:

a) Rechte Fläche:

$$\vec{p}_{m,rechts} = -\frac{B_1 H_1}{2} \cdot \vec{e}_{n,rechts}$$

b) Linke Fläche:

$$\vec{p}_{m,links} = -\frac{B_2 H_2}{2} \cdot \vec{e}_{n,links} = \frac{B_2 H_2}{2} \cdot \vec{e}_{n,rechts}$$

c) Resultierende Kraft aus linker & rechter Fläche:

$$\vec{p}_m = \vec{p}_{m,links} + \vec{p}_{m,rechts} = \frac{B_2 H_2 - B_1 H_1}{2} \cdot \vec{e}_{n,rechts}$$

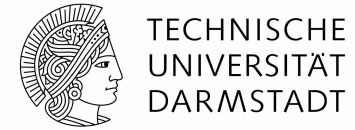
$$\vec{F}_m = \vec{p}_m \cdot A$$

$$F_m = F_{rechts} = \frac{(B_2 - B_1) \cdot H_1 \cdot b \cdot l_{Fe}}{2}$$



# Elektromechanische Systeme

## 2. Grundlagen



- Dynamische Grundgesetze der Mechanik und Elektromagnetik
- Materialgesetze
- Kraftgesetze
- **Energiebegriffe**
- Einführendes Beispiel:  
Kopplung eines mechanischen mit einem el.-magn. System



# Energiebegriffe

Wiederholung



TECHNISCHE  
UNIVERSITÄT  
DARMSTADT

## Kinetische Energie (Linear- und Drehbewegung)

- **Energie** als geleistete Arbeit = Kraft x Weg:

$$W = F \cdot x = (F \cdot r) \cdot (x / r) = M \cdot \gamma$$

$$W = \int_x F \cdot dx = \int_\gamma M \cdot d\gamma$$

- **Leistung** = Energie / Zeit = Kraft x Geschwindigkeit ( $p$ : Momentanleistung)

$$P = W / t = F \cdot x / t = F \cdot v$$

$$p = dW / dt = F \cdot dx / dt = F \cdot \dot{x} = F \cdot v$$

- **Leistung** = Energie / Zeit = Drehmoment x Winkelgeschwindigkeit

$$P = W / t = (F \cdot r) \cdot (x / r) / t = M \cdot \gamma / t = M \cdot \omega_m$$

- **Gespeicherte** mechanische Energie  $W$  als kinetische Energie  $W_k$

$$dW = p \cdot dt = F \cdot v \cdot dt = m \cdot \ddot{x} \cdot \dot{x} \cdot dt = m \cdot d(\dot{x}^2 / 2) \Rightarrow W_k = m \cdot v^2 / 2$$

$$dW = p \cdot dt = M \cdot \omega_m \cdot dt = J \cdot \dot{\omega}_m \cdot \omega_m \cdot dt = J \cdot d(\omega_m^2 / 2) \Rightarrow W_k = J \cdot \omega_m^2 / 2$$

$$W_k = m \cdot v^2 / 2 \text{ (translatorisch)}$$

$$W_k = J \cdot \omega_m^2 / 2 \text{ (rotatorisch)}$$





# Energiebegriffe

## Potentielle Energie

### Wiederholung

#### a) Potentielle „Höhen“-Energie $W_p$ :

Aufzuwendende Arbeit für eine Änderung der Höhenlage  $h$  eines Körpers in Bezug auf einen anderen massebehafteten Körper (hier: Erde)

##### Beispiel:

Erde:  $g$ : Erdbeschleunigung,  $h$ : Höhe über Erdoberfläche,  $m$ : Körpermasse.

Für Erddurchmesser  $\gg$  Körperabmessungen  $\Rightarrow W_p = m \cdot g \cdot h$

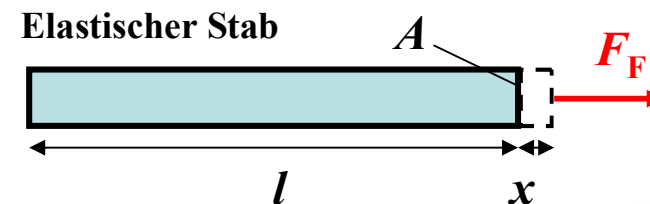
#### b) Potentielle Verformungsenergie $W_F$ :

Aufzuwendende Arbeit für eine Änderung der Form eines (elastisch oder plastisch) verformbaren Körpers

##### Beispiel:

Dehnungsstab als linear elastische Feder: Dehnungsarbeit  $W_F$  für Längung  $x$

$$W_F = \int_0^x F_F \cdot dx = \int_0^x k \cdot x \cdot dx = k \cdot x^2 / 2$$



# Energiebegriffe

## El. Energiedichte $w_e$ (nichtlinearer Werkstoff)



TECHNISCHE  
UNIVERSITÄT  
DARMSTADT

- **Niederfrequenzbereich:**

Elektrisches Feld  $E$  bzw.  $D$  und magnetisches Feld  $H$  bzw.  $B$  getrennt betrachtbar  
(= Magnetfelder zufolge  $\partial D/\partial t$  vernachlässigt)  
Exakt gilt dies bei statischen Feldern:  $\partial./\partial t = 0$

- **Elektrostatische Energiedichte  $w_e$ :**

Durch elektrische Ladungen  $Q$  UND polarisierbare Materie ( $P$ ):

Differentiell kleiner Zuwachs an Energiedichte:  $dw_e = \vec{E}(D) \cdot d\vec{D}$

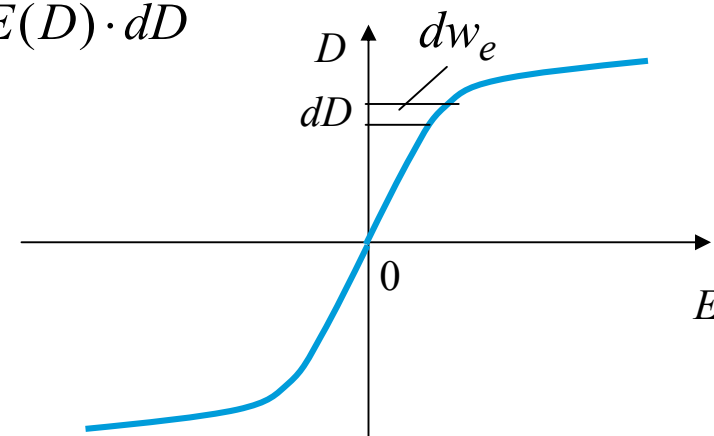
Energiedichte  $w_e$ :

$$w_e(E, D) = \int_0^D dw_e = \int_0^D \vec{E}(D') \cdot d\vec{D}'$$

**Sonderfall:** Isotroper Werkstoff  $\vec{D} \uparrow \uparrow \vec{E}$

$$w_e(E, D) = \int_0^D \vec{E}(D') \cdot d\vec{D}' = \int_0^D E(D') \cdot dD'$$

Die Fläche zwischen  $D$ -Achse und  $E(D)$ -Kurve ist  $w_e$ !



**Beispiel:** Nichtlinear polarisierbarer isotroper Werkstoff ohne Hysterese



# Energiebegriffe

## El. Energiedichte $w_e$ (linearer Werkstoff)



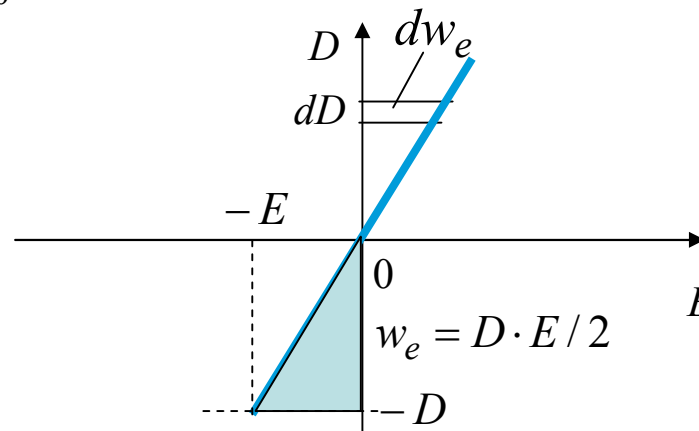
- **Sonderfall:** Anisotroper linearer Werkstoff  $\vec{D} = \begin{pmatrix} \varepsilon_{xx} & \varepsilon_{xy} & \varepsilon_{xz} \\ \varepsilon_{yx} & \varepsilon_{yy} & \varepsilon_{yz} \\ \varepsilon_{zx} & \varepsilon_{zy} & \varepsilon_{zz} \end{pmatrix} \cdot \vec{E}$

z.B.: Piezoelektrischer Werkstoff  $\varepsilon_{xx}, \varepsilon_{xy}, \text{etc.} = \text{konst.}$

Bei  $\varepsilon_{xy} = \varepsilon_{yx} = \varepsilon_{xz} = \varepsilon_{zx} = \varepsilon_{yz} = \varepsilon_{zy} = 0$ :  $w_e(E, D) = \vec{D} \cdot \vec{E} / 2$

- **Sonderfall:** Isotroper linear polarisierbarer Werkstoff  $\vec{D} = \varepsilon \cdot \vec{E}$   $\varepsilon = \text{konst.} \Leftrightarrow \vec{D} \uparrow \uparrow \vec{E}$

$$w_e(E, D) = \int_0^D \vec{E}(D') \cdot d\vec{D}' = \frac{1}{\varepsilon} \int_0^D D' \cdot dD' = \frac{D^2}{2\varepsilon} = \frac{D \cdot E}{2} \quad w_e = \frac{\vec{D} \cdot \vec{E}}{2} \Big|_{\text{isotrop}} = \frac{1}{2\varepsilon} \cdot |\vec{D}|^2 = \frac{1}{2\varepsilon} \cdot D^2$$



# Energiebegriffe

## El. Energie $W_e$ (nichtlinearer Werkstoff)



- Der gesamte vom el. Feld erfüllte Raum  $V$  ist Ort der dort verteilten Energiedichte  $w_e$ :

**El. Energie  $W_e$ :**  $W_e = \int_V w_e(E, D) \cdot dV = \int_V w_e(V) \cdot dV$

$$W_e = \int_V \int_0^D \vec{E}(D') \cdot d\vec{D}' \cdot dV = \oint_{A|0} \int_0^D \vec{E}(D') \cdot d\vec{D}' \cdot d\vec{A} \cdot d\vec{s}$$

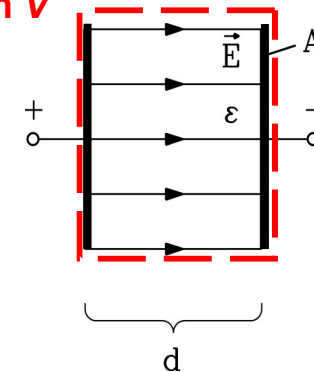
$$W_e = \oint_{A|0} \int_0^D \vec{E}(D') \cdot d\vec{s} \cdot d\vec{D}' \cdot d\vec{A} = \oint_{A|0} \int_0^D u(D') \cdot d\vec{D}' \cdot d\vec{A} = \int_0^Q u \cdot d \left( \oint_A \vec{D}' \cdot d\vec{A} \right) = \int_0^Q u \cdot dQ' \quad \boxed{\vec{D} \Leftrightarrow Q \quad \vec{E} \Leftrightarrow u}$$

- Beispiel:**

Kondensator: differentielles Volumen:  $dV = d\vec{A} \cdot d\vec{s}$

$$\Phi_e = \oint_{A, \partial A=0} \vec{D} \cdot d\vec{A} = Q \quad u = \int_d \vec{E} \cdot d\vec{s}$$

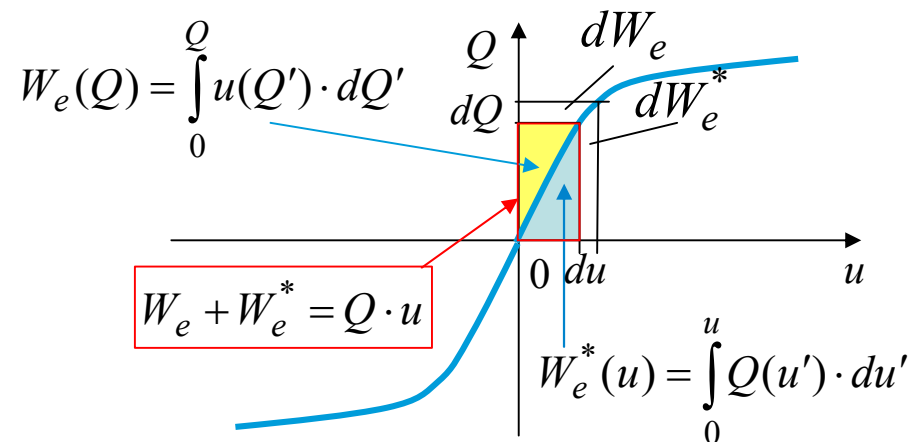
Feldvolumen  $V$



# Energiebegriffe

## El. Energie $W_e$ und Ko-Energie $W_e^*$

- Die Fläche zwischen Q-Achse und  $u(Q)$ -Kurve ist **el. Energie  $W_e$**
- Die Fläche zwischen  $u$ -Achse und  $Q(u)$ -Kurve nennt man **el. Ergänzungsenergie  $W_e^*$**  („el. Ko-Energie“)



### Beispiel:

Nichtlinear polarisierbares isotropes Dielektrikum im Kondensator (ohne Hysterese)

# Energiebegriffe

## Elektrische Energie $W_e$ (linearer Werkstoff)



TECHNISCHE  
UNIVERSITÄT  
DARMSTADT

**Sonderfall:** Linear polarisierbarer Werkstoff

$$Q = C \cdot u :$$

$$W_e(Q) = \int_0^Q u(Q') \cdot dQ' = \int_0^Q \frac{Q'}{C} \cdot dQ' = \frac{Q^2}{2C}$$

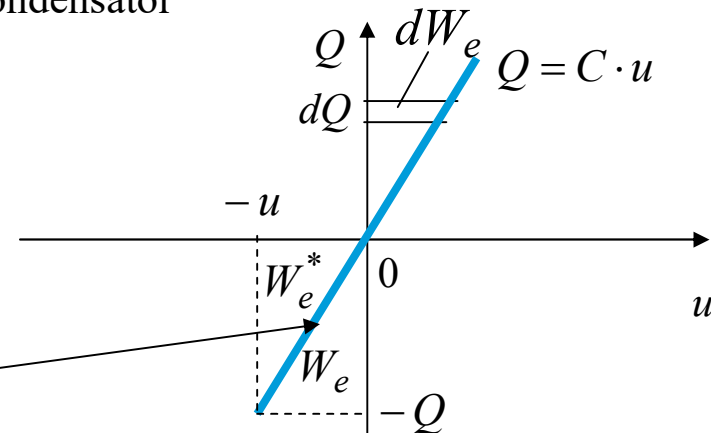
$$W_e^*(u) = \int_0^u Q(u') \cdot du' = \int_0^u C \cdot u' \cdot du' = \frac{C \cdot u^2}{2}$$

- Diagonale halbiert **Rechteck** (Fläche  $Q \cdot u$ ) in zwei **gleiche** Dreiecksflächen  $W_e$  und  $W_e^*$

$$W_e(Q) = \frac{Q^2}{2C} = \frac{(C \cdot u)^2}{2C} = \frac{C \cdot u^2}{2} = W_e^*(u)$$

**Beispiel:**

Linear polarisierbares Dielektrikum im  
Kondensator



$$W_e + W_e^* = Q \cdot u$$



# Energiebegriffe - Beispiel

## Elektrische Energie $W_e$ im Kondensator (1)



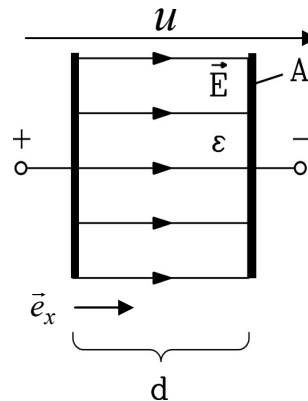
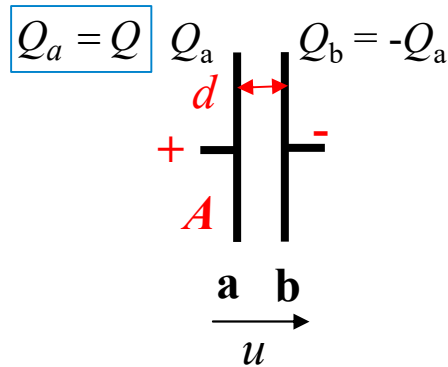
TECHNISCHE  
UNIVERSITÄT  
DARMSTADT

- Energie  $W_e$  ist im felderfüllten Raum lokalisiert, der mit der **Energiedichte  $w_e$**  „erfüllt“ ist!
- Die beiden Elektroden **a** und **b** stehen unter mechanischer Spannung der sich gegenseitig anziehenden elektrischen Ladungen  $Q_a$  und  $Q_b = -Q_a$  (**Coulomb-Kraft** = „Fernwirkungsmodell“).
- Diese Kraft wird durch die wie „Gummischnüre“ ziehende Kraftwirkung des elektrischen Felds  $E$  zwischen den Elektroden als **MAXWELL-Zug  $p_e$**  vermittelt („Nahwirkungsmodell“).



# Energiebegriffe - Beispiel

## Elektrische Energie $W_e$ im Kondensator (2)



$$W_e = \int_V w_e \cdot dV \approx \int_0^d \int_0^A w_e \cdot dx \cdot dA$$

Näherung:  $w_e = \epsilon \cdot E^2 / 2 = \text{konst.}$

$$W_e = \frac{\epsilon \cdot E^2}{2} \cdot A \cdot d$$

▪ Gespeicherte elektrische Energie  $W_e$  ist (nahezu zur Gänze) im Volumen  $A \cdot d$  !

▪ Kapazität  $C$ :  $C = \epsilon \cdot A / d$

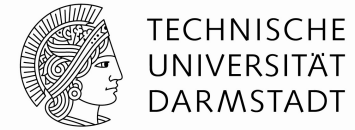
▪ El. Spannung:  $u = \int_0^d \vec{E} \cdot d\vec{x} \cong E \cdot d$

$$W_e = \frac{\epsilon \cdot E^2}{2} \cdot A \cdot d = \frac{D^2}{2 \cdot \epsilon} \cdot A \cdot d = \frac{(D \cdot A)^2}{2 \cdot \epsilon \cdot A / d} = \frac{Q^2}{2C} = C \cdot \frac{u^2}{2}$$

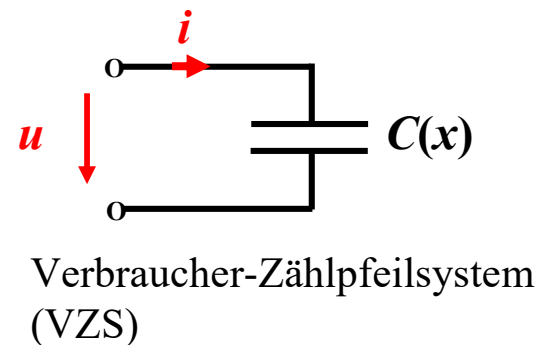
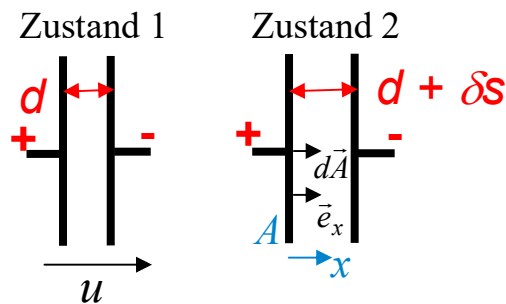


# Energiebegriffe

## Energiebilanz: Kondensator + Spannungsquelle (1)

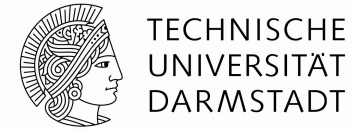


- Berechnung der elektrischen Kraft  $F_e$  über „Energiebilanz“:  
Prinzip der „virtuellen“ Verschiebung:  
Zwei Variable:  $x$  und  $u \Rightarrow W_e^*$   
bzw.  $x$  und  $Q \Rightarrow W_e$
- Energieänderung bei einer gegenüber den Körperabmessungen **kleinen Verschiebung  $\delta s$**  der beiden Elektroden ( $x_1 = d$ ,  $x_2 = d + \delta s$ ),  
**die wegen der Annahme  $t = \text{konst.}$  nur gedacht (= „virtuell“) ist.**  
Es ändert sich nur  $x$ , aber nicht  $u$  am Kondensator, weil  $u(t) = u(\text{konst.})$  konstant ist.



# Energiebegriffe

## Energiebilanz: Kondensator + Spannungsquelle (2)



- Elektrische Energieänderung („el. Arbeit“)  $dW_{el}$  bei  $C(x)$ , die von der Spannungsquelle verrichtet wird.
- Die el. Spannung  $u$  wird wegen  $u = \text{konst.}$  von einer idealen Spannungsquelle eingeprägt.
- Wir lassen die virtuelle Verschiebung  $\delta s$  und ihre Auswirkungen, z. B.:  $\delta W_{el}$ , die auch endlich groß sein können, z. B.  $\Delta W_{el}$ , nun infinitesimal klein werden:  $dW_{el}$ .

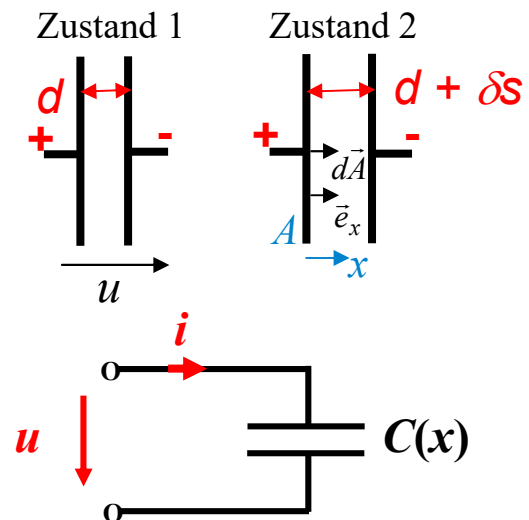
$$p_{el}(t) = u(t) \cdot i(t) \quad i(t) = dQ / dt$$

$$dW_{el} = p_{el} \cdot dt = u \cdot i \cdot dt = u \cdot dQ$$

$$\Delta W_{el} = u \cdot \Delta Q = u \cdot Q_2 - u \cdot Q_1 = (W_{e,2} + W_{e,2}^*) - (W_{e,1} + W_{e,1}^*)$$

$$u \cdot \Delta Q = (W_{e,2} - W_{e,1}) + (W_{e,2}^* - W_{e,1}^*) = \Delta W_e + \Delta W_e^*$$

$$u \cdot dQ = dW_e + dW_e^*$$

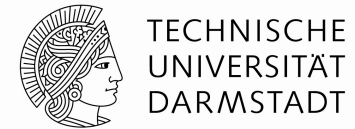


Verbraucher-Zählpfeilsystem (VZS)

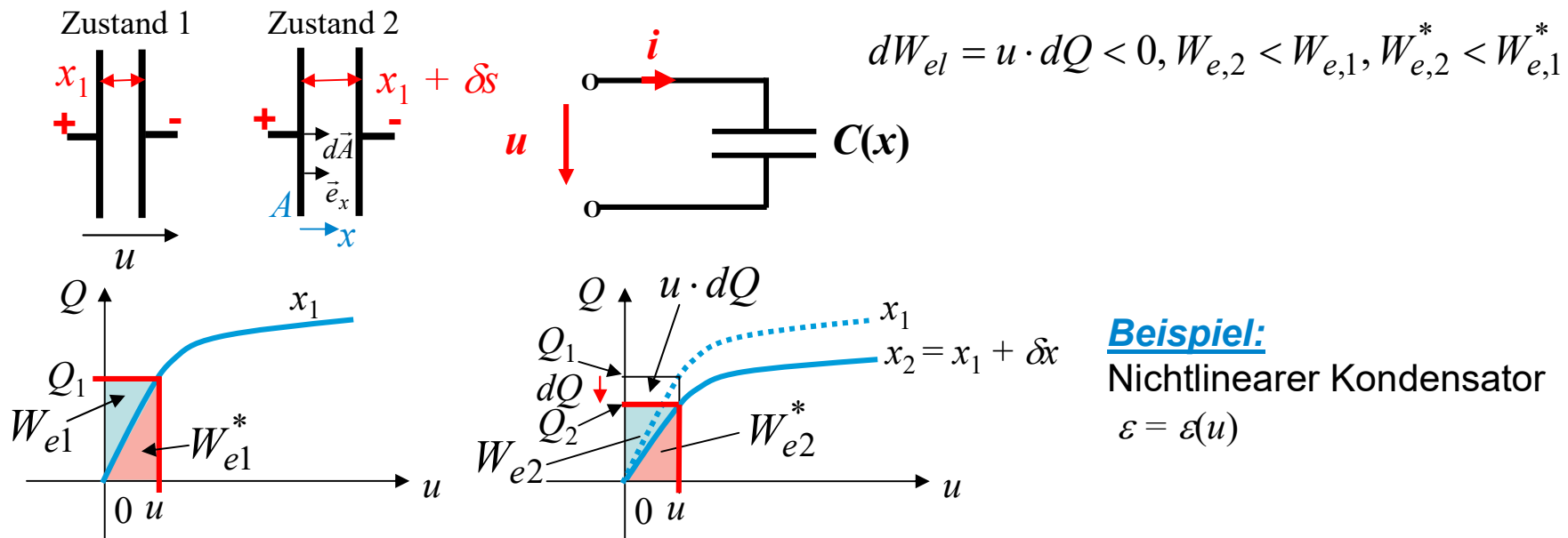


# Energiebegriffe

## Beispiel 1a: Energiebilanz im Kondensator, $\varepsilon = \varepsilon(u)$ : Plattenabstand nimmt zu bei $u = \text{konst.}$



**Beispiel:**  $u = \text{konst.}; \Delta Q = Q_2 - Q_1 < 0 \quad u \cdot \Delta Q = (W_{e,2} - W_{e,1}) + (W_{e,2}^* - W_{e,1}^*) = \Delta W_e + \Delta W_e^* < 0$



- Plattenabstand **nimmt zu**, Kapazität  $C$  sinkt, die el. Ladung  $Q$  je Platte **nimmt bei  $u = \text{konst.}$  ab**.
- $E$ - und  $D$ -Feld **nehmen ab**, die im Feld gespeicherte el. Energie  $W_e$  **sinkt** trotz Feldvolumenzunahme. (Auch  $W_e^*$  sinkt).
- Die Spannungsquelle nimmt el. Energie  $dW_{el}$  **auf**. Im VZS ist daher  $dW_{el} < 0$ !



# Energiebegriffe

## Kraft $F_e$ in Abhängigkeit von $(Q, x)$ bzw. $(u, x)$



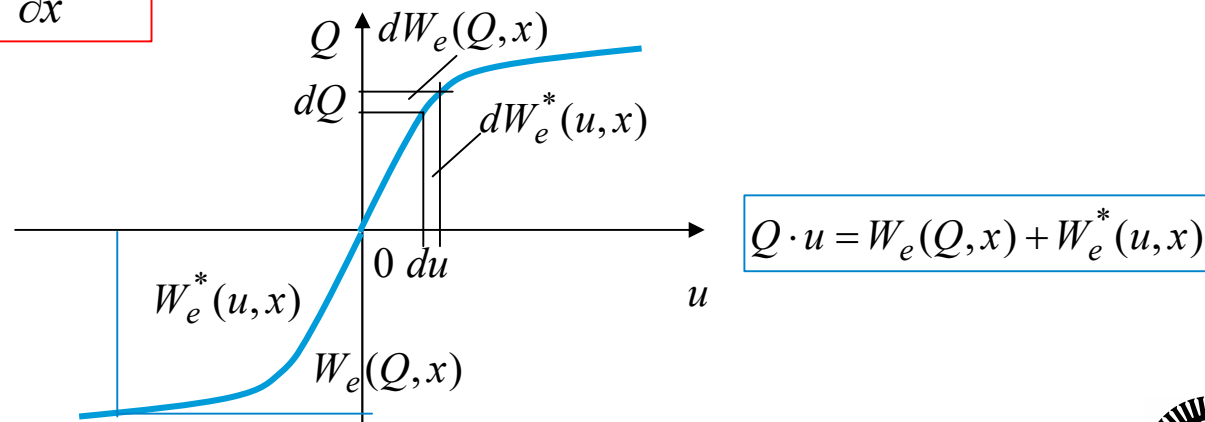
TECHNISCHE  
UNIVERSITÄT  
DARMSTADT

$$dW_{el} = u \cdot dQ = dW_e + F_e \cdot dx \Rightarrow dW_e = u \cdot dQ - F_e \cdot dx \Rightarrow W_e = W_e(Q, x)$$

- Für die gespeicherte elektrische Energie  $W_e$  sind die **unabhängigen Variablen  $Q$  und  $x$** .
- Die Spannung  $u$  stellt sich je nach  $C(x)$  gemäß  $u = Q/C$  ein
- Vollständige Änderung der gespeicherten el. Energie  $W_e$  mit  $Q$  und  $x$ :

$$dW_e(Q, x) = \frac{\partial W_e}{\partial Q} \cdot dQ + \frac{\partial W_e}{\partial x} \cdot dx = u \cdot dQ - F_e \cdot dx$$

$$u = \frac{\partial W_e(Q, x)}{\partial Q} \quad F_e = -\frac{\partial W_e(Q, x)}{\partial x}$$



# Energiebegriffe

## LEGENDRE-Transformation

- Wechsel von der **unabhängigen Variablen Q auf u**

über die **LEGENDRE**-Transformation:  $dW_e = u \cdot dQ - F_e \cdot dx$

$$d(Q \cdot u) = dQ \cdot u + Q \cdot du \Rightarrow dW_e = \overbrace{d(Q \cdot u) - Q \cdot du} - F_e \cdot dx \Rightarrow$$

$$\Rightarrow d(Q \cdot u) - dW_e = Q \cdot du + F_e \cdot dx$$

$$u \cdot Q = W_e(Q, x) + W_e^*(u, x) \Rightarrow d(u \cdot Q) = dW_e + dW_e^* \Rightarrow dW_e^* = d(u \cdot Q) - dW_e$$

$$Q \cdot du + F_e \cdot dx = dW_e^* = dW_e^*(u, x) = \frac{\partial W_e^*}{\partial u} \cdot du + \frac{\partial W_e^*}{\partial x} \cdot dx, \quad W_e^* = W_e^*(u, x)$$

$$Q = \frac{\partial W_e^*(u, x)}{\partial u} \quad F_e = \frac{\partial W_e^*(u, x)}{\partial x}$$

$$u = \frac{\partial W_e(Q, x)}{\partial Q} \quad F_e = -\frac{\partial W_e(Q, x)}{\partial x}$$

- Bei Verwendung der Variablen **Q** wird  $F_e$  aus  $W_e$  berechnet (mit MINUS-Vorzeichen!), bei Verwendung von **u** jedoch aus  $W_e^*$  (mit PLUS-Vorzeichen)!

# Energiebegriffe

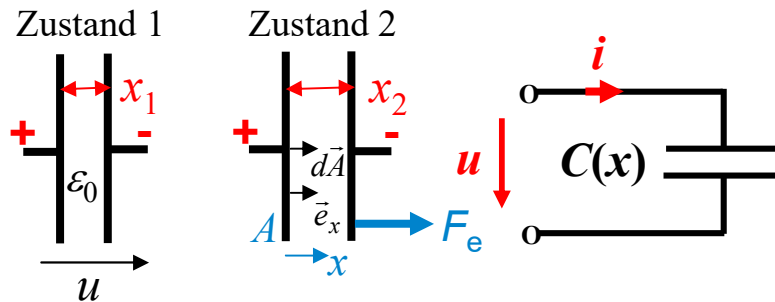
## Beispiel 1b: El. Kraft $F_e$ im Kondensator, $\varepsilon = \varepsilon_0$ : Plattenabstand nimmt zu bei $u = \text{konst.}$

(1)



TECHNISCHE  
UNIVERSITÄT  
DARMSTADT

**Beispiel:**  $u = U = \text{konst.}$ ;  $\Delta Q = Q_2 - Q_1 < 0$   $C(x) = \varepsilon_0 \cdot A / x$



$$\Delta W_{el} = \int_{Q(x_1)=Q_1}^{Q(x_2)=Q_2} u \cdot dQ = U \cdot \int_{Q_1}^{Q_2} dQ = U \cdot (Q_2 - Q_1) < 0$$

$$\Delta W_{el} = U^2 \cdot (C(x_2) - C(x_1)) = U^2 \cdot \varepsilon_0 \cdot A \cdot \left( \frac{1}{x_2} - \frac{1}{x_1} \right) < 0$$

$$W_e^* = \frac{C(x) \cdot U^2}{2} \rightarrow F_e(x) = \frac{\partial W_e^*}{\partial x} = \frac{\varepsilon_0 \cdot A \cdot U^2}{2} \cdot \frac{\partial(1/x)}{\partial x} = -\frac{\varepsilon_0 \cdot A \cdot U^2}{2x^2} < 0 \quad \text{Kraft } F_e \text{ wirkt anziehend!}$$

$$\text{Allgemein: } F_e = \frac{dW_e^*}{dx} = \frac{d}{dx} \frac{C(x) \cdot U^2}{2} = C'(x) \cdot \frac{U^2}{2} < 0$$

$$\Delta W_{mec} = \int_{x_1}^{x_2} F_e(x) \cdot dx = \int_{x_1}^{x_2} \frac{dW_e^*}{dx} \cdot dx = \int_{W_{e1}^*}^{W_{e2}^*} dW_e^* = W_{e2}^* - W_{e1}^* = \frac{\varepsilon_0 \cdot A \cdot U^2}{2} \cdot \left( \frac{1}{x_2} - \frac{1}{x_1} \right) < 0$$

$$\Delta W_e = \int_{W_e(x_1)}^{W_e(x_2)} dW_e = W_e(x_2) - W_e(x_1) = \frac{Q_2^2}{2C(x_2)} - \frac{Q_1^2}{2C(x_1)} = \frac{U^2}{2} \cdot (C(x_2) - C(x_1)) = \frac{\varepsilon_0 A \cdot U^2}{2} \cdot \left( \frac{1}{x_2} - \frac{1}{x_1} \right) < 0$$

**Kontrolle:**  $\Delta W_{el} = \Delta W_{mec} + \Delta W_e < 0$



## Energiebegriffe

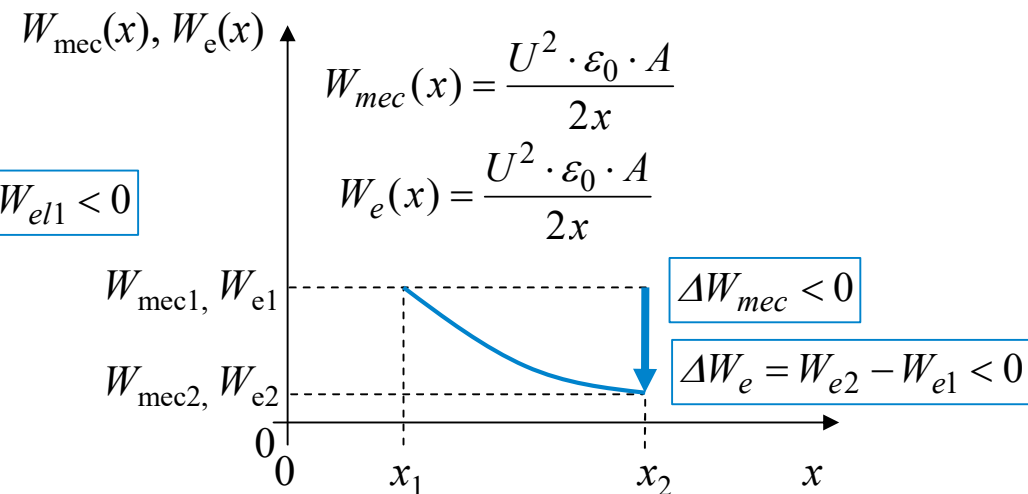
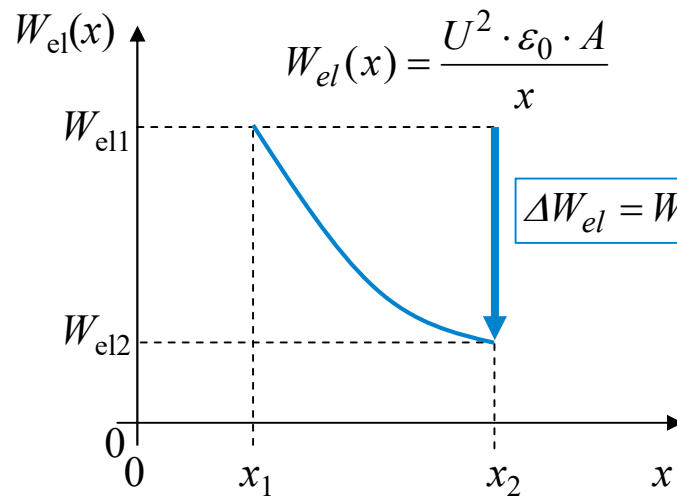
### Beispiel 1b: El. Kraft $F_e$ im Kondensator, $\varepsilon = \varepsilon_0$ : Plattenabstand nimmt zu bei $u = \text{konst.}$

(2)



TECHNISCHE  
UNIVERSITÄT  
DARMSTADT

Beispiel:  $u = U = \text{konst.}$ ;  $\Delta Q = Q_2 - Q_1 < 0$      $C(x) = \varepsilon_0 \cdot A / x$

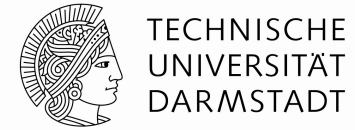


- Der Plattenabstand **nimmt von  $x_1$  nach  $x_2$  zu**, indem gegen die anziehende el. Kraft  $F_e$  von außen an dem System mech. Arbeit verrichtet wird, daher im VZS:  $\Delta W_{mec} < 0$ !
- Auch die im Feld gespeicherte el. Energie  $W_e$  **sinkt** wegen  $u = \text{konst.}$ :  $\Delta W_e < 0$ !
- Die Spannungsquelle nimmt die Summe  $\Delta W_{mec} + \Delta W_e$  als el. Energie  $W_{el}$  **auf**:  $W_{el} < 0$ !

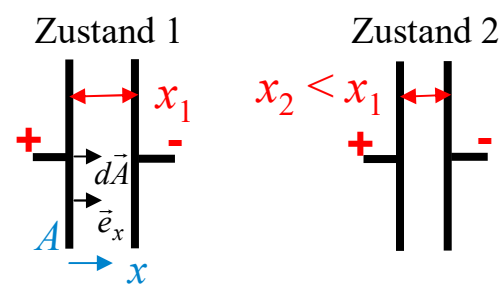


# Energiebegriffe

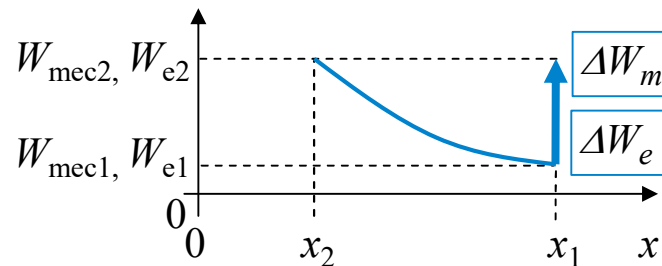
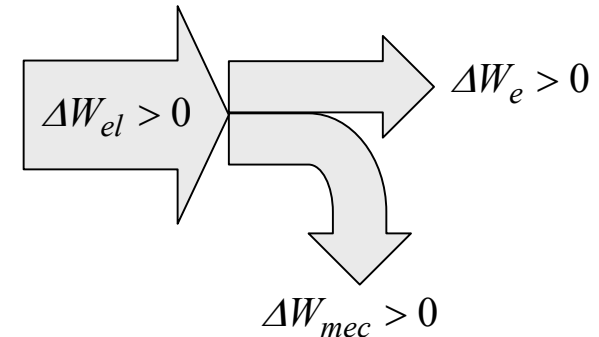
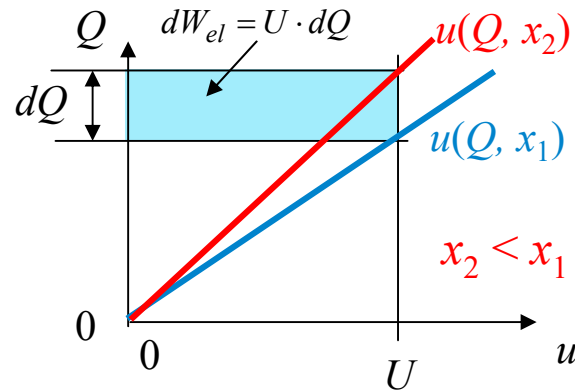
## Beispiel 2: Kraft $F_e$ im Kondensator, $\varepsilon = \varepsilon_0$ : Plattenabstand nimmt ab bei $u = \text{konst.}$



**Beispiel:**  $u = U = \text{konst.}; \Delta Q = Q_2 - Q_1 > 0$      $C(x) = \varepsilon_0 \cdot A / x \Rightarrow C(x_2) > C(x_1)$



$W_{\text{mec}}(x), W_e(x)$



$$\Delta W_{\text{mec}} = W_{\text{mec}2} - W_{\text{mec}1} > 0$$

$$\Delta W_e = W_{e2} - W_{e1} > 0$$

$$W_{\text{mec}}(x) = \frac{U^2 \cdot \varepsilon_0 \cdot A}{2x} \quad W_e(x) = \frac{U^2 \cdot \varepsilon_0 \cdot A}{2x}$$

- Der Plattenabstand **nimmt von  $x_1$  nach  $x_2$  AB**, indem das System über die anziehende el. Kraft  $F_e$  mech. Arbeit verrichtet, daher im VZS:  $\Delta W_{\text{mec}} > 0!$
- Auch die im Feld gespeicherte el. Energie  $W_e$  **STEIGT** mit  $C$  wegen  $u = \text{konst.}$ :  $\Delta W_e > 0!$
- Die Spannungsquelle gibt die Summe  $\Delta W_{\text{mec}} + \Delta W_e$  als el. Energie  $W_{\text{el}}$  **AB**:  $W_{\text{el}} > 0!$





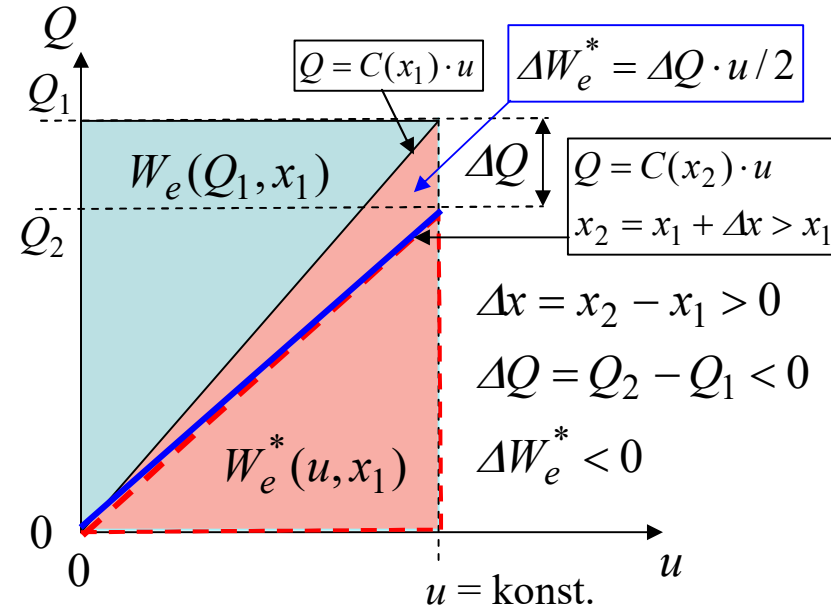
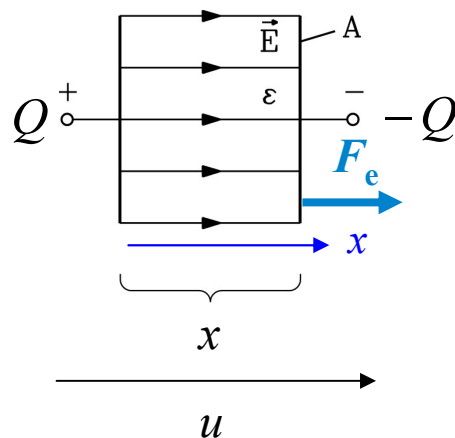
# Energiebegriffe

## Kondensator an idealer Spannungsquelle; $u = \text{konst.}$ , Kraftformel aus $W_e^*$ anschaulich

- $u = \text{konst.}$ :

Platten sind an idealer Spannungsquelle,  
so dass  $Q$  variabel ist!

Plattenabstand  $x$  variabel von  $x_1$  auf  $x_2 > x_1$ .



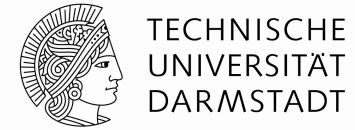
$$F_e = \frac{dW_e^*(u, x)}{dx} \Rightarrow F_e = \frac{\Delta W_e^*}{\Delta x} < 0$$

$$F_e = \frac{\Delta Q}{2} \cdot \frac{u}{\Delta x} = \frac{u \cdot \Delta C}{2 \Delta x} \cdot u = \frac{u^2 \cdot \varepsilon \cdot A \cdot \Delta(1/x)}{2 \Delta x}$$

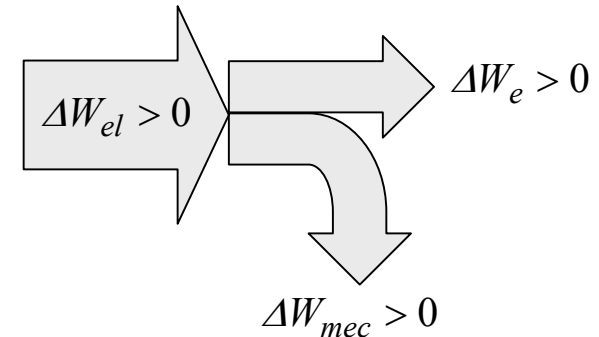
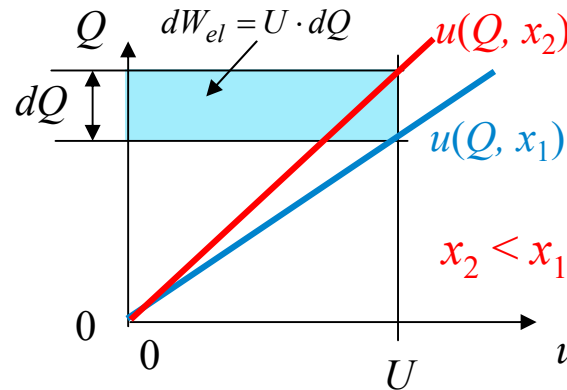
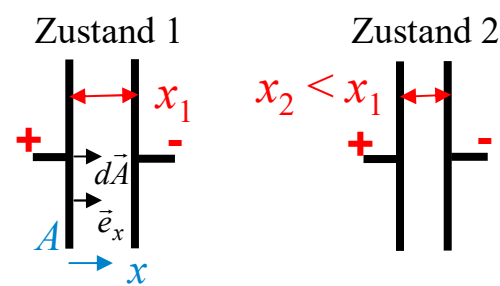
$$F_e = -\frac{(u/x)^2 \cdot \varepsilon \cdot A \cdot \Delta x}{2 \Delta x} = -\frac{E^2 \cdot \varepsilon \cdot A}{2} = -\underbrace{\frac{D \cdot E}{2}}_{p_{e,x}} \cdot A < 0$$

# Energiebegriffe

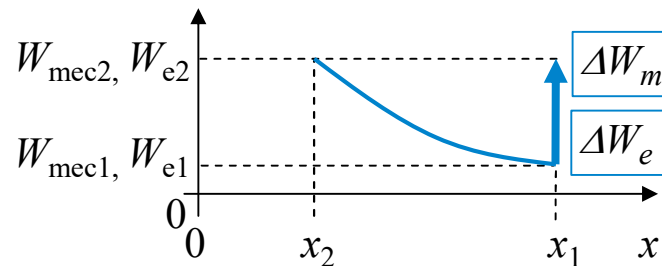
## Beispiel 2: Kraft $F_e$ im Kondensator, $\varepsilon = \varepsilon_0$ : Plattenabstand nimmt ab bei $u = \text{konst.}$



**Beispiel:**  $u = U = \text{konst.}; \Delta Q = Q_2 - Q_1 > 0$      $C(x) = \varepsilon_0 \cdot A / x \Rightarrow C(x_2) > C(x_1)$



$W_{mec}(x), W_e(x)$



$$W_{mec}(x) = \frac{U^2 \cdot \varepsilon_0 \cdot A}{2x} \quad W_e(x) = \frac{U^2 \cdot \varepsilon_0 \cdot A}{2x}$$

- Der Plattenabstand **nimmt von  $x_1$  nach  $x_2$  ab**, indem das System über die anziehende el. Kraft  $F_e$  mech. Arbeit verrichtet, daher im VZS:  $\Delta W_{mec} > 0!$
- Auch die im Feld gespeicherte el. Energie  $W_e$  **STEIGT** mit  $C$  wegen  $u = \text{konst.}$ :  $\Delta W_e > 0!$
- Die Spannungsquelle gibt die Summe  $\Delta W_{mec} + \Delta W_e$  als el. Energie  $W_{el}$  **ab**:  $W_{el} > 0!$

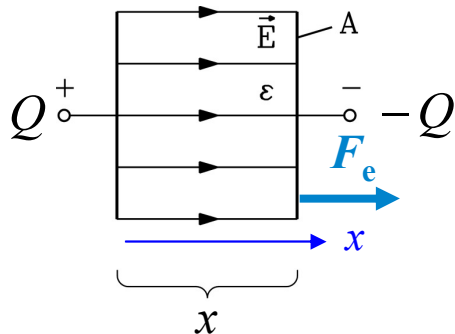


# Energiebegriffe

## Beispiel 3: Kondensator isoliert: $Q = \text{konst.}$ , Kraftformel aus $W_e$ anschaulich

- $Q = \text{konst.}$ :

Platten sind von Spannungsquelle getrennt!  
Plattenabstand  $x$  variabel von  $x_1$  auf  $x_2 > x_1$

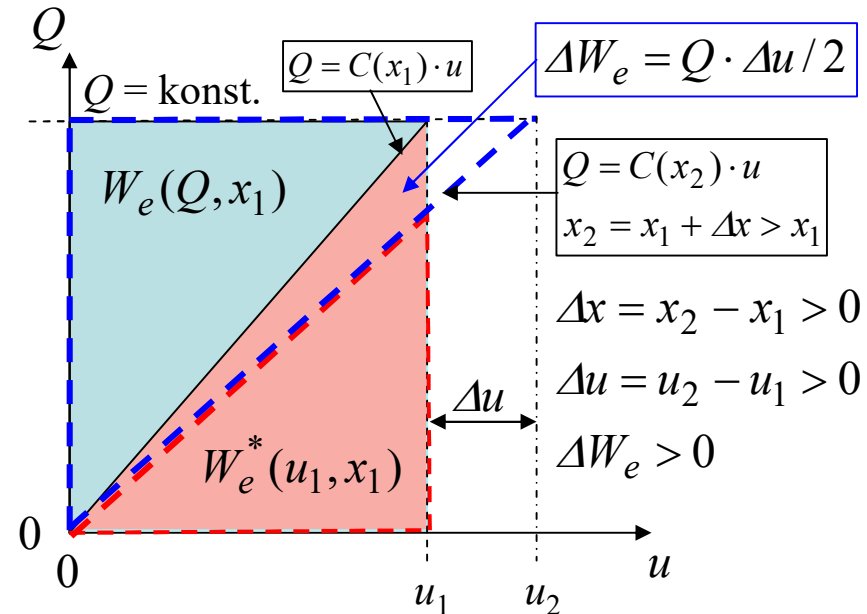


$u$  nimmt mit Plattenabstand  $x$  zu:

$$x_2 > x_1$$

$$E = D / \epsilon = (Q / A) / \epsilon = \text{konst.}$$

$$u(x_2) = E \cdot x_2 > u(x_1) = E \cdot x_1$$



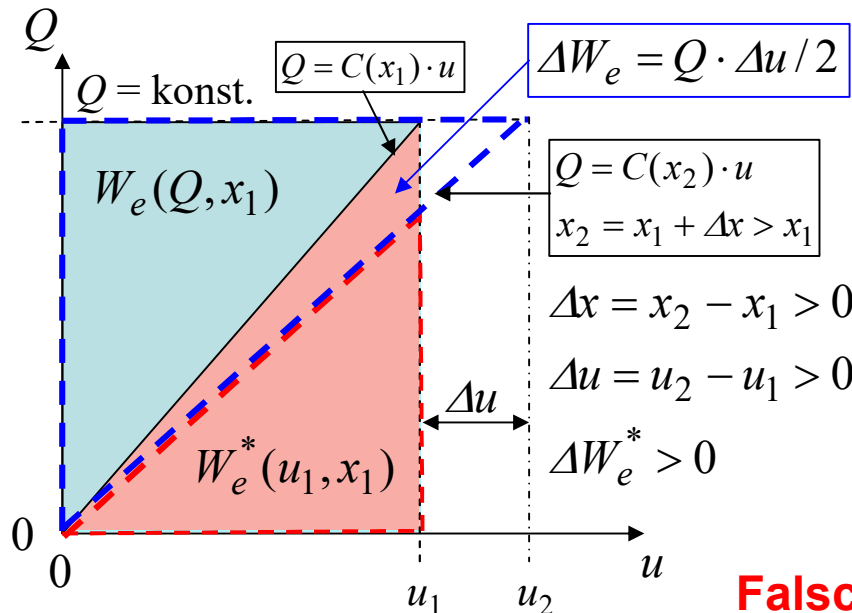
$$F_e = -\frac{dW_e(Q, x)}{dx} \Rightarrow F_e = -\frac{\Delta W_e}{\Delta x} < 0$$

$$F_e = -\frac{\Delta W_e}{\Delta x} = -\frac{Q}{2} \cdot \frac{\Delta u}{\Delta x} = -\frac{D \cdot A}{2} \cdot E$$

$$F_e = -\frac{D \cdot E}{2} \cdot A = -p_{e,x} \cdot A$$

# Energiebegriffe

## Achtung: Falsche Berechnung mit der Kraftformel (1)



$Q = \text{konst.}, E = \text{konst.}:$

$$F_e = \frac{dW_e^*(u, x)}{dx} \Rightarrow F_e = \frac{\Delta W_e^*}{\Delta x} > 0$$

$$\Delta W_e^* = (u_2^2 \cdot C(x_2) - u_1^2 \cdot C(x_1)) / 2 = \Delta(u^2 \cdot C) / 2$$

$$F_e = \frac{\Delta W_e^*}{\Delta x} = \frac{\Delta(u^2 \cdot C)}{\Delta x} = \frac{\Delta((E \cdot x)^2 \cdot \varepsilon \cdot A / x)}{2 \cdot \Delta x}$$

$$F_e = \frac{\varepsilon \cdot E^2 \cdot A}{2} \cdot \frac{\Delta x}{\Delta x} = \frac{D \cdot E}{2} \cdot A = p_{e,x} \cdot A$$

**Falsch!**

- Es ergibt sich (wegen der linearen Rechnung) zwar der richtige Betrag der Kraft  $F_e$ , aber das falsche Vorzeichen!
- Die zweite unabhängige Variable ist bei der Kraftformel mit  $W_e^*$  die Spannung  $u$ , die bei der Ableitung nach  $x$  KONSTANT gehalten werden muss, und nicht  $\Delta u = E \cdot \Delta x$  variabel!

$$F_e = \frac{\Delta W_e^*}{\Delta x} = \frac{\Delta(u^2 \cdot C)}{2 \cdot \Delta x} \Big|_{u=\text{konst.}} = \frac{u^2 \cdot \Delta C}{2 \cdot \Delta x} = \frac{u^2 \cdot \Delta(\varepsilon \cdot A / x)}{2 \cdot \Delta x} = -\frac{u^2}{x^2} \cdot \frac{\varepsilon \cdot A}{2} = -\frac{\varepsilon E^2 \cdot A}{2} = -\frac{D \cdot E}{2} \cdot A = -p_{e,x} \cdot A$$

**Richtig!**



# Energiebegriffe

## Achtung: Falsche Berechnung mit der Kraftformel (2)



TECHNISCHE  
UNIVERSITÄT  
DARMSTADT

- Eine falsche Kraftberechnung ergibt sich auch, wenn  $W_e$  und  $W_e^*$  verwechselt werden.

**Falsch:**  $W_e = C \cdot u^2 / 2$

$$F_e = -\frac{dW_e}{dx} = -\frac{u^2 \cdot dC}{2 \cdot dx} = -\frac{u^2 \cdot d(\varepsilon \cdot A / x)}{2 \cdot dx} = \frac{u^2}{x^2} \cdot \frac{\varepsilon \cdot A}{2} = \frac{\varepsilon E^2 \cdot A}{2} = \frac{D \cdot E}{2} \cdot A = p_{e,x} \cdot A$$

- Es ergibt sich wieder (wegen der linearen Rechnung) zwar der richtige Betrag der Kraft  $F_e$ ,  
aber das falsche Vorzeichen!

**Richtig:**  $W_e = Q^2 / (2C)$

$$F_e = -\frac{dW_e}{dx} = -\frac{Q^2 \cdot d(1/C)}{2 \cdot dx} = -\frac{Q^2 \cdot dx}{2 \cdot \varepsilon \cdot A \cdot dx} = -\frac{u^2}{x^2} \cdot \frac{\varepsilon \cdot A}{2} = -\frac{\varepsilon E^2 \cdot A}{2} = -\frac{D \cdot E}{2} \cdot A = -p_{e,x} \cdot A$$

- Es ergibt sich der richtige Betrag der Kraft  $F_e$  mit richtigem Vorzeichen!



## Energiebegriffe

## Übung



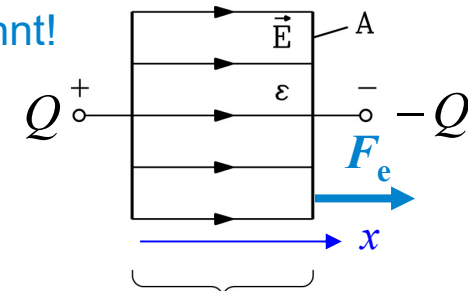
TECHNISCHE  
UNIVERSITÄT  
DARMSTADT

### Beispiel 3: Kraft $F_e$ im Plattenkondensator (1): Plattenabstand nimmt zu bei $Q = \text{konst.}$

- **Beispiel 3:**  $Q = \text{konst.}$ : Platten sind von Spannungsquelle getrennt!  
Plattenabstand  $x$  variabel von  $x_1$  auf  $x_2 > x_1$ :

Wie groß ist Kraft  $F_e$  bei Plattenabstand  $x$  ?

Erstellen Sie die Energiebilanz für den Vorgang  $x_1 \rightarrow x_2$  !



$$C(x) = \varepsilon \cdot A / x \Rightarrow W_e(Q, x) = Q^2 / (2C(x))$$

$$F_e = - \left. \frac{\partial W_e(Q, x)}{\partial x} \right|_{Q=\text{konst.}} = - \frac{Q^2}{2} \cdot \frac{\partial}{\partial x} \frac{1}{C(x)} = - \frac{Q^2}{2} \cdot \frac{\partial}{\partial x} \frac{x}{\varepsilon \cdot A} = - \frac{Q^2}{2} \cdot \frac{1}{\varepsilon \cdot A} < 0$$

- Die Kraft  $F_e$  ist gegen die positive  $x$ -Zählrichtung gerichtet, wirkt also Platten-anziehend !
- **Alternativer Rechnungsgang („virtuelle Verschiebung“  $x$ ;  $u$  ändert sich dabei nicht!):**

$$W_e^*(u, x) = \frac{C(x) \cdot u^2}{2} \Rightarrow F_e = \left. \frac{\partial W_e^*(u, x)}{\partial x} \right|_{u=\text{konst.}} = \frac{u^2}{2} \cdot \frac{\partial C(x)}{\partial x} = \frac{u^2}{2} \cdot \frac{\partial}{\partial x} \frac{\varepsilon \cdot A}{x} = - \frac{u^2}{2} \cdot \frac{\varepsilon \cdot A}{x^2}$$

- **Beide** Rechnungswege führen zur identischen Kraft  $F_e$ , da am Ort  $x$  gilt:  $Q(x) = C(x) \cdot u(x)$

$$F_e = - \frac{u^2}{2} \cdot \frac{\varepsilon \cdot A}{x^2} = - \frac{(Q/C(x))^2}{2} \cdot \frac{\varepsilon \cdot A}{x^2} = - \frac{Q^2}{2} \cdot \frac{x^2}{(\varepsilon \cdot A)^2} \cdot \frac{\varepsilon \cdot A}{x^2} = - \frac{Q^2}{2} \cdot \frac{1}{\varepsilon \cdot A}$$



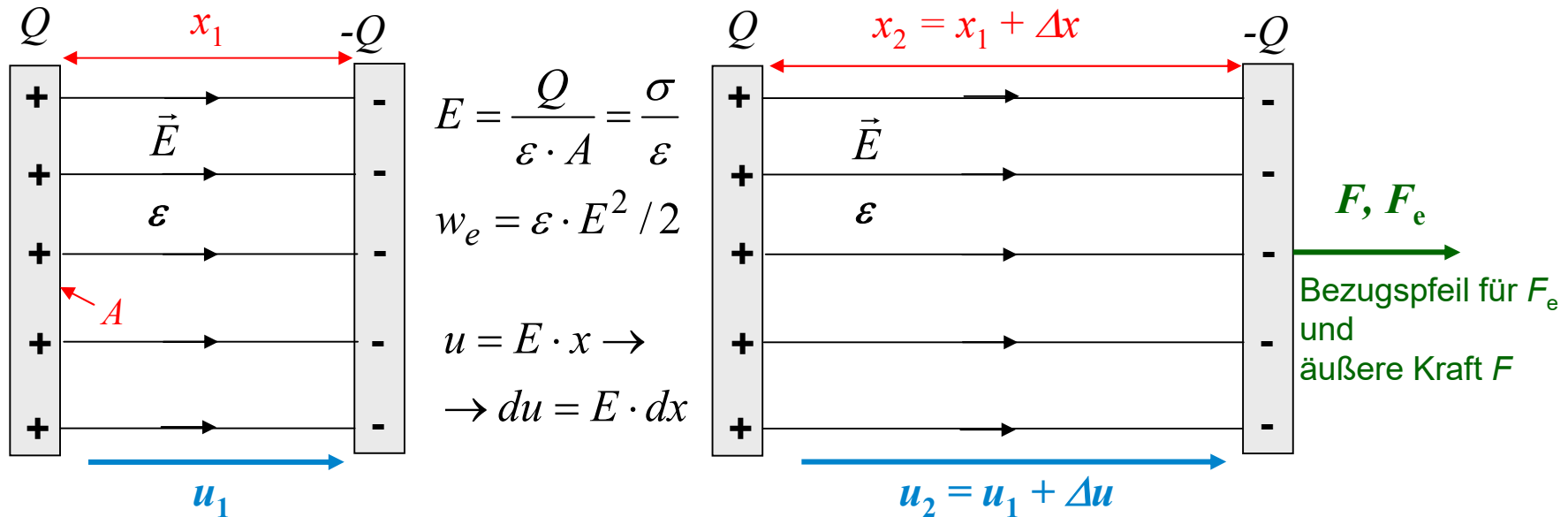
# Energiebegriffe

## Übung



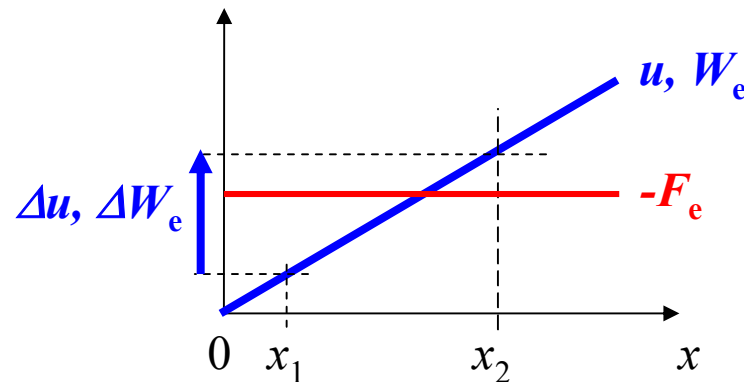
TECHNISCHE  
UNIVERSITÄT  
DARMSTADT

### Beispiel 3: Kraft $F_e$ im Plattenkondensator (2): Plattenabstand nimmt zu bei $Q = \text{konst.}$



El. Feldenergie:  $W_e = w_e \cdot (A \cdot x_1)$

$W_e + \Delta W_e = w_e \cdot A \cdot (x_1 + \Delta x) = w_e \cdot A \cdot x_2$





### Beispiel 3: Kraft $F_e$ im Plattenkondensator (3): Plattenabstand nimmt zu bei $Q = \text{konst.}$

- Energiebilanz für den Vorgang  $x_1 \rightarrow x_2$ :

$$Q = \text{konst.} \rightarrow dQ = 0 : dW_{el} = u \cdot dQ = dW_e + F_e \cdot dx = 0$$

$$\Rightarrow dW_e = -F_e \cdot dx \Rightarrow \Delta W_e = \int_{W_e(x_1)}^{W_e(x_2)} dW_e = W_e(x_2) - W_e(x_1) = - \int_{x_1}^{x_2} F_e(x) \cdot dx = -\Delta W_{mec}$$

$$\Delta W_e = \frac{Q^2 \cdot (x_2 - x_1)}{2 \cdot \varepsilon \cdot A} \quad \Delta W_{mec} = \int_{x_1}^{x_2} F_e(x) \cdot dx = - \frac{Q^2}{2 \cdot \varepsilon \cdot A} \cdot \int_{x_1}^{x_2} dx = - \frac{Q^2 \cdot (x_2 - x_1)}{2 \cdot \varepsilon \cdot A}$$







### Beispiel 3: Kraft $F_e$ im Plattenkondensator (4): Plattenabstand nimmt zu bei $Q = \text{konst.}$

- Mit der **äußeren Kraft  $F$**  wurde die rechte Elektrode von der linken um den Weg  $\Delta x = x_2 - x_1$  wegbewegt gegen die bremsende elektrische Kraft  $F_e < 0$ .
- Dabei wurde die **mechanische Arbeit  $\Delta W_{\text{mec}} < 0$**  verrichtet, also dem System zugeführt, daher ist sie gemäß dem VZS negativ!
- Diese mech. Arbeit ist wegen  $\Delta W_e = -\Delta W_{\text{mec}}$  nun in Form **erhöhter elektrischer Feldenergie  $\Delta W_e$**  im erhöhten Feldvolumen  $A \cdot (x_2 - x_1)$  des  $E$ -Felds gespeichert (Energieerhaltung!).
- Umkehrung: Vorgang:  $x_1 \rightarrow x_2 < x_1$   
Von selbst bewegen sich die Platten durch die anziehende Kraft  $F_e$  aufeinander zu und verrichten dabei Arbeit  $\Delta W_{\text{mec}} > 0$   
auf Kosten der abnehmenden el. Feldenergie  $\Delta W_e = -\Delta W_{\text{mec}} < 0!$



# Energiebegriffe

## Übung

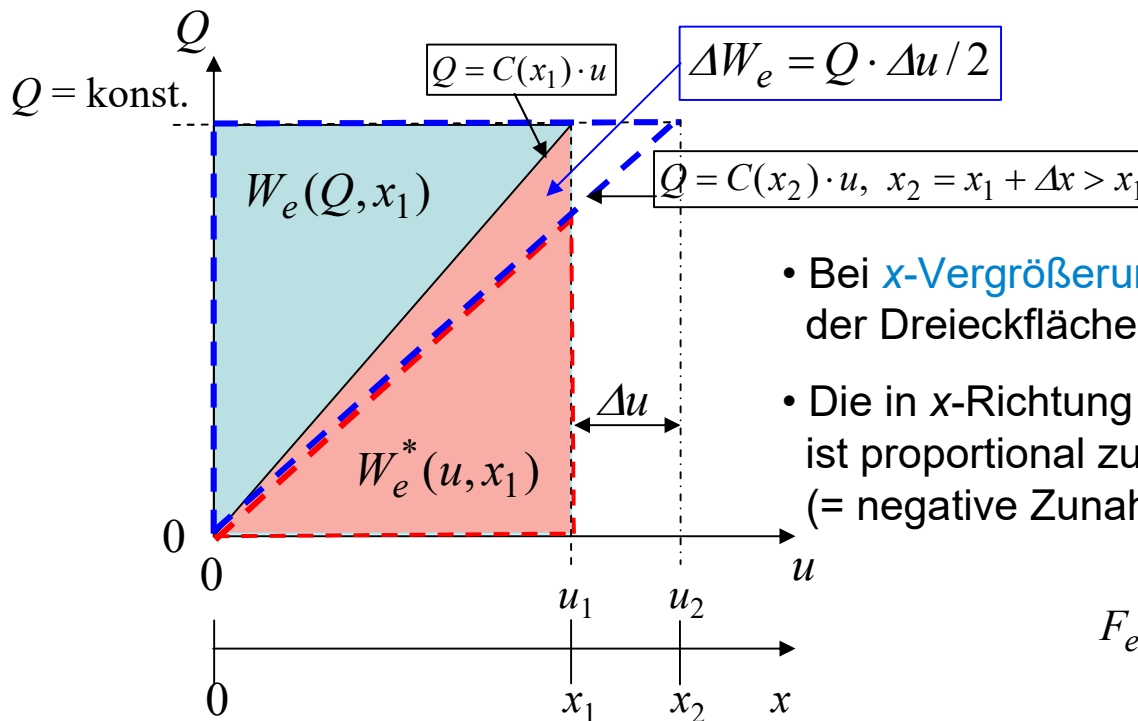


TECHNISCHE  
UNIVERSITÄT  
DARMSTADT

### Beispiel 3: Kraft $F_e$ im Plattenkondensator (5): Plattenabstand nimmt zu bei $Q = \text{konst.}$

• Anschaulich:  $W_e(Q, x) = \frac{Q^2}{2C(x)} = \frac{Q^2 \cdot x}{2 \cdot \epsilon \cdot A} \sim x$

$$\Delta W_e(Q, x) = \frac{Q^2 \cdot \Delta x}{2 \cdot \epsilon \cdot A} = \frac{Q \cdot Q \cdot \Delta x}{2 \cdot \epsilon \cdot A} = \frac{Q \cdot E \cdot \Delta x}{2} = \frac{Q \cdot \Delta u}{2}$$



- Bei **x-Vergrößerung** steigt  $W_e$  bei  $Q = \text{konst.}$  gemäß der Dreieckfläche.
- Die in  $x$ -Richtung bremsende (**negative**) Kraft  $F_e$  ist proportional zur **negativen** Änderung (= negative Zunahme) von  $W_e \Rightarrow F_e < 0$ :

$$F_e = -\frac{\partial W_e(Q, x)}{\partial x}$$



# Energiebegriffe

## Selbststudium



TECHNISCHE  
UNIVERSITÄT  
DARMSTADT

## Magnetische Energiedichte $w_m$ (nichtlinear)

- **Analoge Vorgehensweise** bei der magnetostatischen Energie wie bei der elektrostatischen Energie!

- **Magnetostatische Energiedichte  $w_m$ :**

Durch elektrischen Gleichstrom  $I$  UND magnetisierte Materie ( $J_M$ ):

Differentiell kleiner Zuwachs an Energiedichte:  $dw_m = \vec{H}(B) \cdot d\vec{B}$

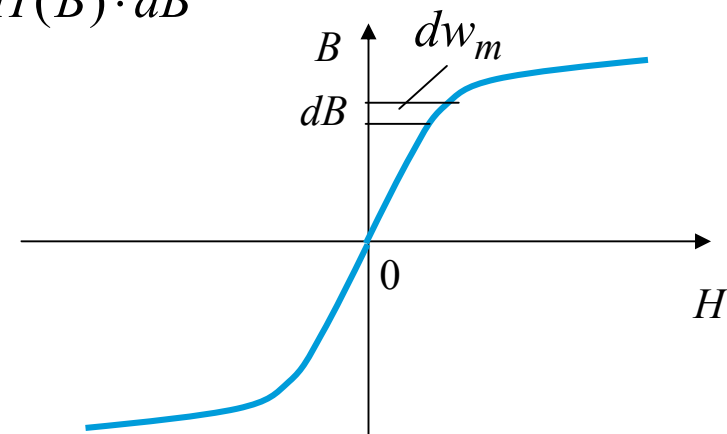
Energiedichte  $w_m$ :

$$w_m(H, B) = \int dw_m = \int_0^B \vec{H}(B') \cdot d\vec{B}'$$

**Sonderfall:** Isotroper Werkstoff  $\vec{B} \uparrow \uparrow \vec{H}$

$$w_m(H, B) = \int_0^B \vec{H}(B') \cdot d\vec{B}' = \int_0^B H(B') \cdot dB'$$

Die Fläche zwischen  $B$ -Achse und  $H(B)$ -Kurve ist  $w_m$ !



**Beispiel:**

Nichtlinear magnetisierbarer isotroper Werkstoff ohne Hysterese



# Energiebegriffe

## Selbststudium



TECHNISCHE  
UNIVERSITÄT  
DARMSTADT

## Magnetische Energiedichte $w_m$ (linear)

**Sonderfall:** Anisotroper linearer Werkstoff  $\vec{B} = \begin{pmatrix} \mu_{xx} & \mu_{xy} & \mu_{xz} \\ \mu_{yx} & \mu_{yy} & \mu_{yz} \\ \mu_{zx} & \mu_{zy} & \mu_{zz} \end{pmatrix} \cdot \vec{H}$

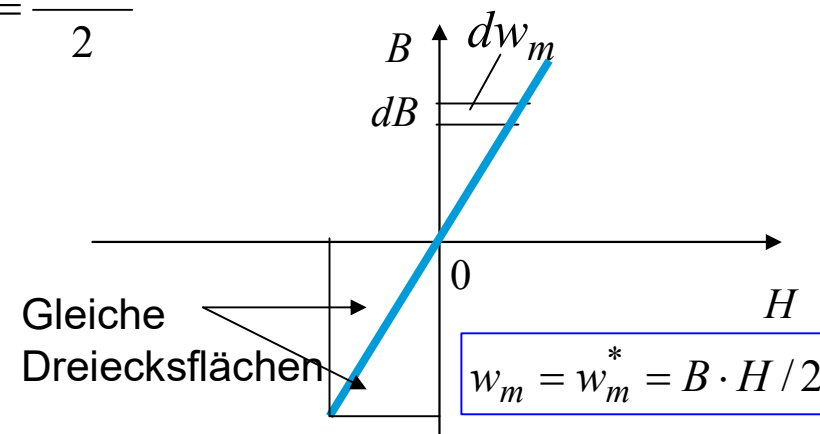
z.B.: kaltgewalzte Transformatorbleche  $\mu_{xx}, \mu_{xy}, \text{etc.} = \text{konst.}$

Für  $\mu_{xy} = \mu_{yx} = \mu_{xz} = \mu_{zx} = \mu_{zy} = \mu_{yz} = 0$  :  $w_m(B, H) = \frac{\vec{B} \cdot \vec{H}}{2}$

**Sonderfall:** Isotroper linearer Werkstoff  $\vec{B} = \mu \cdot \vec{H}$   $\mu = \text{konst.} \Leftrightarrow \vec{B} \uparrow \uparrow \vec{H}$

$$w_m(H, B) = \int_0^B \vec{H}(B') \cdot d\vec{B}' = \frac{1}{\mu} \int_0^B B' \cdot dB' = \frac{B^2}{2\mu} = \frac{B \cdot H}{2}$$

$$w_m = \frac{\vec{B} \cdot \vec{H}}{2} \Big|_{\text{isotrop}} = \frac{1}{2\mu} \cdot |\vec{B}|^2 = \frac{1}{2\mu} \cdot B^2$$



# Energiebegriffe

## Selbststudium



TECHNISCHE  
UNIVERSITÄT  
DARMSTADT

## Magnetische Energie $W_m$ (nichtlinear)

Der gesamte vom magn. Feld erfüllte Raum ist Ort der dort verteilten Energiedichte  $w_m$ :

$$W_m = \int_V w_m(H, B) \cdot dV = \int_V w_m(V) \cdot dV$$

**Beispiel:** Spule,  $N$  Windungen:

Volumen:  $dV = d\vec{A} \cdot d\vec{s}$

$$W_m = \int_V \int_0^B \vec{H}(B') \cdot d\vec{B}' \cdot dV = \oint_C \int_0^B \vec{H}(B') \cdot d\vec{B}' \cdot d\vec{A} \cdot d\vec{s}$$

$$\Psi = N \cdot \int_A \vec{B} \cdot d\vec{A} \quad i = \frac{1}{N} \cdot \oint_C \vec{H} \cdot d\vec{s}$$

$$W_m = \int_{A0C} \int_0^B \oint_C \vec{H}(B') \cdot d\vec{s} \cdot d\vec{B}' \cdot d\vec{A} = \int_{A0C} \int_0^B N \cdot i \cdot d\vec{B}' \cdot d\vec{A} = \int_0^\Psi i \cdot d \left( N \cdot \int_A \vec{B}' \cdot d\vec{A} \right) = \int_0^\Psi i \cdot d\Psi' \quad \boxed{\vec{B} \Leftrightarrow \Psi \quad \vec{H} \Leftrightarrow i}$$

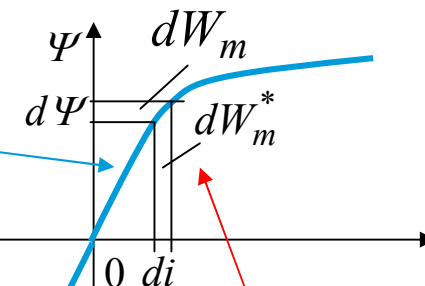
- Die Fläche zwischen  $\Psi$ -Achse und  $i(\Psi)$ -Kurve ist **magn. Energie  $W_m$**
- Die Fläche zwischen  $i$ -Achse und  $\Psi(i)$ -Kurve nennt man **magn. Ergänzungsenergie  $W_m^*$**  („magn. Ko-Energie“)

$$W_m(\Psi) = \int_0^\Psi i(\Psi') \cdot d\Psi'$$

**Beispiel:**

Nichtlineare Induktivität  
(ohne Hysterese)

$$W_m + W_m^* = \Psi \cdot i$$



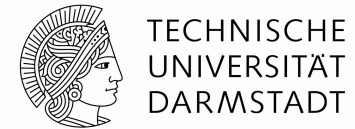
$$W_m^*(i) = \int_0^i \Psi(i') \cdot di'$$



# Energiebegriffe

## Magnetische Energie $W_m$ (linear)

Selbststudium



**Sonderfall:** Linear magnetisierbarer Werkstoff

**Beispiel:** Lineare Induktivität

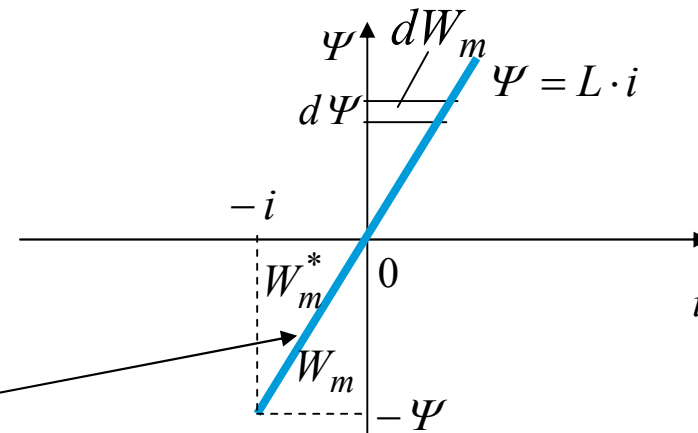
$$\Psi = L \cdot i :$$

$$W_m(\Psi) = \int_0^\Psi i(\Psi') \cdot d\Psi' = \int_0^\Psi \frac{\Psi'}{L} \cdot d\Psi' = \frac{\Psi^2}{2L}$$

$$W_m^*(i) = \int_0^i \Psi(i') \cdot di' = \int_0^i L \cdot i' \cdot di' = \frac{L \cdot i^2}{2}$$

- Diagonale halbiert Rechteck (Fläche  $\psi \cdot i$ ) in zwei gleiche Dreiecksflächen  $W_m$  und  $W_m^*$

$$W_m(\Psi) = \frac{\Psi^2}{2L} = \frac{(L \cdot i)^2}{2L} = \frac{L \cdot i^2}{2} = W_m^*(i)$$



$$W_m + W_m^* = \Psi \cdot i$$



# Energiebegriffe - Beispiel

## Magnetische Energie $W_m$ zwischen Polen (1)



TECHNISCHE  
UNIVERSITÄT  
DARMSTADT

- Magn. Energie  $W_m$  ist im felderfüllten Raum lokalisiert, der mit der **Energiedichte**  $w_m$  „erfüllt“ ist!
- Die beiden Polschuhe **1** und **2** stehen unter mechanischer Spannung der sich gegenseitig anziehenden magnetisierten Eisenflächen („**Fernwirkungsmodell**“).
- Diese Kraft wird durch die wie „Gummischnüre“ ziehende Kraftwirkung des magnetischen Felds  $B_\delta$  zwischen den Polschuhen als „**Maxwell**“scher **Zug**  $p_m$  vermittelt („**Nahwirkungsmodell**“).

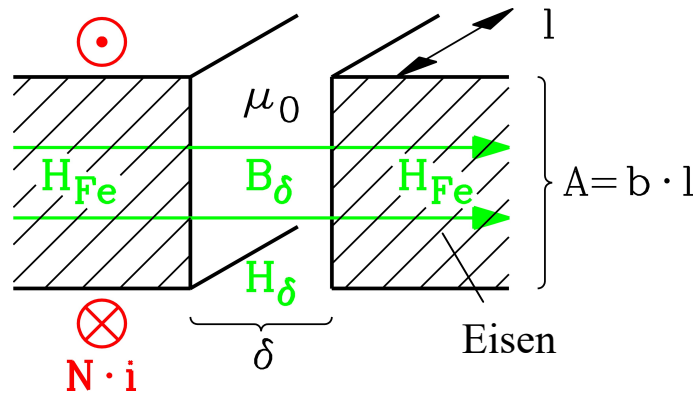


# Energiebegriffe

## Einachsiges Magnetfeld zwischen 2 Polschuhen



TECHNISCHE  
UNIVERSITÄT  
DARMSTADT



**Eisenpolschuhe** (Eisenrückschluss nicht dargestellt)

Eisenpermeabilität  $\mu_{Fe} \gg \mu_0$ ,

$s_{Fe}$ :  $B$ -Feldlinienlänge im Fe

$H$ -Feld-Erregung durch Spule ( $N$  Windungen, Strom  $i$ )

Magnetischer Fluss:  $\Phi = \int_A \vec{B} \cdot d\vec{A} = B_\delta \cdot A = B_{Fe} \cdot A$

Durchflutungssatz:  $N \cdot i = \oint_C \vec{H} \cdot d\vec{s} = H_{Fe} \cdot s_{Fe} + H_\delta \cdot \delta$

$$H_\delta = B_\delta / \mu_0, \quad H_{Fe} = B_{Fe} / \mu_{Fe} = B_\delta / \mu_{Fe} \ll H_\delta \Rightarrow H_{Fe} \approx 0, \quad B_\delta = \mu_0 \cdot \frac{N \cdot i}{\delta}$$

**Selbstinduktivität**  $L = \Psi / i = N \cdot \Phi / i = N \cdot B_\delta \cdot A / i = \mu_0 N^2 A / \delta$

(aus  $\psi$  bestimmt):

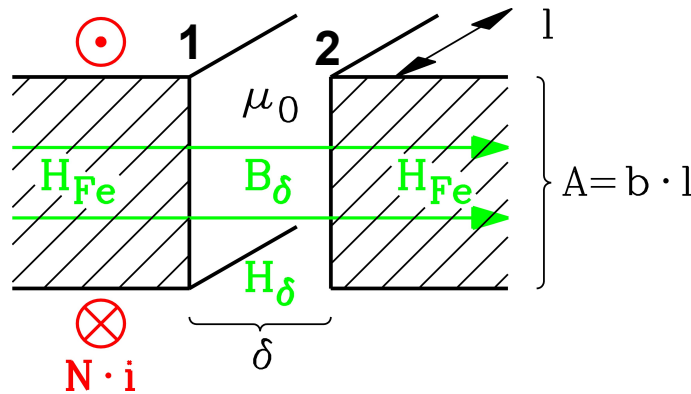
**Feld-Energiedichte:**  $w_m = B_\delta \cdot H_\delta / 2$  **Zugkraft je Pol:**  $F_m = p_m \cdot A = (B_\delta \cdot H_\delta / 2) \cdot A$   
(MAXWELL-Zug, anziehend)





# Energiebegriffe - Beispiel

## Magnetische Energie $W_m$ zwischen Polen (2)



$$W_m = \int_V w_m \cdot dV \Big|_{H_{Fe} \ll H_\delta} \approx \int_0^\delta \int_0^A w_m \cdot dx \cdot dA$$

Näherung für  $H_{Fe} \ll H_\delta$ :  $w_m = \mu_0 \cdot H_\delta^2 / 2 = \text{konst.}$

$$W_m = \frac{\mu_0 \cdot H_\delta^2}{2} \cdot A \cdot \delta$$

- Gespeicherte magnetische Energie  $W_m$  ist bei  $H_{Fe} \ll H_\delta$  fast zur Gänze im Volumen  $A \cdot \delta$ !
- El. Durchflutung:  $\Theta = N \cdot i \approx H_\delta \cdot \delta$

$$W_m = \frac{\mu_0 \cdot H_\delta^2}{2} \cdot A \cdot \delta = L \cdot \frac{i^2}{2} \Rightarrow \text{Selbstinduktivität (aus } W_m \text{ bestimmt): } L = N^2 \cdot \mu_0 \cdot \frac{A}{\delta}$$

# Energiebegriffe

## Kraft $F_m$ zwischen zwei Polschuhen (1)



- Berechnung von  $F_m$  über „Energiebetrachtung“:  
(Prinzip der virtuellen Verschiebung)

- Änderung der Energien bei einer **kleinen gedachten** (= virtuellen) Verschiebung  $\delta s = dx$  der beiden Polflächen, wenn sich nur  $x$ , aber nicht  $i$  in der Spule ändert

- Magnetische Energieänderung bei  $L(x)$ :  $\Psi$  zeitlich veränderlich  $\Rightarrow$  Kleinbuchstabe  $\psi$

$$R = 0: \quad u + u_i = R \cdot i = 0 \rightarrow u - d\psi / dt = 0 \rightarrow u = d\psi / dt$$

$$p_{el}(t) = u(t) \cdot i(t)$$

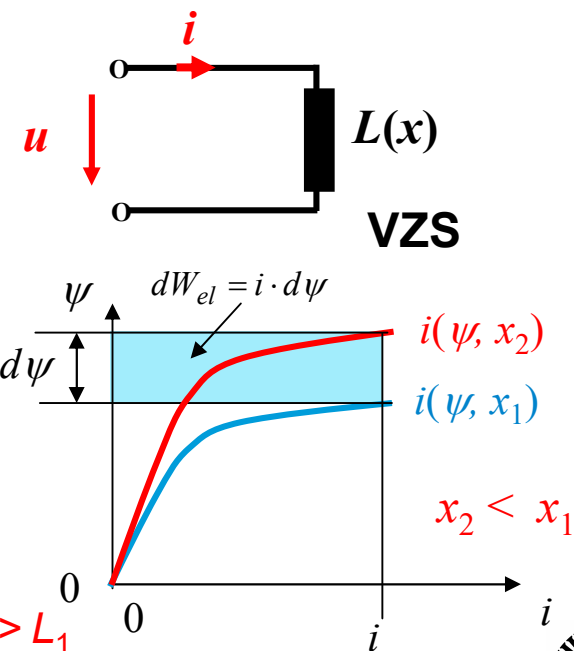
- Elektrische Arbeit der Spannungsquelle  $dW_{el}$  an  $L(x)$ :

$$dW_{el} = p_{el} \cdot dt = u \cdot i \cdot dt = \frac{d\psi}{dt} \cdot i \cdot dt = i \cdot d\psi$$

$$i \cdot \Delta\psi = i \cdot \psi_2 - i \cdot \psi_1 = (W_{m,2} + W_{m,2}^*) - (W_{m,1} + W_{m,1}^*)$$

$$i \cdot \Delta\psi = (W_{m,2} - W_{m,1}) + (W_{m,2}^* - W_{m,1}^*) = \Delta W_m + \Delta W_m^*$$

$$i \cdot d\psi = dW_m + dW_m^*$$



**Beispiel:**  $\delta s = dx < 0 \Rightarrow L_2 > L_1$



# Energiebegriffe

## Kraft $F_m$ zwischen zwei Polschuhen (2)



$dW_{el}$  = Änderung der gespeicherten magn. Energie  $W_m$   
und  
der von Kraft  $F_m$  verrichteten mechanischen Arbeit:

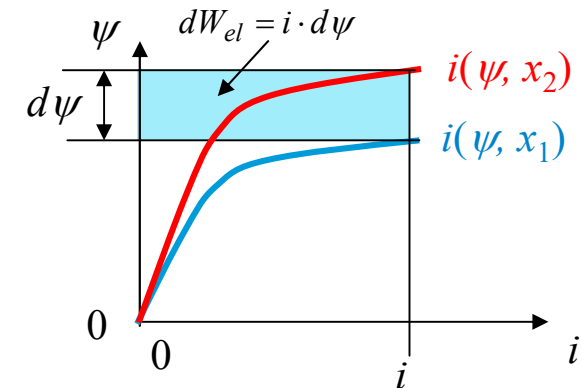
$$dW_{el} = dW_m + F_m \cdot dx = dW_m + dW_m^*$$

$$F_m = \frac{dW_m^*(x, i)}{dx}$$

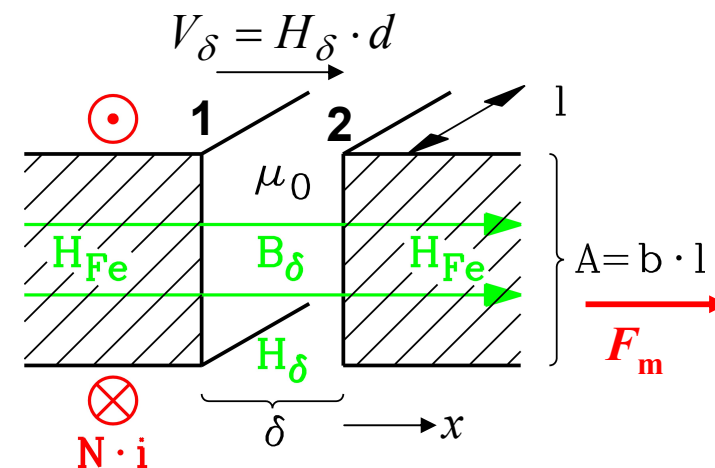
Die magnetostatische Kraft  $F_m$  wird bei Verwendung der beiden unabhängigen Variablen  $i, x$  aus der partiellen Änderung der magn. Ko-Energie  $W_m^*$  mit  $x$  berechnet!

**Sonderfall:** Linear magnetisierbar:

$$F_m = \frac{dW_m^*(x, i)}{dx} = \frac{d}{dx} \frac{L(x) \cdot i^2}{2} = L'(x) \cdot \frac{i^2}{2}$$



„Magnetische Spannung“:



Positive Zählrichtung der Kraft  $F_m$



# Energiebegriffe

## Kraft $F_m$ in Abhängigkeit von $(\Psi, x)$ bzw. $(i, x)$

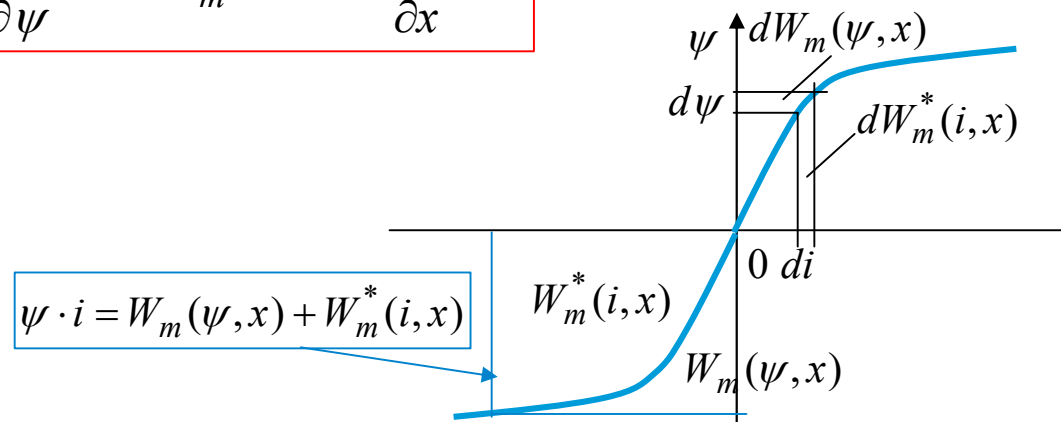


$$dW_{el} = i \cdot d\psi = dW_m + F_m \cdot dx \Rightarrow dW_m = i \cdot d\psi - F_m \cdot dx \Rightarrow W_m = W_m(\psi, x)$$

- Für die magnetostatische Energie  $W_m$  sind die **unabhängigen Variablen  $\psi$  und  $x$** .
- Der Strom  $i$  stellt sich je nach  $L(x)$  gemäß  $i = \psi / L$  ein.
- Vollständige Änderung der gespeicherten magn. Energie mit  $\psi$  und  $x$ :

$$dW_m(\psi, x) = \frac{\partial W_m}{\partial \psi} \cdot d\psi + \frac{\partial W_m}{\partial x} \cdot dx = i \cdot d\psi - F_m \cdot dx$$

$$i = \frac{\partial W_m(\psi, x)}{\partial \psi} \quad F_m = -\frac{\partial W_m(\psi, x)}{\partial x}$$



# Energiebegriffe

## LEGENDRE-Transformation

- Wechsel von der **unabhängigen Variablen  $\psi$  auf  $i$**  über die **LEGENDRE-Transformation**:

$$dW_m = i \cdot d\psi - F_m \cdot dx$$

$$d(\psi \cdot i) = d\psi \cdot i + \psi \cdot di \Rightarrow dW_m = d(\psi \cdot i) - \psi \cdot di - F_m \cdot dx \Rightarrow$$

$$\Rightarrow d(\psi \cdot i) - dW_m = dW_m^* = \psi \cdot di + F_m \cdot dx = \frac{\partial W_m^*}{\partial i} \cdot di + \frac{\partial W_m^*}{\partial x} \cdot dx \Rightarrow W_m^* = W_m^*(i, x)$$

$$\psi \cdot i = W_m(\psi, x) + W_m^*(i, x) \Rightarrow d(\psi \cdot i) = dW_m(\psi, x) + dW_m^*(i, x)$$

$$\psi = \frac{\partial W_m^*(i, x)}{\partial i} \quad F_m = \frac{\partial W_m^*(i, x)}{\partial x}$$

$$i = \frac{\partial W_m(\psi, x)}{\partial \psi} \quad F_m = -\frac{\partial W_m(\psi, x)}{\partial x}$$

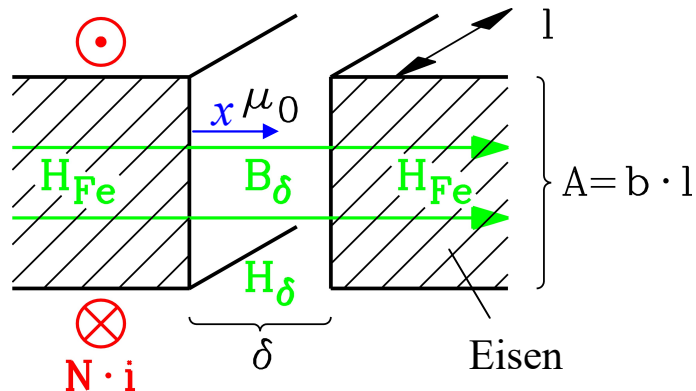
- Bei Verwendung der unabhängigen Variablen  $\psi$  wird  $F_m$  aus  $W_m$  (mit **NEGATIVEM** Vorzeichen) berechnet, bei Verwendung von  $i$  aus  $W_m^*$  (mit **POSITIVEM** Vorzeichen)!

# Energiebegriffe

## Beispiel 4: Magnetfeld zwischen 2 Polschuhen



TECHNISCHE  
UNIVERSITÄT  
DARMSTADT



Selbstinduktivität:  $L = \mu_0 N^2 A / \delta$   $\mu_{Fe} \gg \mu_0$   
 $\delta \Rightarrow x: L(x) = \mu_0 N^2 \cdot A / x$

Feld-Energiedichte:  $w_m = B_\delta \cdot H_\delta / 2$

Zugkraft je Pol: anziehend!

a) **MAXWELL-Zug:**  $F_m = -p_m \cdot A = -(B_\delta \cdot H_\delta / 2) \cdot A$

b) Aus Energie:

$$F_m = -\frac{\partial W_m}{\partial x} = -\frac{\partial \psi^2}{\partial x 2L} = -\frac{\psi^2}{2\mu_0 N^2 A} \cdot \frac{\partial x}{\partial x} = -\frac{\psi^2}{2\mu_0 N^2 A} = -\frac{(N \cdot B_\delta A)^2}{2\mu_0 N^2 A} = -\frac{B_\delta H_\delta A}{2}$$

**Angaben:**  $b = l = 5 \text{ cm}$ ,  $\delta = 1 \text{ mm}$ ,  $N = 500$ ,  $i = 1 \text{ A}$ :

$$H_\delta = 500 \cdot 1 / 10^{-3} = 500 \text{ kA/m}, B_\delta = 4\pi \cdot 10^{-7} \cdot 0.5 \cdot 10^6 = 0.628 \text{ T}$$

$$L = 4\pi \cdot 10^{-7} \cdot 500^2 \cdot 5^2 \cdot 10^{-4} / 10^{-3} = 0.785 \text{ H} \Rightarrow W_m = L \cdot i^2 / 2 = 0.785 \cdot 1^2 / 2 = 0.39 \text{ J}$$

$$w_m = 0.628 \cdot 500 \cdot 10^3 / 2 = \boxed{157 \text{ kJ/m}^3}, F_m = 25 \cdot 10^{-4} \cdot 157 \cdot 10^3 = \boxed{392.5 \text{ N}}$$

• **HOHE Energiedichte und hohe Kraft!**



# Energiebegriffe

## Achtung: Falsche Wahl der Formel für $W_m$



- Wird bei der Kraftberechnung über die virtuelle Verschiebung die falsche Formel für  $W_m$  gewählt, **ist die berechnete Kraft FALSCH!**

- **Beispiel:** Kraft zwischen zwei ideal magnetisierten Polen:

Polfläche  $A$ , Abstand  $x$ , Spulenwindungszahl  $N$ :  $L(x) = \mu_0 N^2 A / x$

Statt  $W_m(\Psi, x) = \Psi^2 / (2L(x))$  wird fälschlich gewählt:  $W_m(i, x) = L(x) \cdot i^2 / 2$

**Falsch:**  ~~$W_m(i, x) = L(x) \cdot i^2 / 2$~~

$$F_m = - \frac{\partial W_m(i, x)}{\partial x} = - \frac{\mu_0 N^2 A \cdot i^2}{2} \cdot \frac{\partial(1/x)}{\partial x} = \frac{\mu_0 N^2 A \cdot i^2}{2x^2} > 0$$

**Richtig:**  $W_m(\Psi, x) = \Psi^2 / (2L(x))$

$$F_m = - \frac{\partial W_m(\Psi, x)}{\partial x} = - \frac{\Psi^2}{2\mu_0 N^2 A} \cdot \frac{\partial(x)}{\partial x} = - \frac{\Psi^2}{2\mu_0 N^2 A} = - \frac{L(x)^2 \cdot i^2}{2\mu_0 N^2 A} = - \frac{\mu_0 N^2 A \cdot i^2}{2x^2} < 0$$

**ODER:**  $F_m = \frac{\partial W_m^*(i, x)}{\partial x} = \frac{\mu_0 N^2 A \cdot i^2}{2} \cdot \frac{\partial(1/x)}{\partial x} = - \frac{\mu_0 N^2 A \cdot i^2}{2x^2} < 0$

- Bei der falschen Rechnung erhält man (wegen der hier linear angenommenen Verhältnisse) zwar denselben Betrag, aber das falsche Vorzeichen.  
Es wird **anstelle einer anziehenden eine abstoßende Kraft** berechnet!



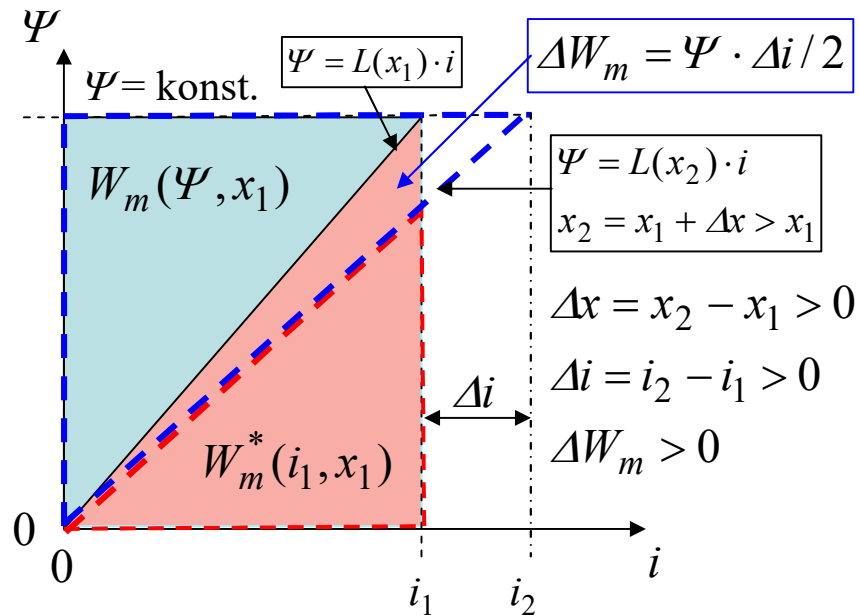
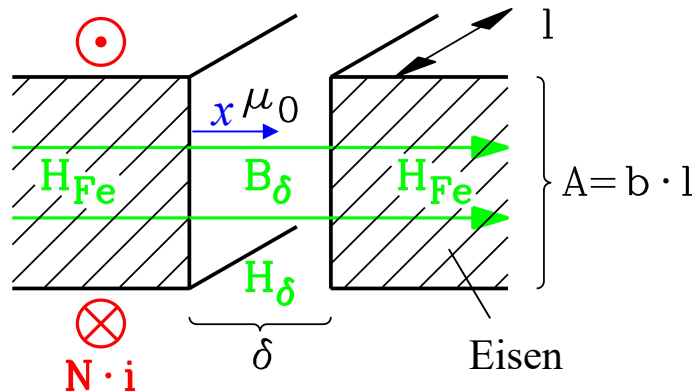
# Energiebegriffe

## Magnetpole: Kraftformel aus $W_m$ anschaulich



- $\Psi = \text{konst.}$ :

Polabstand  $x$  variabel von  $x_1$  auf  $x_2 > x_1$



$$F_m = -\frac{dW_m(\Psi, x)}{dx} \Rightarrow F_m = -\frac{\Delta W_m}{\Delta x} < 0$$

$$F_m = -\frac{\Psi}{2} \cdot \frac{\Delta i}{\Delta x} = -\frac{N \cdot B_\delta \cdot A}{2} \cdot \frac{\Delta i}{\Delta x} = -\frac{B_\delta \cdot A}{2} \cdot \frac{\Delta(N \cdot i)}{\Delta x}$$

$$F_m = -\frac{B_\delta \cdot A}{2} \cdot H_\delta = -\frac{B_\delta \cdot H_\delta}{2} \cdot A = -p_{m,x} \cdot A$$





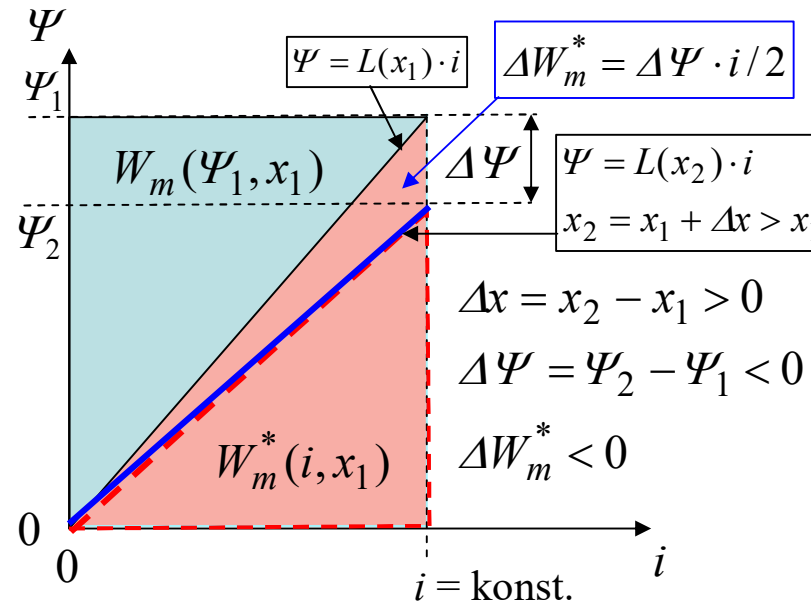
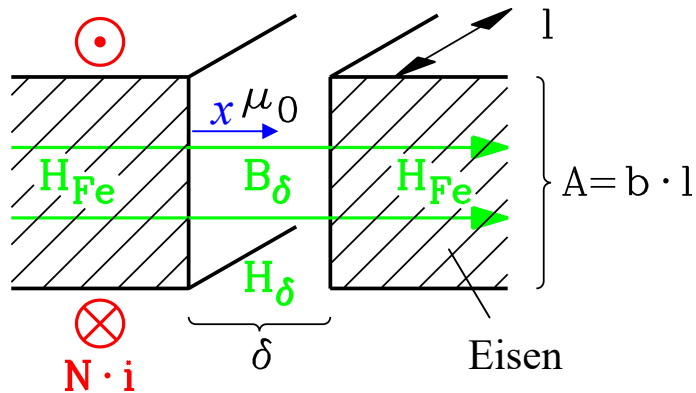
# Energiebegriffe

## Magnetpole: Kraftformel aus $W_m^*$ anschaulich



- $i = \text{konst.}$ :

Polabstand  $x$  variabel von  $x_1$  auf  $x_2 > x_1$



$$F_m = \frac{dW_m^*(i, x)}{dx} \Rightarrow F_m = \frac{\Delta W_m^*}{\Delta x} < 0$$

$$F_m = \frac{\Delta \Psi}{2} \cdot \frac{i}{\Delta x} = \frac{i \cdot \Delta L}{2 \Delta x} \cdot i = \frac{i^2 \cdot \mu \cdot A \cdot N^2 \cdot \Delta(1/x)}{2 \Delta x}$$

$$F_m = -\frac{(N \cdot i / x)^2 \cdot \mu_0 \cdot A \cdot \Delta x}{2 \Delta x} = -\frac{H_\delta^2 \cdot \mu_0 \cdot A}{2} = -\underbrace{\frac{B_\delta \cdot H_\delta}{2}}_{P_{m,x}} \cdot A$$





### Beispiel 5: Kraft $F_m$ zwischen Polschuhen (1): Polabstand nimmt zu bei $i = \text{konst.}$

Beispiel 5:  $i = I = \text{konst.}; \Delta\Psi = \Psi_2 - \Psi_1 < 0 \quad \mu_{Fe} \rightarrow \infty : L(x) = \mu_0 N^2 A / x$

Polabstand vergrößert sich von  $x_1$  auf  $x_2$

$$\Delta W_{el} = \int_{\Psi(x_1)=\Psi_1}^{\Psi(x_2)=\Psi_2} i \cdot d\Psi = I \cdot \int_{\Psi_1}^{\Psi_2} d\Psi = I \cdot (\Psi_2 - \Psi_1) = I^2 \cdot (L(x_2) - L(x_1)) = I^2 \cdot \mu_0 \cdot N^2 A \cdot \left( \frac{1}{x_2} - \frac{1}{x_1} \right) < 0$$

$$W_m^* = \frac{L(x) \cdot I^2}{2} \rightarrow F_m(x) = \frac{\partial W_m^*}{\partial x} = \frac{\mu_0 \cdot A \cdot (N \cdot I)^2}{2} \cdot \frac{\partial(1/x)}{\partial x} = -\frac{\mu_0 \cdot A \cdot (N \cdot I)^2}{2x^2} < 0$$

Allgemein:  $F_m = \frac{dW_m^*}{dx} = \frac{d}{dx} \frac{L(x) \cdot I^2}{2} = L'(x) \cdot \frac{I^2}{2} < 0$

Kraft  $F_m$  wirkt anziehend!

$$\Delta W_{mec} = \int_{x_1}^{x_2} F_m(x) \cdot dx = \int_{x_1}^{x_2} \frac{dW_m^*}{dx} \cdot dx = \int_{W_{m1}^*}^{W_{m2}^*} dW_m^* = W_{m2}^* - W_{m1}^* = \frac{\mu_0 \cdot A \cdot (N \cdot I)^2}{2} \cdot \left( \frac{1}{x_2} - \frac{1}{x_1} \right) < 0$$

$$\Delta W_m = \int_{W_m(x_1)}^{W_m(x_2)} dW_m = W_m(x_2) - W_m(x_1) = \frac{\Psi_2^2}{2L(x_2)} - \frac{\Psi_1^2}{2L(x_1)} = \frac{I^2}{2} \cdot (L(x_2) - L(x_1)) = \frac{\mu_0 A \cdot (N \cdot I)^2}{2} \cdot \left( \frac{1}{x_2} - \frac{1}{x_1} \right) < 0$$

**Kontrolle:**  $\Delta W_{el} = \Delta W_{mec} + \Delta W_m < 0$



# Energiebegriffe

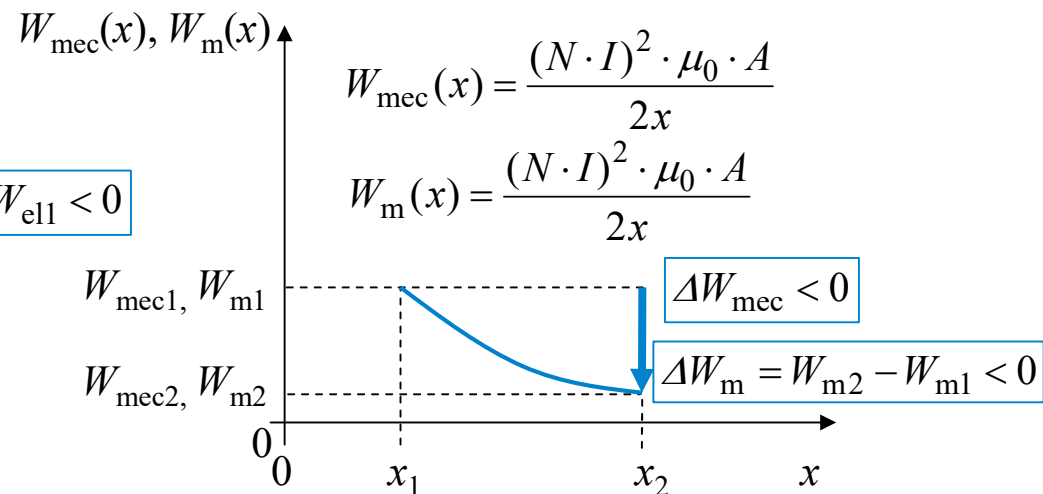
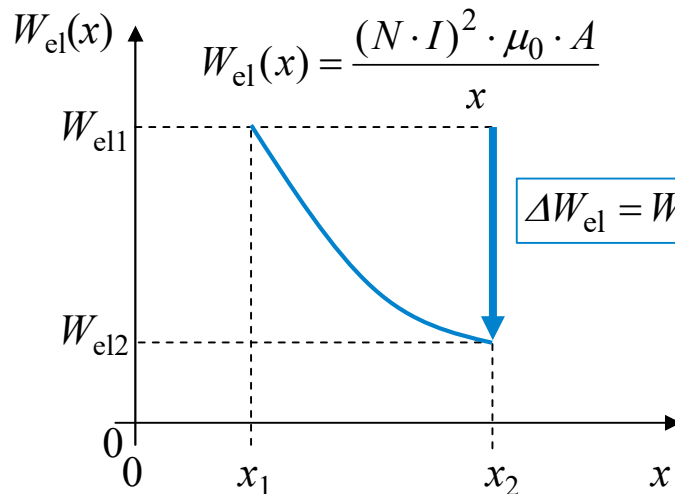
## Selbststudium



TECHNISCHE  
UNIVERSITÄT  
DARMSTADT

### Beispiel 5: Kraft $F_m$ zwischen Polschuhen (2): Polabstand nimmt zu bei $i = \text{konst.}$

Beispiel 5:  $i = I = \text{konst.}$ :



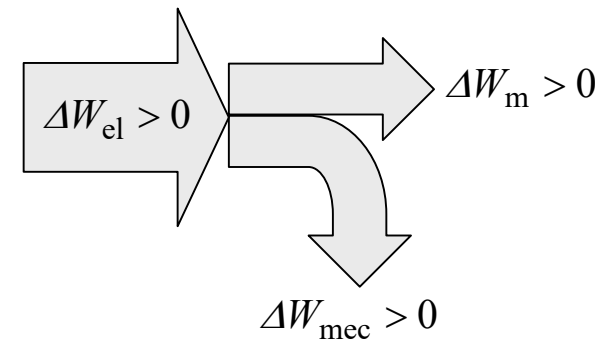
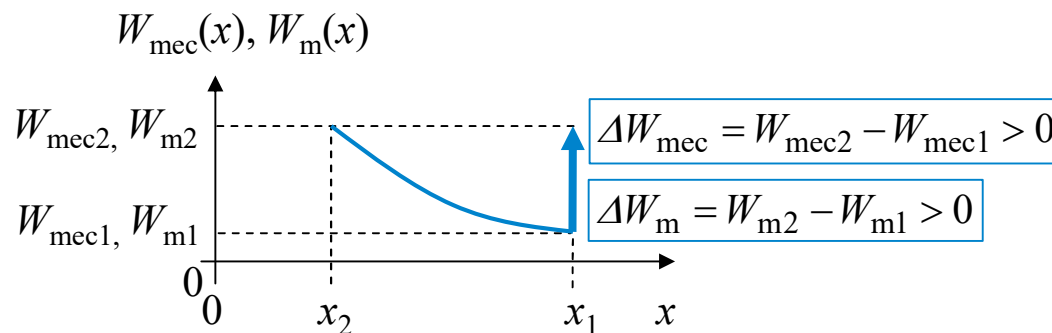
- Der Polabstand **nimmt von  $x_1$  nach  $x_2$  zu**, indem gegen die anziehende magn. Kraft  $F_m$  von außen an dem System mech. Arbeit verrichtet wird, daher im VZS:  $\Delta W_{mec} < 0!$
- Auch die im  $B$ -Luftspaltfeld gespeicherte magn. Energie  $W_m$  **sinkt** wegen  $i = \text{konst.}$ :  $\Delta W_m < 0!$
- Die Stromquelle nimmt die Summe  $\Delta W_{mec} + \Delta W_m$  als el. Energie  $\Delta W_{el}$  **auf**:  $\Delta W_{el} < 0!$





### Beispiel 5: Kraft $F_m$ zwischen Polschuhen (2): Polabstand nimmt ab bei $i = \text{konst.}$

Beispiel 5:  $i = I = \text{konst.}$ :  $\mu_{Fe} \rightarrow \infty$ :  $L(x) = \mu_0 \cdot N^2 A / x \Rightarrow L(x_2) > L(x_1)$



$$W_{\text{mec}}(x) = \frac{(N \cdot I)^2 \cdot \mu_0 \cdot A}{2x} \quad W_m(x) = \frac{(N \cdot I)^2 \cdot \mu_0 \cdot A}{2x}$$

- Der Polabstand **nimmt von  $x_1$  nach  $x_2$  AB**, indem das System über die anziehende magn. Kraft  $F_m$  mech. Arbeit verrichtet, daher im VZS:  $\Delta W_{\text{mec}} > 0!$
- Auch die im  $B$ -Luftspaltfeld gespeicherte magn. Energie  $W_m$  **STEIGT** mit  $L$  wegen  $i = \text{konst.}$ :  $\Delta W_m > 0!$
- Die Stromquelle gibt die Summe  $\Delta W_{\text{mec}} + \Delta W_m$  als el. Energie  $\Delta W_{\text{el}}$  **AB**:  $\Delta W_{\text{el}} > 0!$



# Energiebegriffe

## Selbststudium

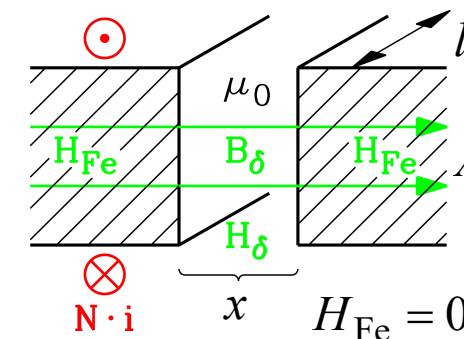
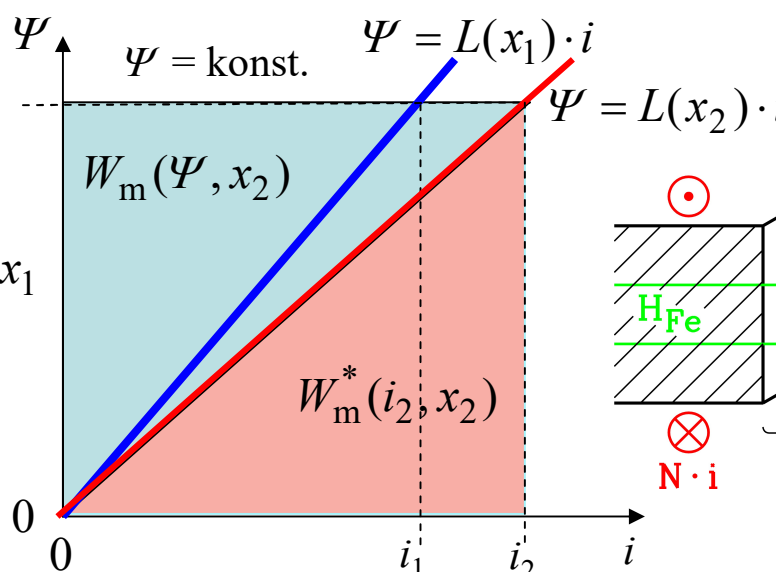
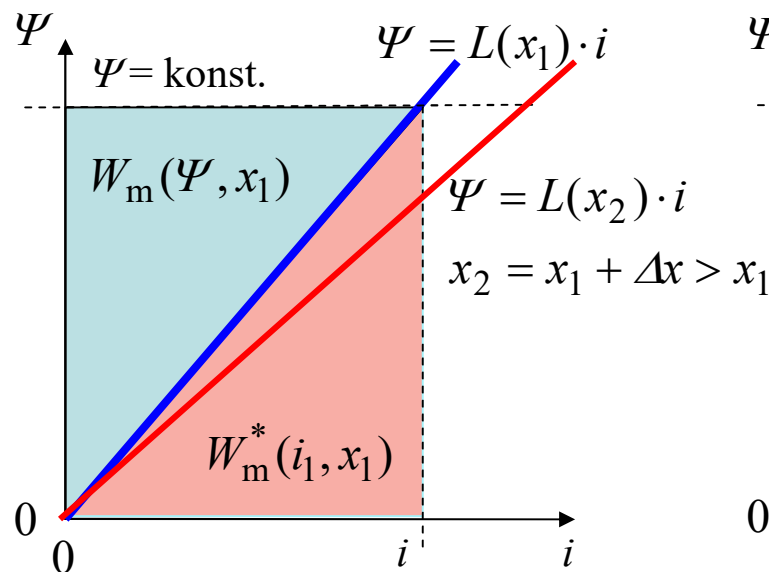


TECHNISCHE  
UNIVERSITÄT  
DARMSTADT

### Beispiel 6: Kraft $F_m$ zwischen Polschuhen: Polabstand nimmt zu bei $\Psi = \text{konst.}$

- Bei  $\Psi = \text{konst.}$  steigt  $W_m$  mit steigendem  $x$ , da Erregerstrom  $i$  prop.  $x$  erhöht werden muss.

$$x_2 > x_1 : W_m(\Psi, x_1) < W_m(\Psi, x_2), \quad W_m^*(i_1, x_1) < W_m^*(i_2, x_2) \quad F_m = -\frac{\partial W_m(\Psi, x)}{\partial x} < 0$$



$$\Psi = \text{konst.} : d\Psi = 0, dW_{el} = i \cdot d\Psi = 0 \Rightarrow W_{el} = \text{konst.}$$

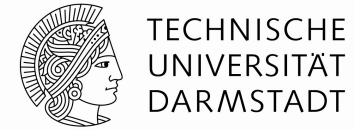
$$dW_{el} = 0 = dW_m + dW_{mec} \Rightarrow dW_m = -dW_{mec} \Rightarrow \Delta W_{mec} = \int_{x_1}^{x_2} F_m \cdot dx = -\frac{B^2 \cdot A}{2\mu_0} \int_{x_1}^{x_2} dx = -\frac{B^2 \cdot A \cdot \Delta x}{2\mu_0}$$

Dem System zugeführte mech. Arbeit  $\Delta W_{mec} < 0$  in erhöhter Feldenergie  $\Delta W_m$  gespeichert!



# Energiebegriffe

## Plattenkondensator versus Magnetpole



- Bei  $\mu_{Fe} \rightarrow \infty$  sind die parallelen Eisenpole mit ihrem  $B$ -Luftspaltfeld **die analoge Entsprechung** zum Plattenkondensator mit seinem  $D$ -Plattenfeld.
- Daher treten analoge Energiebilanzen und Feldkräfte auf, wobei einander die Größen  $NI$  und  $U$ ,  $L$  und  $C$ ,  $\mu_0$  und  $\varepsilon_0$  sowie  $\Psi$  und  $Q$  entsprechen.
- a) **Pol- bzw. Plattenverschiebungen** in  $x$ -Richtung (Längsrichtung) und b) seitliche Pol- bzw. Plattenverschiebungen führen auf analoge (a) nichtlineare, b) lineare) Formeln für die Kräfte und auf analoge Energiebilanzen.
- **Elektromagn. Wandler** (Kräfte über magnetisierte Eisenteile) mit Längsverschiebung haben ein nichtlineares Großsignal-Verhalten und (linearisiertes) Kleinsignalverhalten wie **längsverschiebliche kapazitive Wandler**: siehe Kap. 7: Wandler „Typ 1“ und „Typ 3“! Wandler mit seitlicher Pol- oder Plattenverschiebung „Typ 4“ haben ein lineares Großsignalverhalten.
- Auch **elektrodynamische Wandler** (bewegte Spule im Magnetfeld, „Typ 2“) haben lineares Großsignal-Verhalten, entsprechen aber im physikalischen Aufbau nicht den linearen magnetischen und kapazitiven Wandlern („Typ 4“).

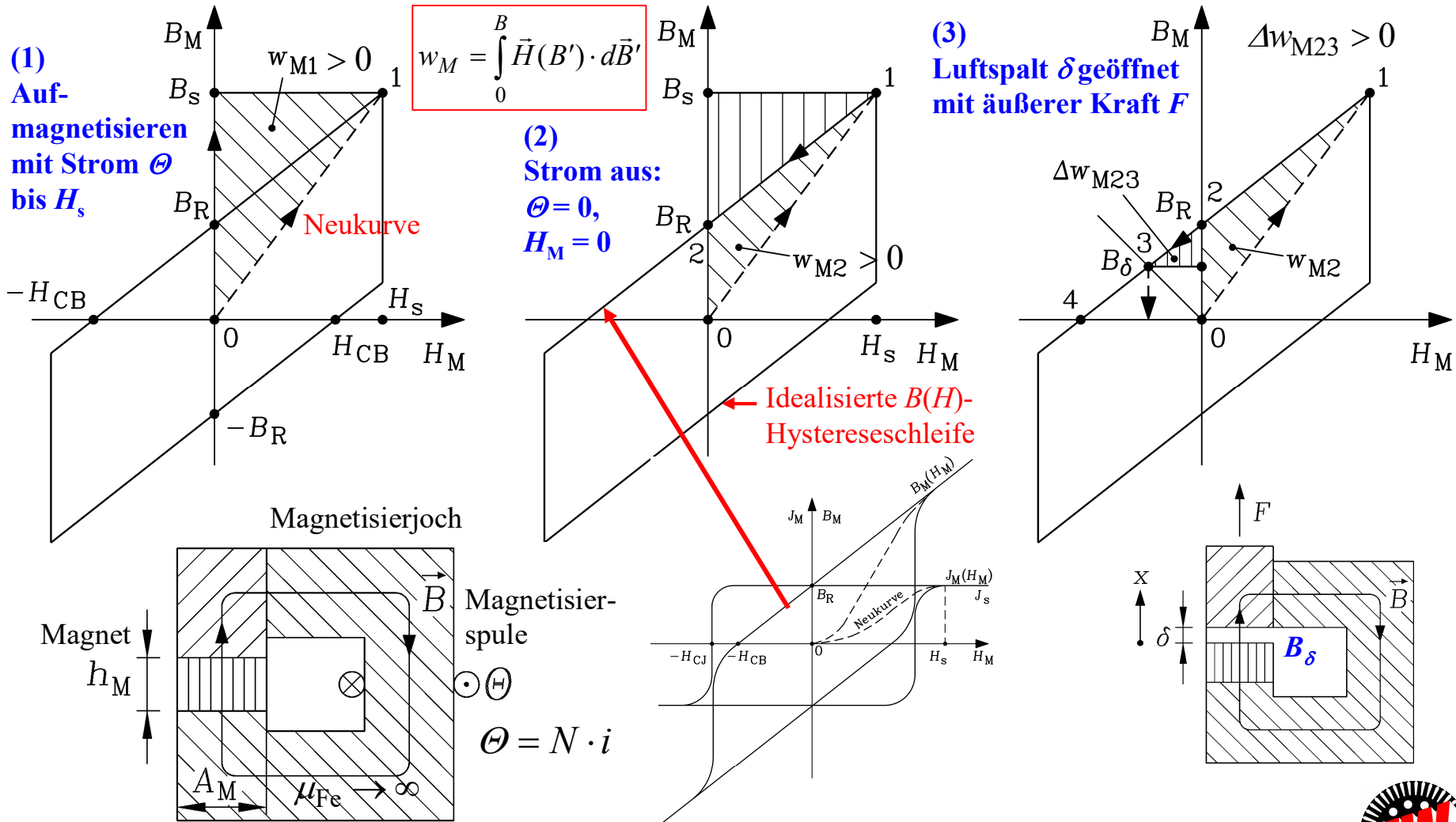


# Energiebegriffe

## Energie im Permanentmagnet $W_M = w_M A_M h_M$

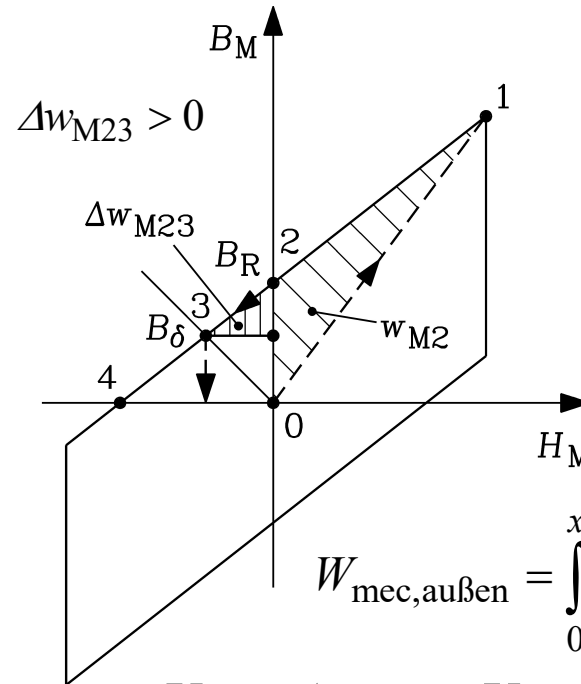
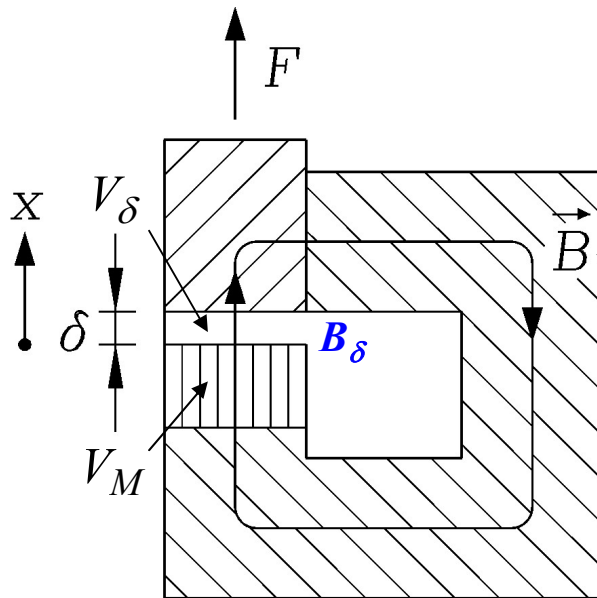


TECHNISCHE  
UNIVERSITÄT  
DARMSTADT



# Energiebegriffe

## Energiebilanz beim Öffnen des Luftspalts



Magnetvolumen:

$$V_M = h_M A_M$$

Luftspaltvolumen:

$$V_\delta = \delta \cdot A_M$$

$$W_{\text{mec}} = \int_0^x F_m \cdot dx < 0$$

$$\underbrace{W_{\text{mec}}}_{<0} + \underbrace{w_m \cdot V_\delta}_{W_\delta > 0} + \underbrace{\Delta w_{M23} \cdot V_M}_{\Delta W_{M23} > 0} = 0$$

$$W_{\text{mec,außen}} = \int_0^x F \cdot dx = - \int_0^x F_m \cdot dx > 0$$

Die am System verrichtete mechanische Arbeit  $W_{\text{mec,außen}} > 0$  wird als **Änderung der magnetischen Energie im Magnet  $\Delta W_{M23}$**  und in der **magnetischen Energie  $W_\delta$**  im Luftspalt  $\delta$  gespeichert!





# Energiebegriffe

## Feldberechnung mit numerischen Programmen



TECHNISCHE  
UNIVERSITÄT  
DARMSTADT

### 1) Methode der Finiten Differenzen:

Die Geometrie wird mit einem regelmäßigen Netz diskretisiert.

Aus den *Maxwell*-Differential-Gleichungen werden Differenzengleichungen für z. B.  $B$ ,  $H$  gebildet und für entsprechende Vorgabe der Quellen (Ladungen, Ströme) gelöst.

### 2) Methode der Finiten Elemente:

Die Geometrie wird mit einem UNregelmäßigen Netz diskretisiert, so dass die reale Geometrie BESSER angenähert wird.

Anstelle der *Maxwell*-Differential-Gleichungen wird über den *Lagrange*-Formalismus das zugehörige Variationsproblem der „minimalen Wirkung“ formuliert.

Damit wird z. B. das Vektorpotential  $A$  und daraus mit  $\vec{B} = \text{rot}\vec{A} = \nabla \times \vec{A}$  das Feld  $B$  näherungsweise (abhängig von der Diskretisierung) berechnet.



# Energiebegriffe

## Kraftberechnung mit numerischen Programmen



TECHNISCHE  
UNIVERSITÄT  
DARMSTADT

### El.-magn. Kraftberechnung auf einen Körper:

Für finite Differenzen und finite Elemente:

- a) Mit der „virtuellen“ **Verschiebung**  $\delta x$  wird das Feld für zwei Körperlagen (Verschiebung der Körper-Netzknoten um Vorgabewert  $\delta s$ ) berechnet. Aus beiden Feldlösungen wird über die Feldenergie-Differenz  $\delta W_e$  bzw.  $\delta W_m$  die Kraft  $F_e = -\delta W_e / \delta s$  bzw.  $F_m = -\delta W_m / \delta s$  auf den Körper in s-Richtung berechnet.
- b) Aus den Feldwerten der Feldlösung werden die 4 oder 9 Komponenten des **Maxwell'schen Spannungstensors** auf einer vorgegebenen (geschlossenen) Oberfläche um den Körper berechnet, und daraus die resultierende Kraft auf den eingeschlossenen Körper mit ihrer Richtung anhand der einzelnen Kraftkomponenten ermittelt.



# Energiebegriffe

## Übung



TECHNISCHE  
UNIVERSITÄT  
DARMSTADT

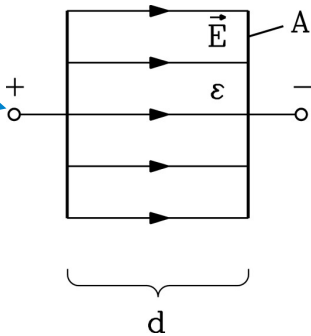
# Beispiel: Elektrost. & magnetostat. Energie

Vergleich der gespeicherten Energie im elektrostatischen und magnetostatischen Feld:

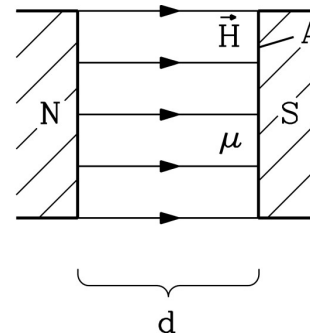
a) Plattenkondensator:

- $A = 1 \text{ m}^2, d = 1 \text{ mm}$

- $\mu = \mu_0, \epsilon = \epsilon_0$



b) Eisen-Polschuhe:



- Energie im elektrostatischen Feld:  $E = 40 \text{ kV/cm}$  (Durchschlagsfeldstärke in Luft bei  $d = 1 \text{ mm}$ )

$$W_e = A \cdot d \cdot \frac{\epsilon \cdot E^2}{2} = 1 \cdot 10^{-3} \text{ m}^3 \cdot \frac{8.854 \cdot 10^{-12} \text{ As/(Vm)} \cdot (4 \cdot 10^6)^2 \left(\frac{\text{V}}{\text{m}}\right)^2}{2} = 0.071 \text{ J}$$

- Energie im magnetostatischen Feld  $B = 1 \text{ T}$  ( $< 1.7 \text{ T}$  als Sättigungsflussdichte von Eisen)

$$W_m = A \cdot d \cdot \frac{B^2}{2\mu} = 1 \cdot 10^{-3} \text{ m}^3 \cdot \frac{1^2 (\text{Vs/m}^2)^2}{2 \cdot 4\pi \cdot 10^{-7} \text{ Vs/(Am)}} = 397.9 \text{ J}$$

- $W_e = 0.07 \text{ J}, W_m = 400 \text{ J}$

$$\frac{W_m}{W_e} = 5700!$$



# Energiebegriffe

## Übung



TECHNISCHE  
UNIVERSITÄT  
DARMSTADT

## Einachsige Kraft im elektrost. & magnetostat. Feld

a) Plattenkondensator: einachsig

$$F_e = \frac{dW_e^*}{dx} = \frac{d}{dx} \left( \frac{\varepsilon \cdot A \cdot u^2}{d+x} \cdot \frac{1}{2} \right) = -\frac{\varepsilon \cdot A}{(d+x)^2} \cdot \frac{u^2}{2}$$

$$\begin{aligned} F_e(x=0) &= -\frac{\varepsilon \cdot A}{d^2} \cdot \frac{u^2}{2} = -\frac{C}{d} \cdot \frac{u^2}{2} = \\ &= -\frac{1}{d} \cdot \frac{Q^2}{2C} = -\frac{W_e(0)}{d} \end{aligned}$$

b) Eisen-Polschuhe: einachsig

$$F_m = \frac{dW_m^*}{dx} = \frac{d}{dx} \left( \frac{\mu_0 \cdot N^2 \cdot A \cdot i^2}{d+x} \cdot \frac{1}{2} \right) = -\frac{\mu_0 \cdot N^2 \cdot A}{(d+x)^2} \cdot \frac{i^2}{2}$$

$$F_m(x=0) = -\frac{\mu_0 \cdot N^2 \cdot A}{d^2} \cdot \frac{i^2}{2} = -\frac{L}{d} \cdot \frac{i^2}{2} = -\frac{1}{d} \cdot \frac{\Psi^2}{2L} = -\frac{W_m(0)}{d}$$

Negative Kraft: Gegen die x-Richtung der Platten- bzw. Polverschiebung = Platten bzw. Polschuhe ziehen sich gegenseitig an

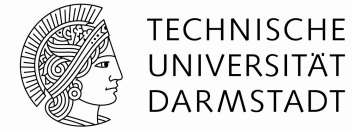
### Magnetische vs. elektrische Kraft:

$$\frac{F_m(x=0)}{F_e(x=0)} = \frac{W_m(0)}{W_e(0)} = 5700$$



# Energiebegriffe

## Magnetische vs. elektrische Wandler



Änderung der Ko-Energie bei kleinen Wegänderungen = Kraft:  $F = dW^*/dx$

- **Beispiel:**

Gleiches Luft-Volumen: Fläche  $A = 1\text{m}^2$ , Abstand  $d = 1\text{mm}$

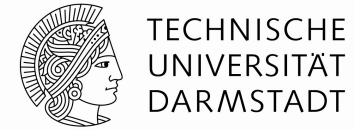
$$W_m / W_e = 400/0.07 = 5700 (!)$$

- Das magnetische Feld erlaubt wesentlich größere Energiedichten bzw. Kräfte!
- Daher werden bei größeren Leistungen/Kräften bevorzugt **elektro-magnetische Wandler eingesetzt!**
- Bei Mikro-Wandlern werden aber
  - a) Elektrostatische Kräfte, b) Piezoeffekt-Kräfte verwendet (= **elektrische Wandler**), da sich
    - 1) Ladungsanordnungen wesentlich besser miniaturisieren lassen als elektrisch isolierte Draht-Spulen-Körper,
    - 2) bei kleinen Abständen (Sub- $\mu\text{m}$ -Bereich) die Durchschlagsfeldstärke  $E_D$  deutlich erhöht ist.
- Die Kräfte in elektrischen Wandlern sind aber i. A. sehr klein.



# Elektromechanische Systeme

## 2. Grundlagen

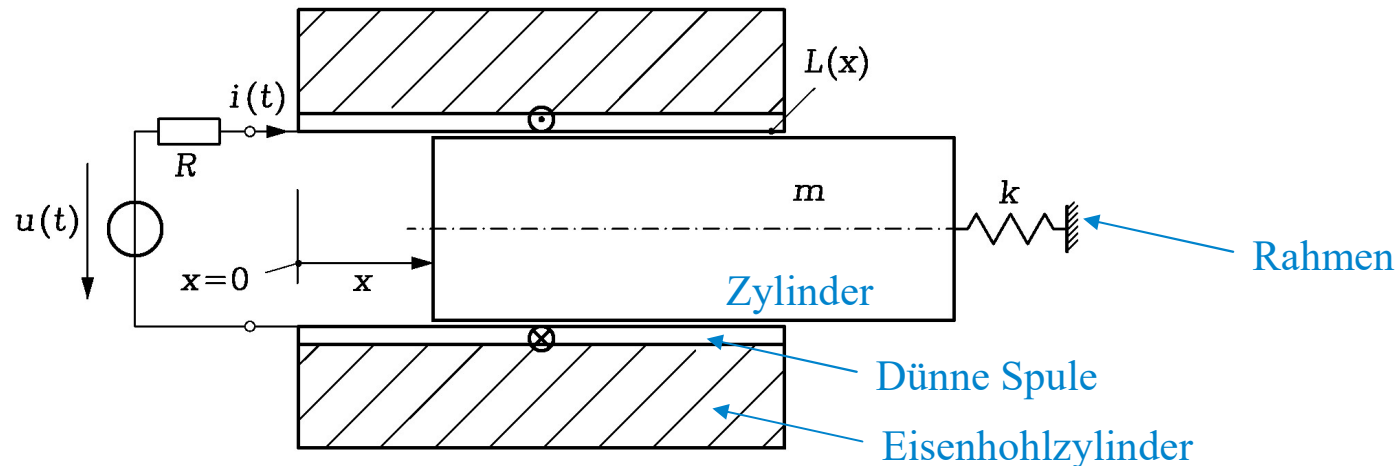


- Dynamische Grundgesetze der Mechanik und Elektromagnetik
- Materialgesetze
- Kraftgesetze
- Energiebegriffe
- Einführendes Beispiel:  
Kopplung eines mechanischen mit einem el.-magn. System



# Einführendes Beispiel

## Magnetischer Wandler



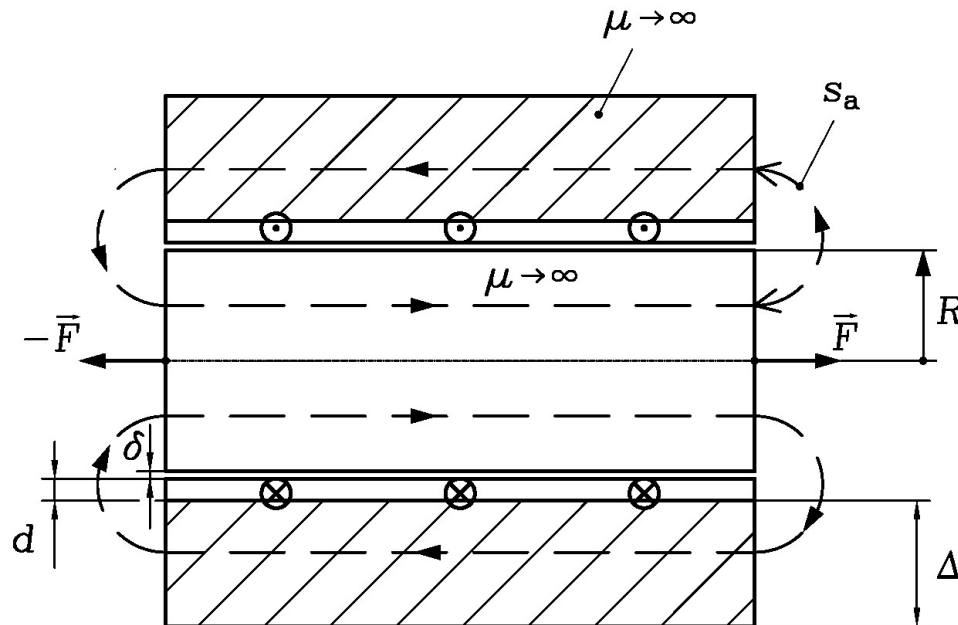
- Ideale Spannungsquelle (Innenwiderstand = 0)
- Spannungsgespeiste Spule mit Innenwiderstand  $R$  und Induktivität  $L(x)$
- Dünne Spule (Windungszahl  $N$ ) in Eisenhohlzylinder als Träger
- Reibungsfrei längsverschieblicher Eisenzylinder (Masse  $m$ , Positionscoordinate  $x$ ), über masselose lineare Feder (Federkonstante  $k$ ) an festem Rahmen fixiert
- Schwerkrafteinfluss vernachlässigt

# Einführendes Beispiel

## Symm. Lage: Angenäherte Induktivitätsberechnung (1)



TECHNISCHE  
UNIVERSITÄT  
DARMSTADT



### ACHTUNG:

Diese Feldbild-Betrachtung ist zu stark vereinfacht (wie später gezeigt wird).

Deshalb ist die berechnete Selbstinduktivität  $L$  **viel zu klein**.

- Dünne Spule (Dicke  $d$ ,  $N$  Windungen) mit Luftspalt  $\delta$
- **Symmetrische Lage bei  $x = 0$**   $\Rightarrow$  symmetrisches  $B$ -Feld, Magnetkräfte  $F_m$  heben sich auf!
- Eisenpermeabilität  $\mu \gg \mu_0 \Rightarrow H_{Fe}$  im Eisen: Null

- **Stirnseitige „mittlere“ Feldlinienlänge  $s_a$**  halbkreisförmig angenähert  $s_a \approx \left( \frac{R + \Delta}{2} + d + \delta \right) \cdot \frac{\pi}{2}$



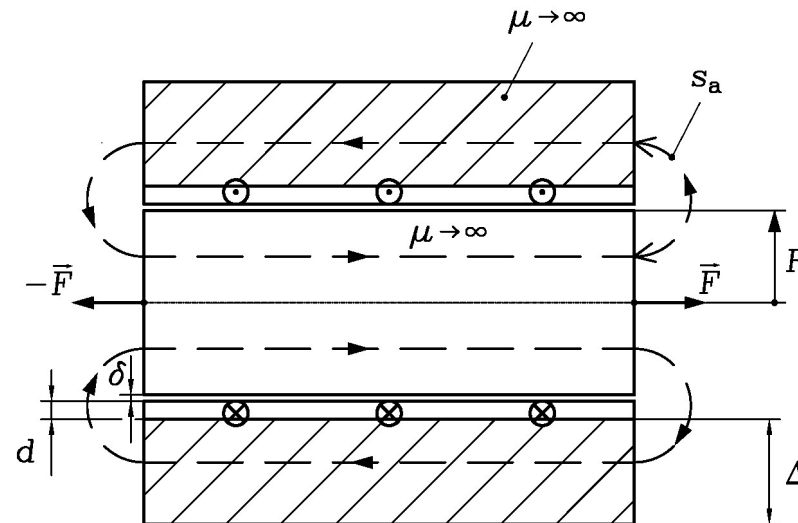


# Einführendes Beispiel

## Symm. Lage: Angenäherte Induktivitätsberechnung (2)



TECHNISCHE  
UNIVERSITÄT  
DARMSTADT



- Durchflutungssatz: Geschlossene Kurve  $C$  = Feldlinie  $B$ :

$$\Theta = N \cdot i = \oint_C \vec{H} \cdot d\vec{s} \approx H_{Fe} \cdot s_{Fe} + H_a \cdot 2s_a \approx H_a \cdot 2s_a \Rightarrow B_a = \mu_0 H_a = \mu_0 \cdot \Theta / (2s_a)$$

- Maxwell'scher Zug  $F$  nach beiden Seiten entgegengesetzt gleich  $\Rightarrow$  Körper  $m$  ist kräftefrei!

- Flussverkeftung der Spule:  $\Psi = N \cdot \Phi = N \cdot \int_A \vec{B} \cdot d\vec{A} \approx N \cdot B_a \cdot A = \mu_0 \cdot N^2 \cdot i \cdot A / (2s_a)$

- Selbstinduktivität:

$$L(x=0) = \Psi / i = \mu_0 \cdot N^2 \cdot A / (2s_a) = \mu_0 \cdot N^2 \cdot R^2 \pi / (2s_a)$$

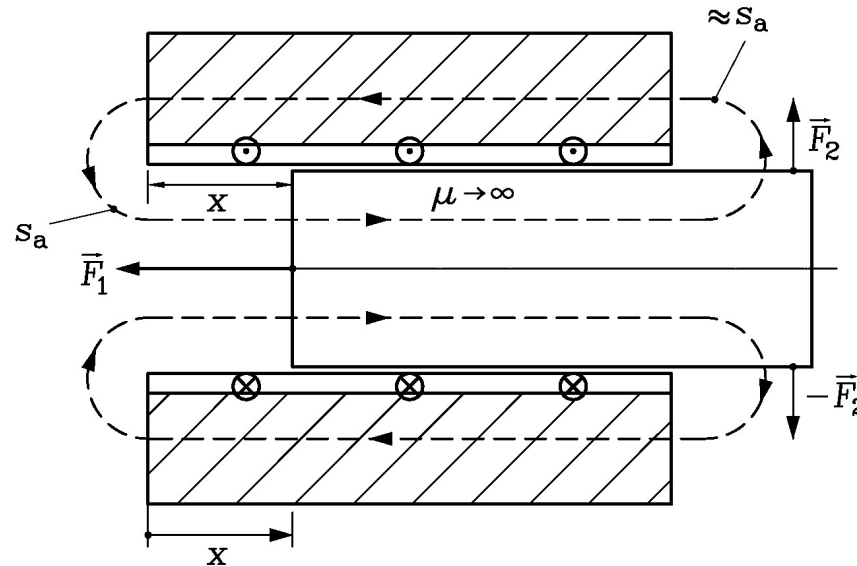


# Einführendes Beispiel

## Asymmetrische Lage: Angenäherte Kraftberechnung



TECHNISCHE  
UNIVERSITÄT  
DARMSTADT



- Stirnseitige „mittlere“ Feldlinienlänge gegenüber symmetrischer Lage etwas verzerrt, weiterhin mit  $s_a$  abgeschätzt

- **Durchflutungssatz:** Geschlossene Kurve  $C =$  Feldlinie  $B$ ,  $H_{Fe}$  im Eisen Null,  $x > 0$ :

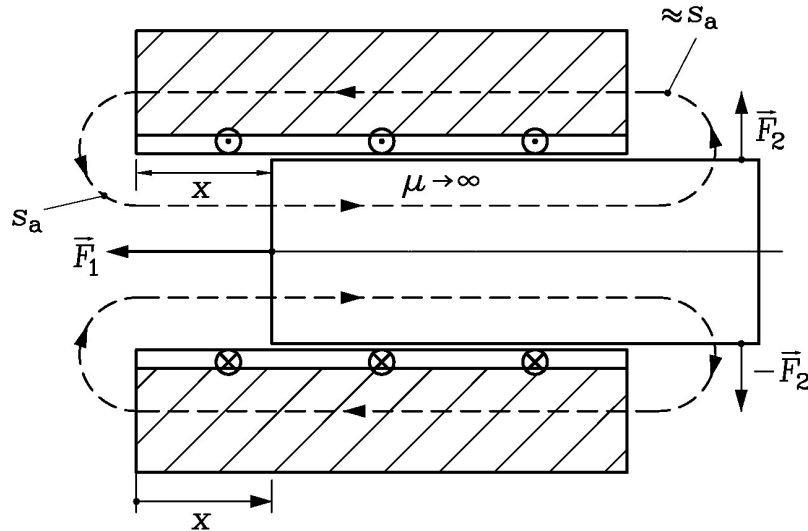
$$\Theta = N \cdot i = \oint_C \vec{H} \cdot d\vec{s} \approx H_a \cdot x + H_a \cdot 2s_a \Rightarrow B_a = \mu_0 H_a = \frac{\mu_0 \cdot \Theta}{x + 2s_a}$$

- Kräfte  $F_2$  heben sich auf, Maxwell'scher Zug  $F_1$  nach links  
 $\Rightarrow$  Körper  $m$  wird magnetisch nach links gezogen



# Einführendes Beispiel

## Asymm. Lage: Angenäherte Induktivitätsberechnung



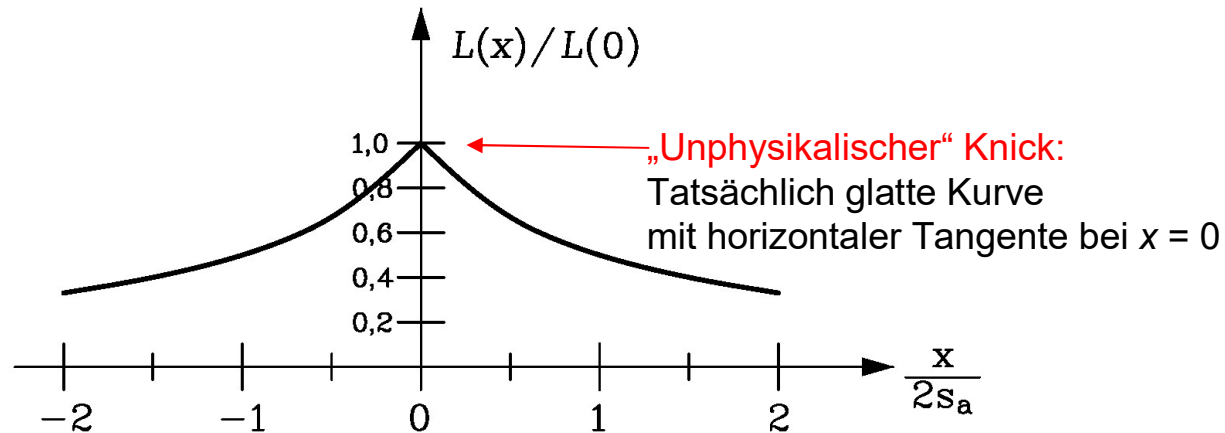
$$L(x) = \Psi(x) / i \cong N \cdot B_a(x) \cdot A / i = \mu_0 \cdot N^2 \cdot A / (x + 2s_a)$$

$$x \geq 0: \frac{L(x)}{L(0)} = \frac{1}{1 + x/(2s_a)}$$

$$x \leq 0: \frac{L(x)}{L(0)} = \frac{1}{1 - x/(2s_a)}$$

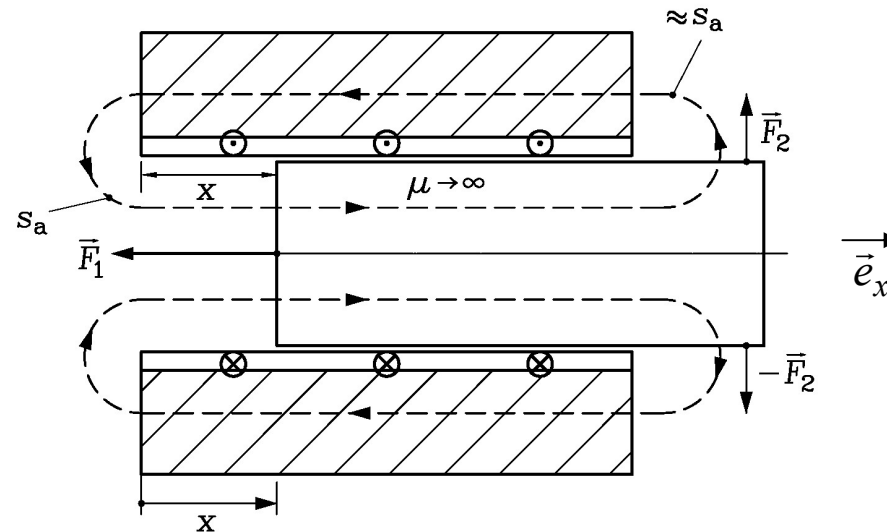
$$\frac{L(x)}{L(0)} = \frac{1}{1 + |x|/(2s_a)}$$

$$L(0) = \mu_0 \cdot N^2 \cdot A / (2s_a)$$



# Einführendes Beispiel

## Asymmetrische Lage: Kraftberechnung $F_1$



- Maxwell'scher Zug  $F_1$  nach links  $-F_1 \cdot \vec{e}_x = \oint_A \vec{T} \cdot d\vec{A} = -\vec{e}_x \cdot \int_A B_a^2 / (2\mu_0) \cdot dA = -\frac{\mu_0 \cdot (N \cdot i)^2 \cdot A}{2 \cdot (x + 2s_a)^2} \cdot \vec{e}_x$   
(= negative x-Richtung):

### Alternative Berechnung:

Berechnung über „virtuelle“ Verschiebung: Nur  $x$  ändert sich, alles andere ( $u, i$ ) konstant!

$$-F_1 \cdot \vec{e}_x = \frac{dW_m^*}{dx} \cdot \vec{e}_x = \frac{d}{dx} \left( L(x) \cdot \frac{i^2}{2} \right) \cdot \vec{e}_x = \frac{i^2}{2} \cdot \frac{d}{dx} \left( \mu_0 \cdot \frac{N^2 A}{x + 2s_a} \right) \cdot \vec{e}_x$$

$$F_1 = \frac{i^2}{2} \cdot \mu_0 \cdot \frac{N^2 A}{(x + 2s_a)^2}$$

# Einführendes Beispiel

## Kritik an der vereinfachten Induktivitätsberechnung



- Bei  $x = 0$  ist das bewegliche Teil **im Gleichgewicht**:  
Die resultierende Magnetkraft muss Null sein.
- Mit der Induktivität gemäß  $x \geq 0$ :  $\frac{L(x)}{L(0)} = \frac{1}{1 + x/(2s_a)}$  ist sie das **nicht!**

$$L'(x) = -\frac{L(0)}{(1 + x/(2s_a))^2} \cdot \frac{1}{2s_a} \Rightarrow L'(0) = -\frac{L(0)}{2s_a} < 0$$

$$-F_1(0) \cdot \vec{e}_x = \frac{dW_m^*}{dx}(x=0) \cdot \vec{e}_x = \vec{e}_x \cdot \frac{d}{dx} \left( L(x) \cdot \frac{i^2}{2} \right) \Big|_{x=0} = \vec{e}_x \cdot \underbrace{L'(0)}_{<0} \cdot \frac{i^2}{2}$$

- **Genauere Induktivitätsberechnung** erforderlich (z. B: über numerische Feldberechnung),  
die z. B. auf folgenden Näherungs-Ausdruck führt:

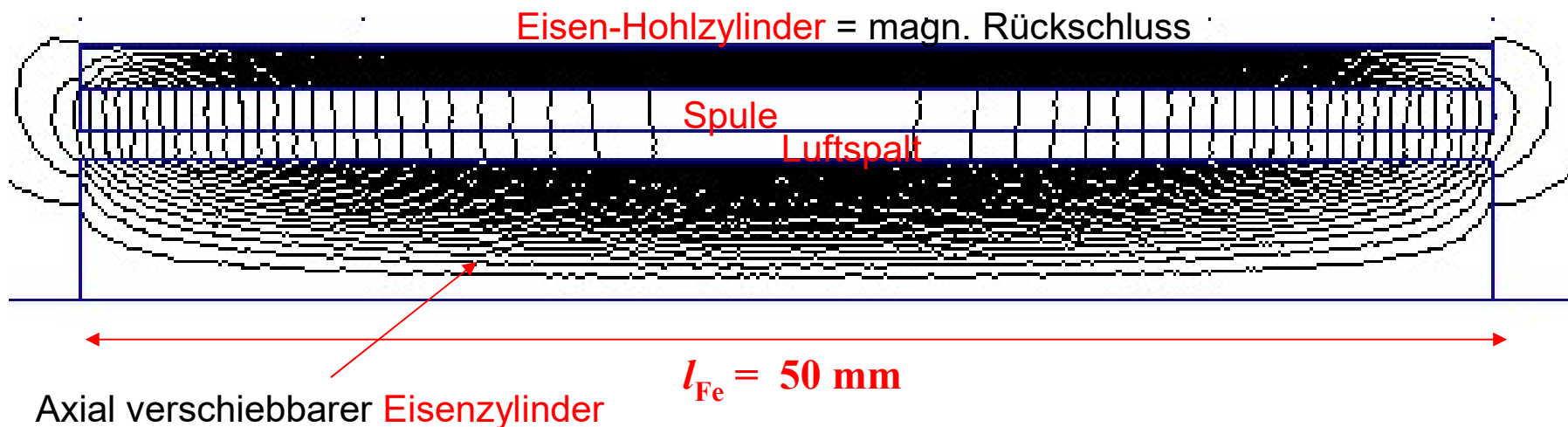
$$\frac{L(x)}{L(0)} \approx \frac{1}{1 + (x/s_a)^2} \Rightarrow L'(0) = -L(0) \cdot \frac{2x/s_a^2}{(1 + (x/s_a)^2)^2} \Big|_{x=0} = 0$$

$$-F_1(0) = \frac{dW_m^*}{dx}(x=0) = \frac{d}{dx} \left( L(x) \cdot \frac{i^2}{2} \right) \Big|_{x=0} = L'(0) \cdot \frac{i^2}{2} = 0$$



# Einführendes Beispiel

## Numerische Feldberechnung: Geometrie

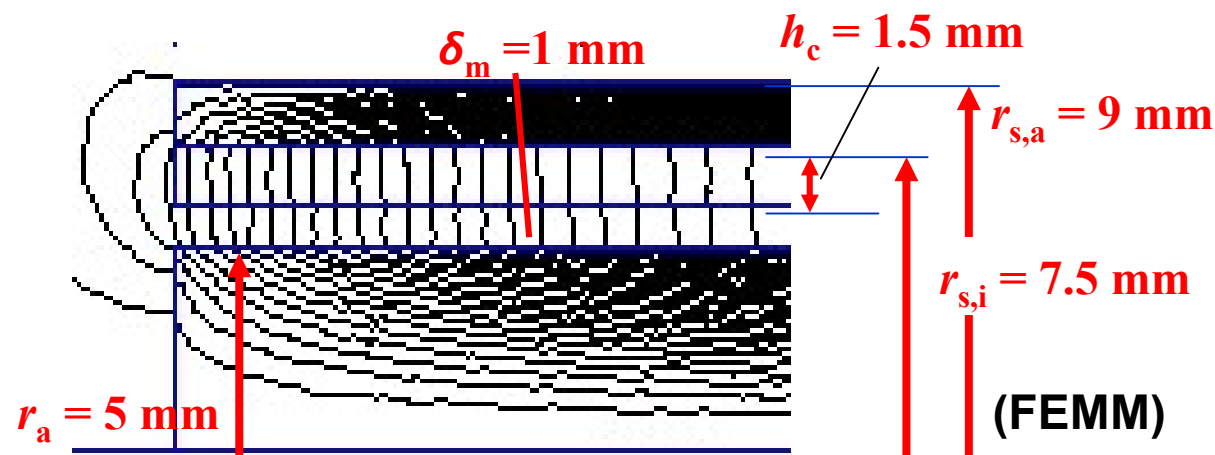


$$d = h_c = 1.5 \text{ mm}$$

$$\Delta = r_{s,a} - r_{s,i} = 1.5 \text{ mm}$$

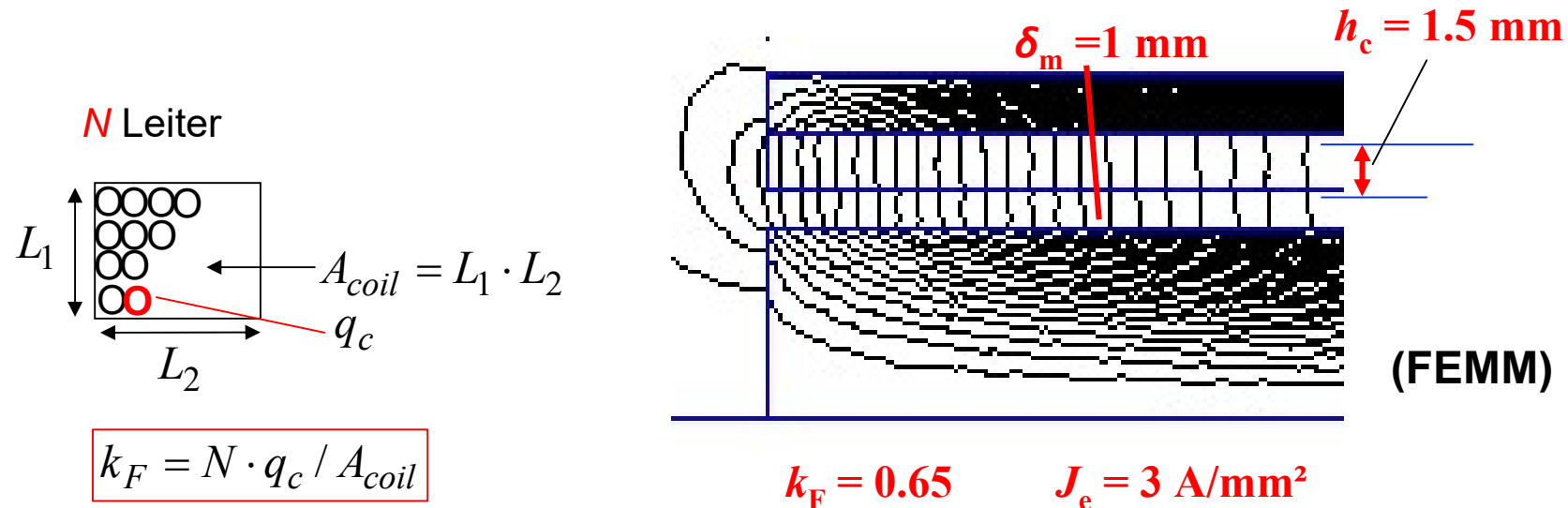
$$R = r_a = 5 \text{ mm}$$

$$\delta = \delta_m = 1 \text{ mm}$$



# Einführendes Beispiel

## Ersatzstromdichte $J_e$



- Runddraht-Spule-Füllfaktor  $k_F = \text{Leiter-Summenquerschnittsfläche} / \text{Spulen-Querschnittsfläche}$
- Ersatzstromdichte  $J_e = \text{El. Durchflutung} / \text{Spulen-Querschnittsfläche}$

$$J_e = \frac{N \cdot I}{A_{coil}} = \frac{N \cdot I}{N \cdot q_c / k_F} = k_F \cdot (I / q_c) = k_F \cdot J$$

$$d_c = 0.75 \text{ mm}, q_c = d_c^2 \cdot \pi / 4 = 0.44 \text{ mm}^2, I = 2 \text{ A}, J = I / q_c = 4.6 \text{ A/mm}^2,$$

$$N = 110, k_F = 110 \cdot 0.44 / (1.5 \cdot 50) = 0.65, J_e = 0.65 \cdot 4.6 = 3 \text{ A/mm}^2$$

# Einführendes Beispiel

## Numerische Feldberechnung (z. B. FEMM)

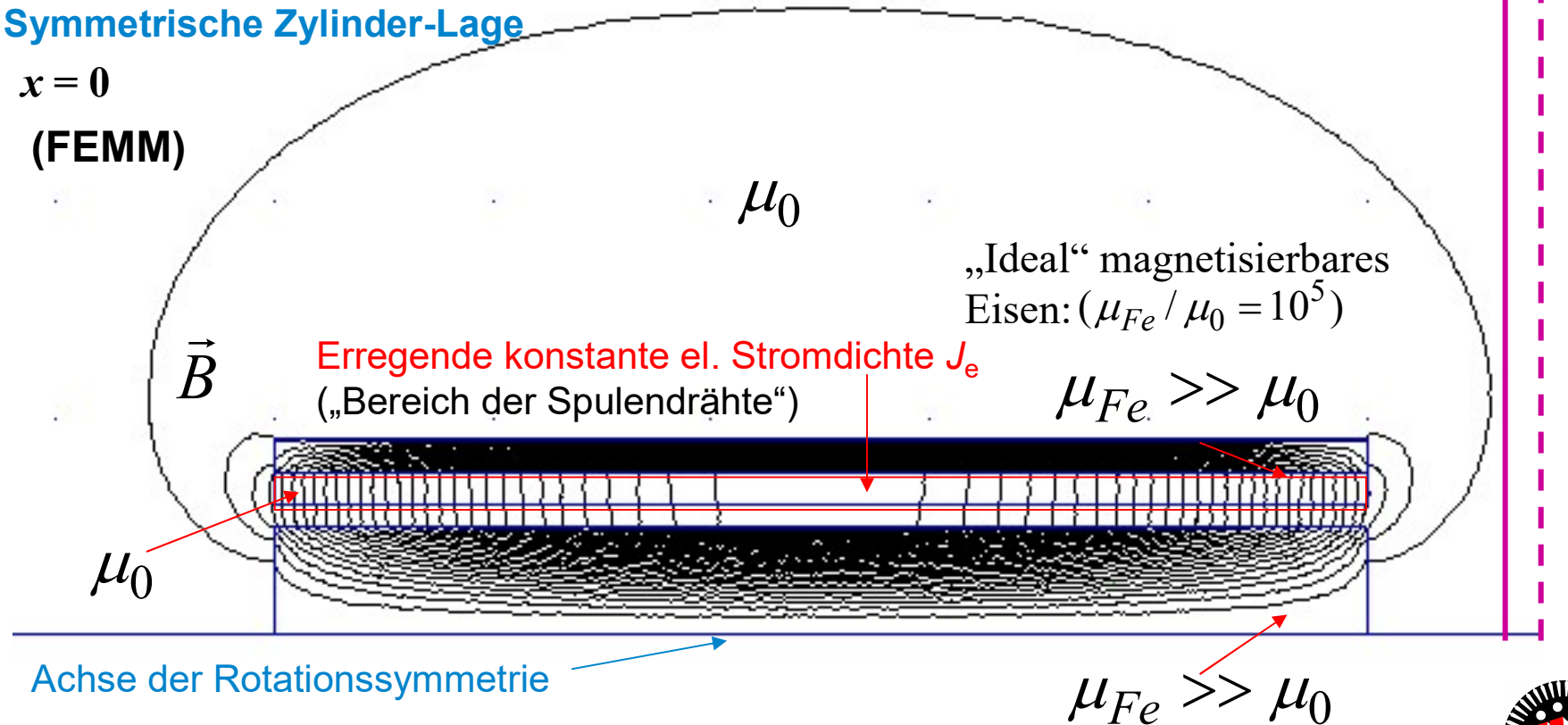
Magnetostatisches ( $d./dt = 0$ ),  
lineares ( $\mu_{Fe} = \text{konst.}$ ),  
rotationssymmetrisches Magnetfeldmodell

„Willkürliche“ Feldraumbegrenzungen  
beeinflussen das numerische Ergebnis

Symmetrische Zylinder-Lage

$x = 0$

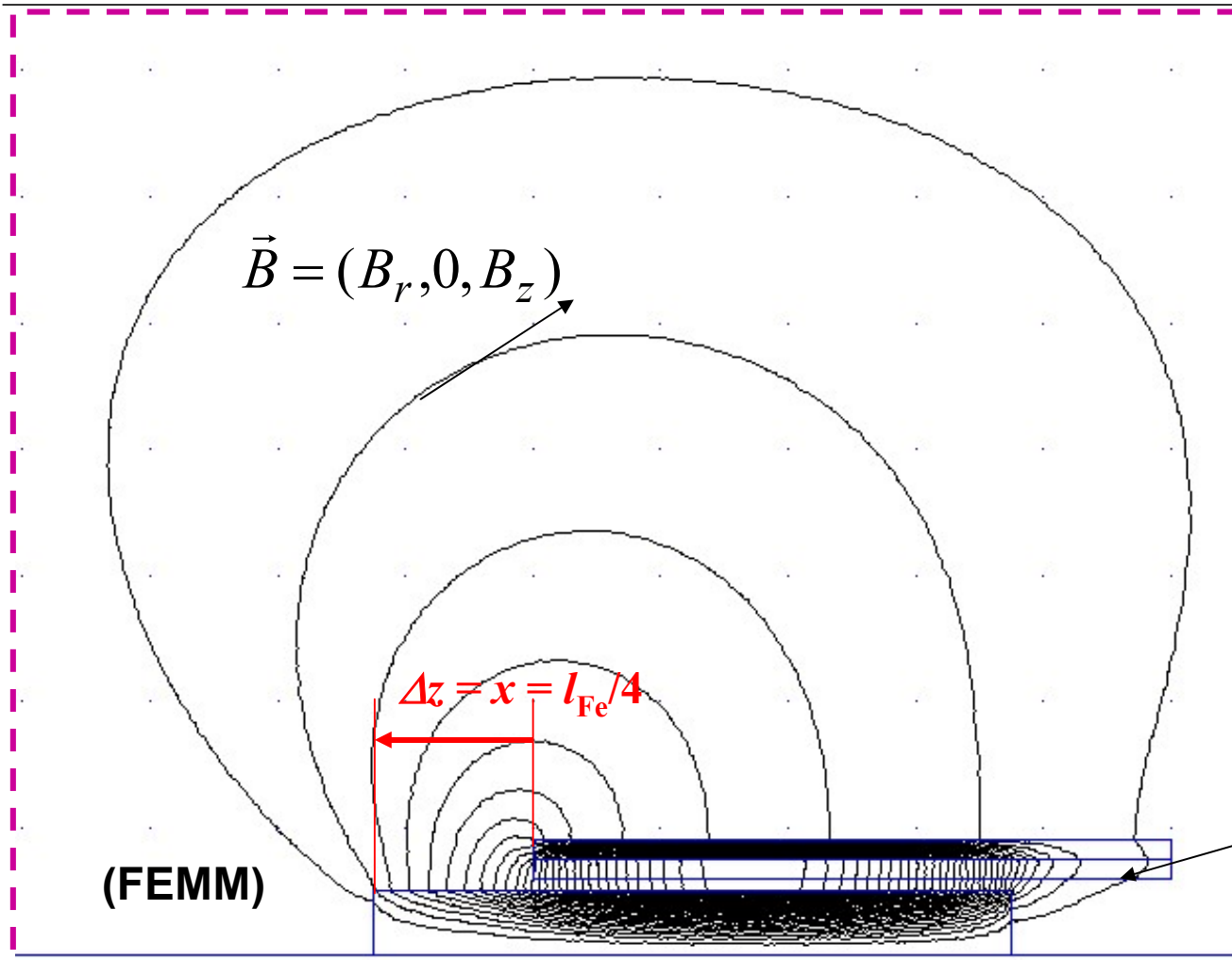
(FEMM)





# Einführendes Beispiel

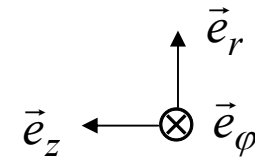
## Asymmetrische Zylinderlage x



„Willkürliche“  
Feldraumbegrenzungen  
beeinflussen das  
numerische Ergebnis

Rotationssymmetrie:  
Zylinderkoordinaten:

$r, \varphi, z$



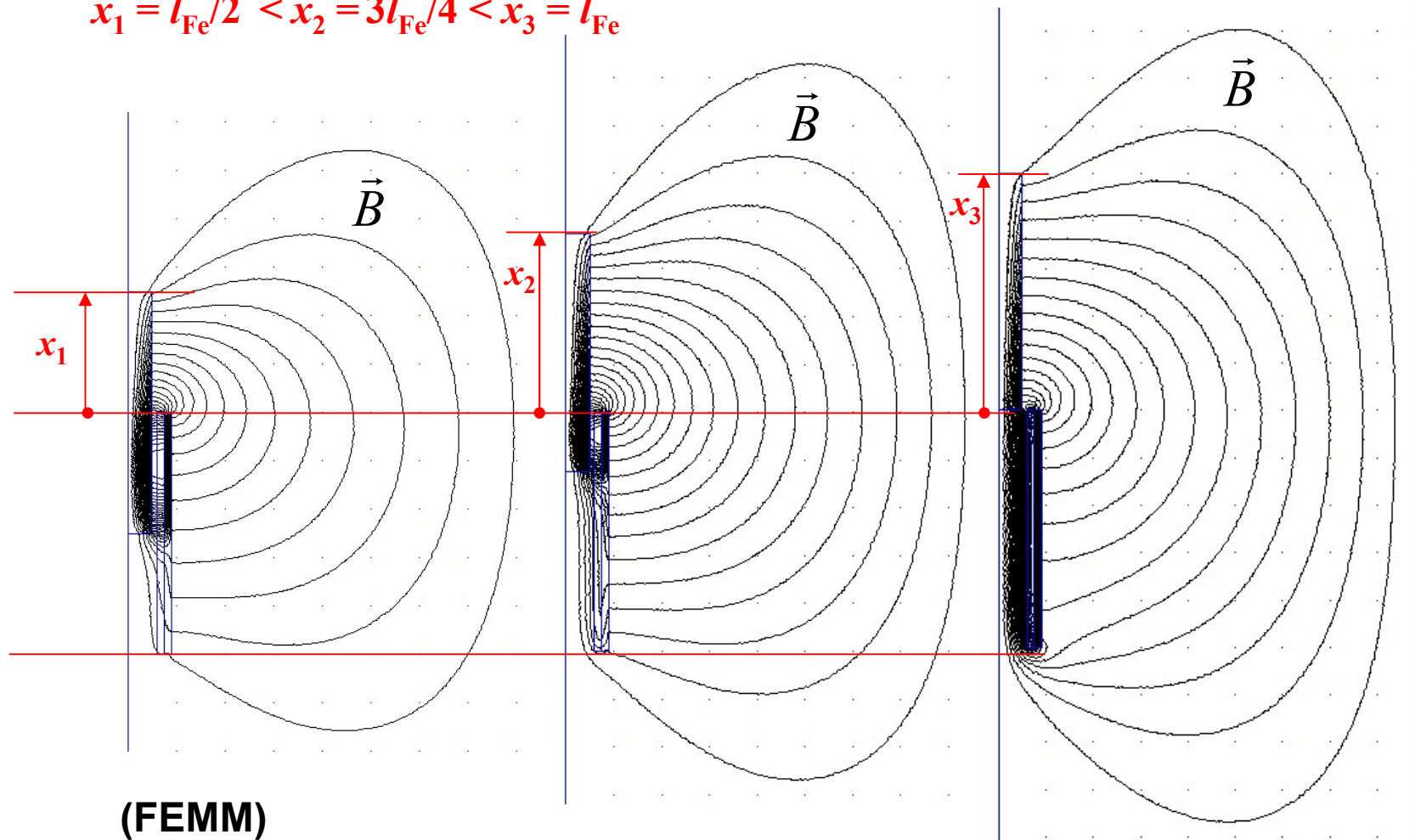
$$|\vec{e}_r| = |\vec{e}_\varphi| = |\vec{e}_z| = 1$$

$$\vec{J} = (0, J_\varphi, 0)$$

# Einführendes Beispiel

## Variable asymmetrische Zylinderlage $x$

$$x_1 = l_{\text{Fe}}/2 < x_2 = 3l_{\text{Fe}}/4 < x_3 = l_{\text{Fe}}$$

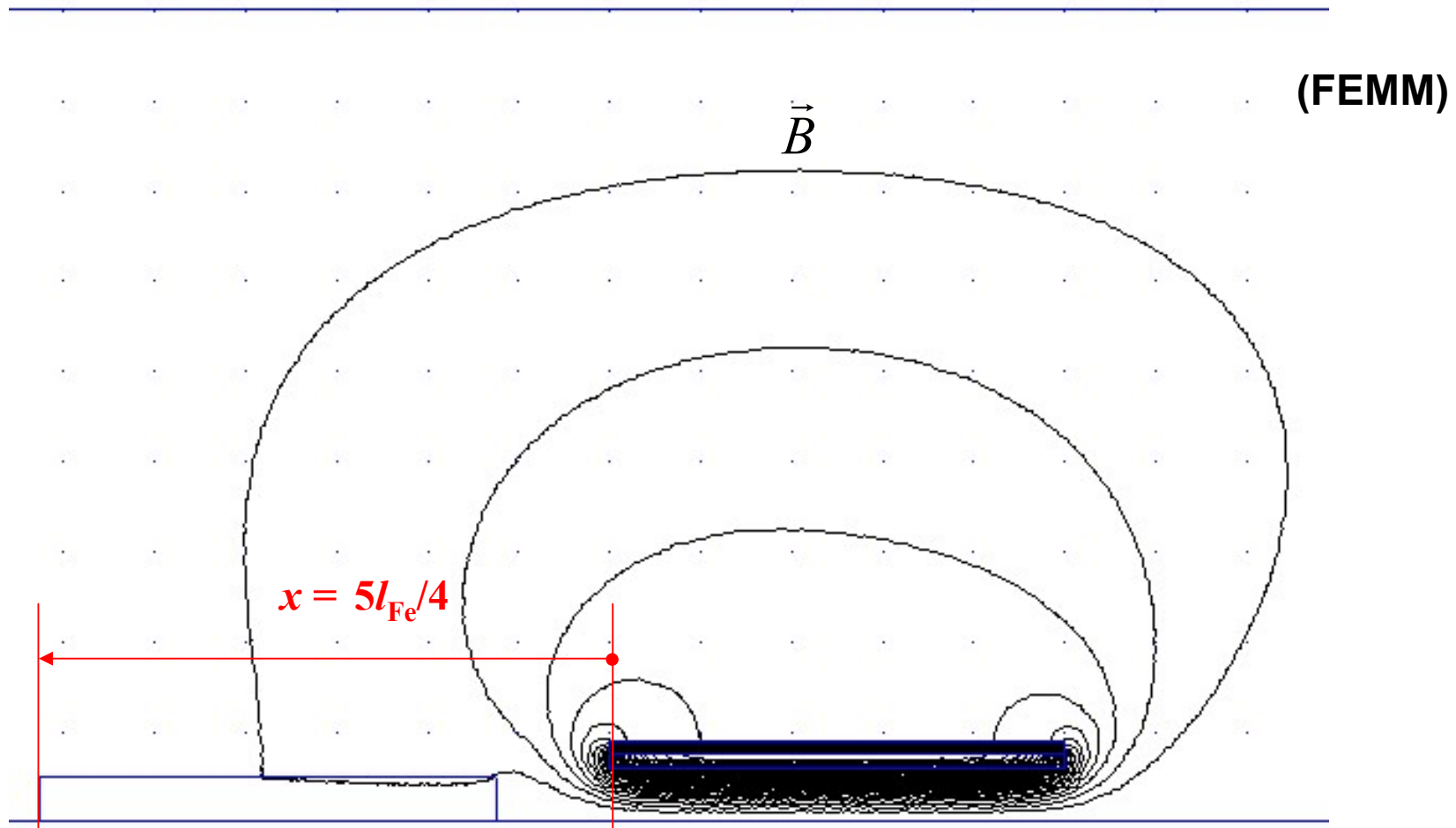


# Einführendes Beispiel

Zylinder außerhalb der Spule  $\Rightarrow$   $B$ -Feld wird sehr klein



TECHNISCHE  
UNIVERSITÄT  
DARMSTADT

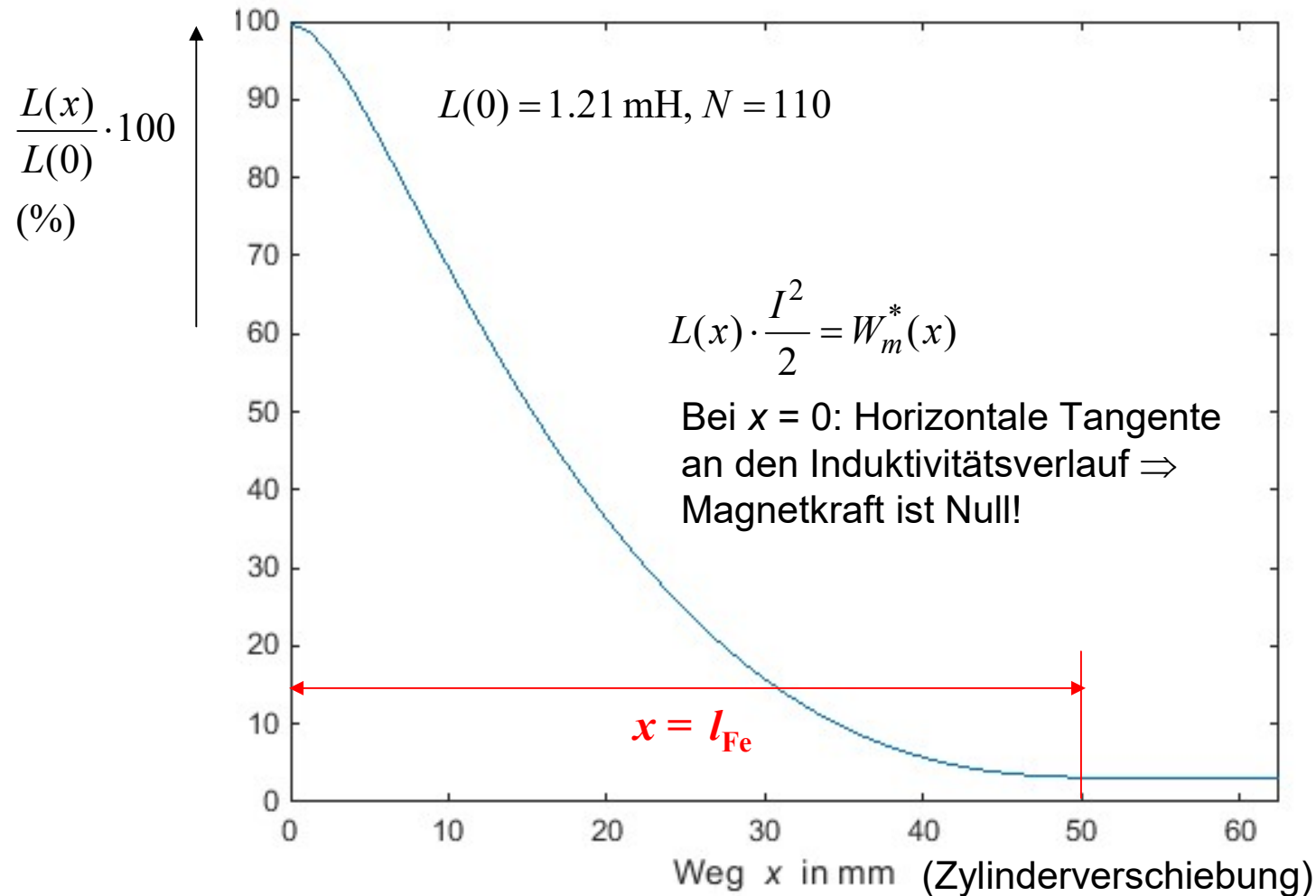


# Einführendes Beispiel

## Numerisch berechnete Induktivität aus der Feldenergie $W_m$



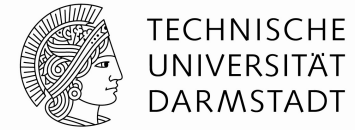
TECHNISCHE  
UNIVERSITÄT  
DARMSTADT



# Einführendes Beispiel

## Vergleich:

## Vereinfacht analytische und numerische $L$ -Berechnung



Vereinfacht analytisch:

$$L(x=0) = \mu_0 \cdot N^2 \cdot R^2 \pi / (2s_a) = 4\pi \cdot 10^{-7} \cdot 110^2 \cdot 0.005^2 \cdot \pi / (2 \cdot 0.009) = 0.066 \text{ mH}$$

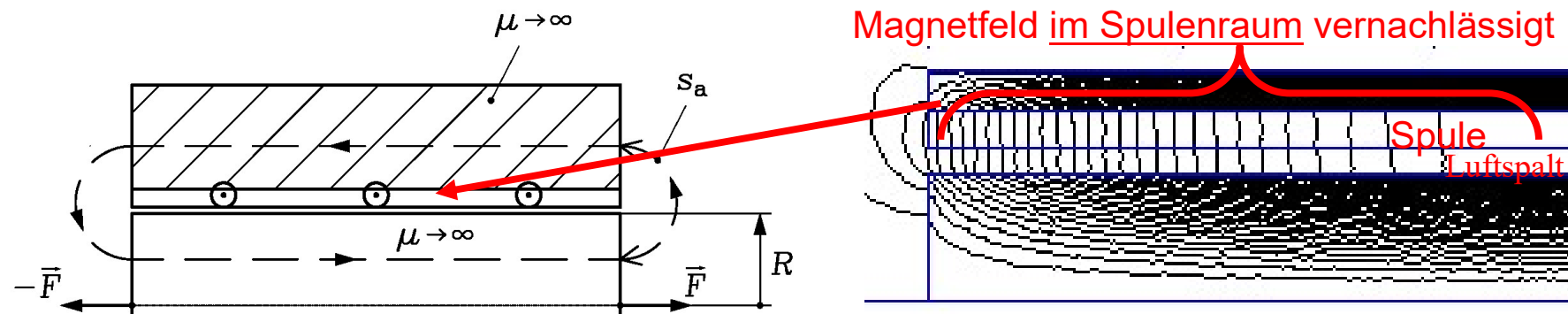
Numerisch:

$$L(x=0) = 1.21 \text{ mH}$$

Die vereinfacht analytisch berechnete Selbstinduktivität  $L$  ist um ca. 1/20 **viel zu klein**.

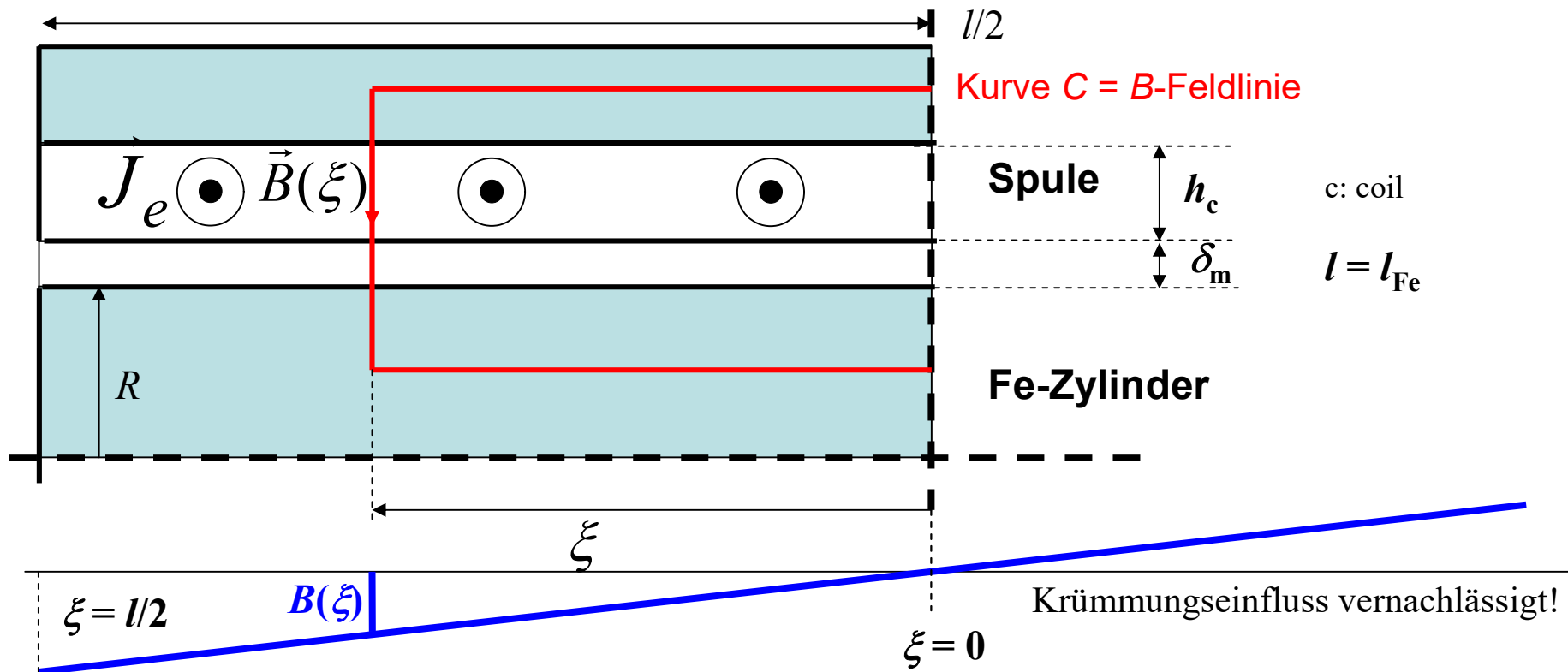
**Warum?** Weil das Magnetfeld im Spulenraum vernachlässigt wurde!

Diese Feld ist aber der Hauptanteil des Spulenfelds!



# Einführendes Beispiel

## Analytisch genauere $L$ -Berechnung (1)



$$\oint_C \vec{H} \cdot d\vec{s} = \Theta \Rightarrow \mu_{Fe} \rightarrow \infty \Rightarrow H_{Fe} = 0 : \oint_C \vec{H} \cdot d\vec{s} = 2H(\xi) \cdot (h_c + \delta_m) = \Theta(\xi) = \underbrace{2\xi \cdot h_c \cdot J_e}_{N \cdot i \cdot 2\xi / l}$$

$$B(\xi) = \mu_0 \cdot N \cdot i \cdot \xi / (l \cdot (h_c + \delta_m)) \quad -l/2 \leq \xi \leq l/2$$

# Einführendes Beispiel

## Analytisch genauere $L$ -Berechnung (2)



- Anteil  $L_1$  des Felds im Spulenkörper und Luftspalt (Bei mittig liegendem Zylinder  $x = 0$ ):

$$L_1 \cdot i^2 / 2 = \int_V w_m^* \cdot dV = 2A \cdot \int_0^{l/2} \frac{B^2(\xi)}{2\mu_0} \cdot d\xi \quad A = \left( R + \frac{h_c + \delta_m}{2} \right) \cdot 2\pi \cdot (h_c + \delta_m)$$

$$2 \cdot \int_0^{l/2} \frac{B^2(\xi)}{2\mu_0} \cdot d\xi = \frac{[\mu_0 \cdot N \cdot i / (l \cdot (h_c + \delta_m))]^2}{\mu_0} \cdot \underbrace{\int_0^{l/2} \xi^2 \cdot d\xi}_{(l/2)^3 / 3} \quad \text{„Ringfläche } A\text{“}$$

$$L_1 = 2A \cdot \frac{[\mu_0 \cdot N / (l \cdot (h_c + \delta_m))]^2}{3\mu_0} \cdot \left( \frac{l}{2} \right)^3 = \left( 1 + \frac{2R}{h_c + \delta_m} \right) \cdot \pi \cdot (h_c + \delta_m)^2 \cdot \frac{\mu_0 \cdot N^2 \cdot l}{12 \cdot (h_c + \delta_m)^2}$$

$$L_1 = \frac{\mu_0 \cdot N^2 \cdot l_{Fe}}{12} \cdot \left( 1 + \frac{2R}{h_c + \delta_m} \right) \cdot \pi = \frac{4\pi \cdot 10^{-7} \cdot 110^2 \cdot 0.05}{12} \cdot \left( 1 + \frac{2 \cdot 5}{1.5 + 1} \right) \cdot \pi = 0.995 \text{ mH}$$

- Anteil  $L_2$  des Streufelds hatten wir schon:  $L_2 = \mu_0 \cdot N^2 \cdot R^2 \pi / (2s_a) = 0.066 \text{ mH}$

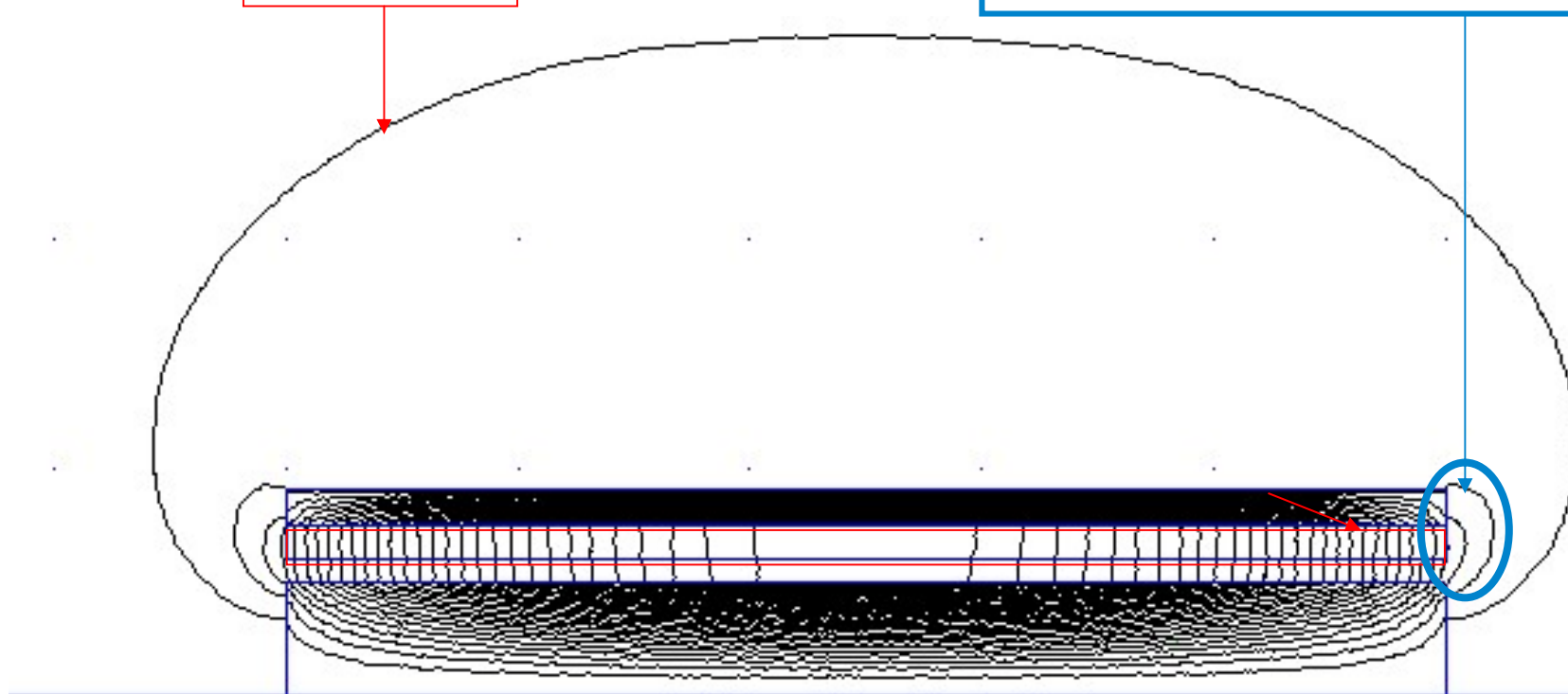
- Selbstinduktivität  $L$ :  $L = L_1 + L_2 = 0.995 + 0.066 = 1.06 \text{ mH}$       Numerisch:  $L = 1.21 \text{ mH}$



# Einführendes Beispiel

## Analytisch genauere $L$ -Berechnung (3)

- Selbstinduktivität  $L$ :  $L = L_1 + L_2 = 0.995 + 0.066 = 1.06 \text{ mH}$       Numerisch:  $L = 1.21 \text{ mH}$
- Numerischer Wert um  $(1.21/1.06 = 1.14)$  14% größer! Warum? a) Krümmung vernachlässigt, b) Weil das reale Streufeld deutlich größer ist als das analytisch modellierte Streufeld!



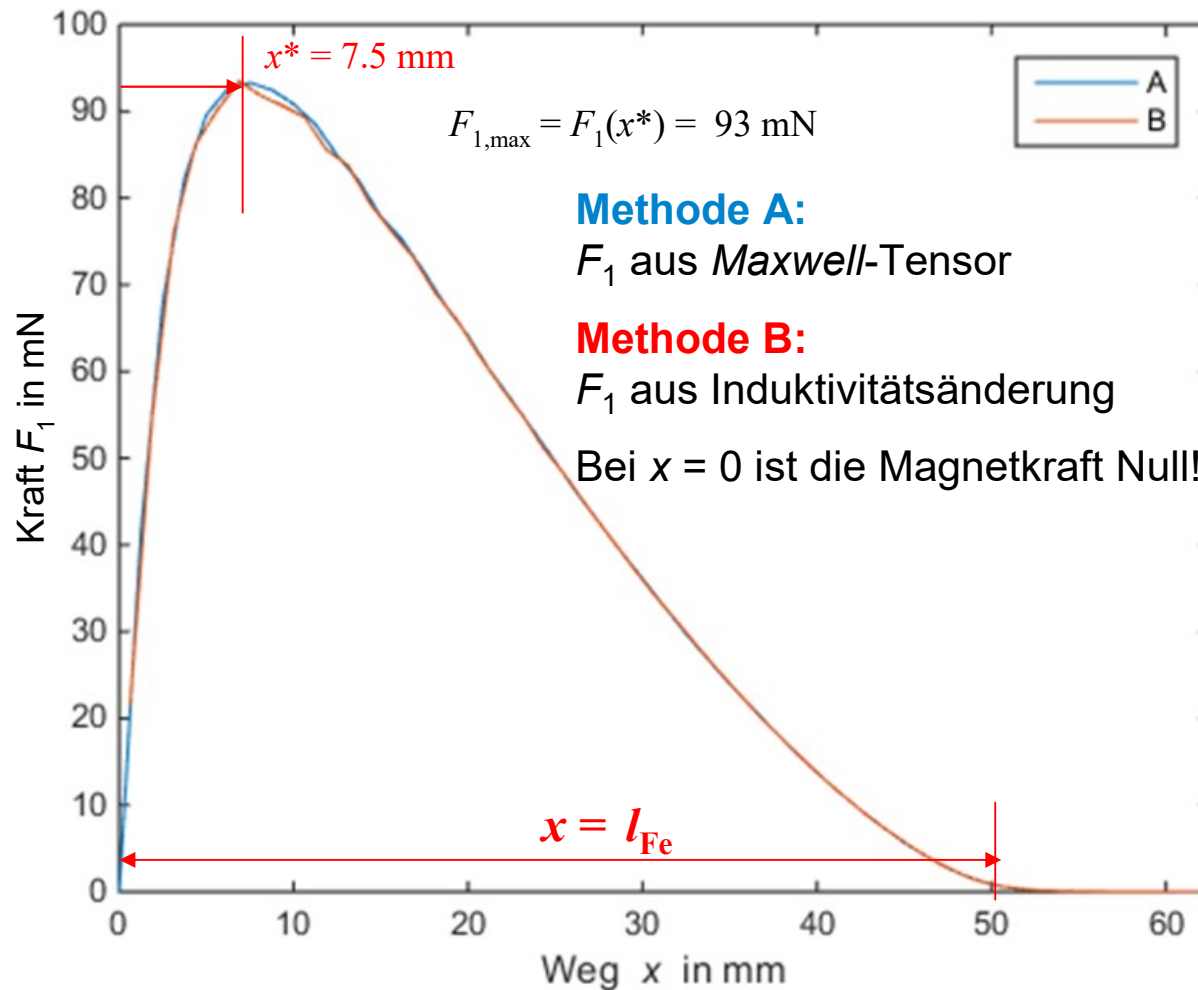


# Einführendes Beispiel

## Numerisch berechnete axiale Magnetkraft (1)



TECHNISCHE  
UNIVERSITÄT  
DARMSTADT



Analytische Näherungs-  
rechnung für  $x^*$ :

$$\frac{L(x)}{L(0)} \approx \frac{1}{1 + (x/s_a)^2}$$

$$-F_1 = \frac{dW_m^*}{dx} = \frac{i^2}{2} \cdot \frac{dL(x)}{dx}$$

$$-F_1 = -\frac{L(0) \cdot i^2}{2} \cdot \frac{2x/s_a^2}{(1 + (x/s_a)^2)^2}$$

$$F_1 = \frac{L(0) \cdot i^2}{s_a} \cdot \frac{\tilde{x}}{(1 + \tilde{x}^2)^2} \quad \tilde{x} = \frac{x}{s_a}$$

$$\frac{dF_1}{d\tilde{x}} = 0 \rightarrow \frac{1}{(1 + \tilde{x}^2)^2} - \frac{\tilde{x} \cdot 2\tilde{x}}{(1 + \tilde{x}^2)^3} = 0$$

$$\tilde{x}^{*2} = 1 \rightarrow x^* = \pm s_a$$

$$x^* = s_a = (R + \Delta + 2d + 2\delta) \cdot \pi / 4 = (5 + 1.5 + 2 \cdot (1.5 + 1)) \cdot \pi / 4 = 9 \text{ mm}$$

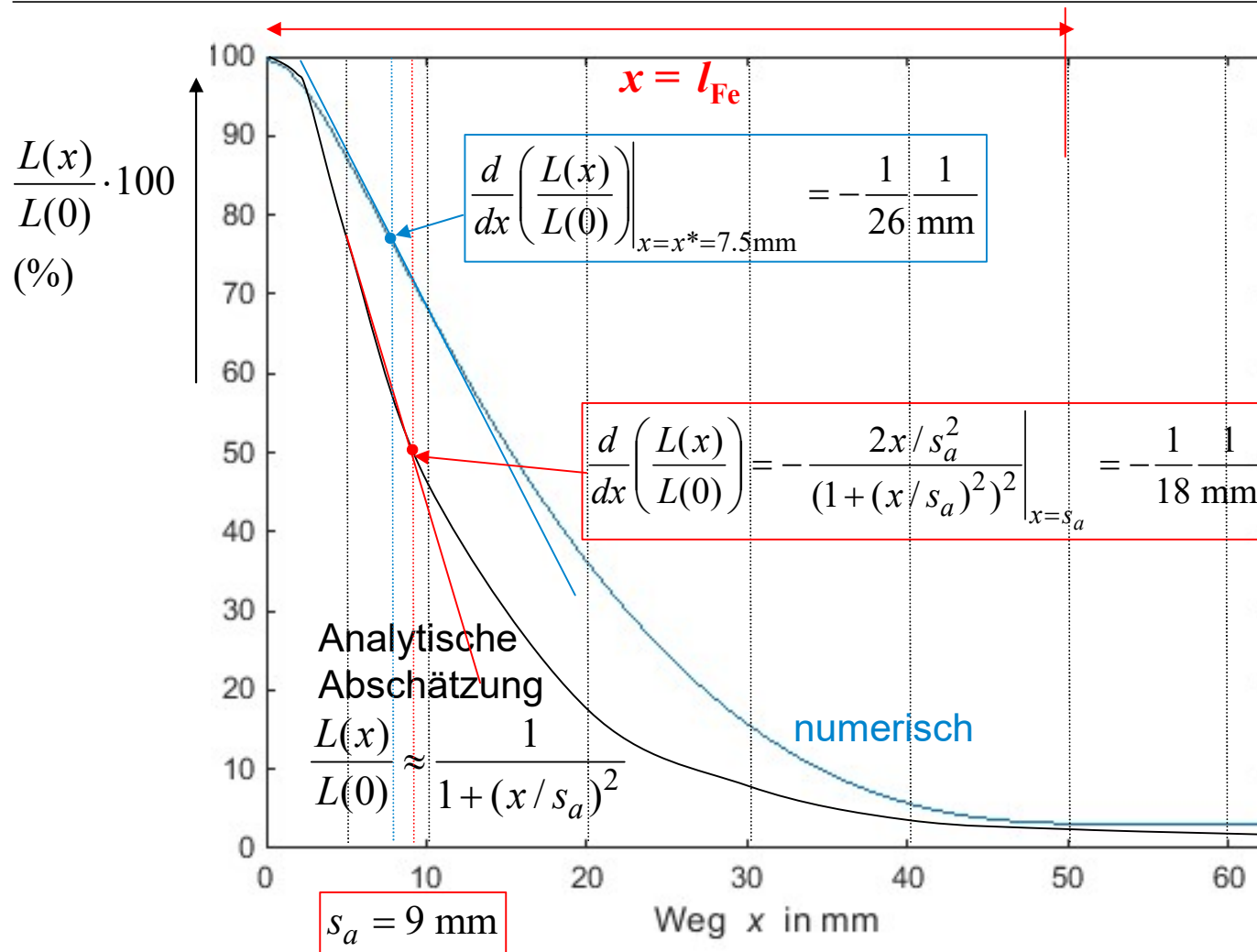


# Einführendes Beispiel

## Selbstinduktivität $L$ und axiale Magnetkraft $F_1$



TECHNISCHE  
UNIVERSITÄT  
DARMSTADT



$$-F_1 = \frac{i^2}{2} \cdot \frac{dL(x)}{dx}$$

$$i = 2 \text{ A,}$$

numerisch/analytisch:

$$L(0) = 1.21 / 1.06 \text{ mH}$$

Maximale Kraft bei  
Wendetangente:

• Numerisch:

$$F_1 = \frac{2^2}{2} \cdot \frac{1.21}{1000} \cdot \frac{1000}{26} = 0.093 \text{ N}$$

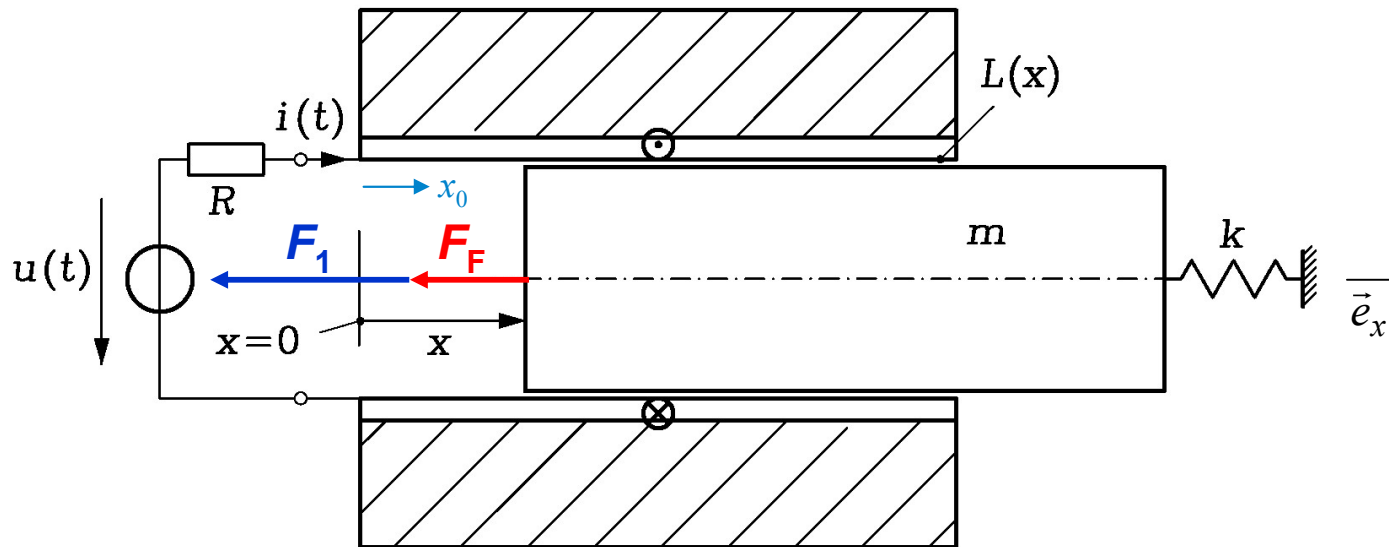
• Analytisch:

$$F_1 = \frac{2^2}{2} \cdot \frac{1.06}{1000} \cdot \frac{1000}{18} = 0.1178 \text{ N}$$



# Einführendes Beispiel

## Asymm. Lage: Resultierende mech. Kraftgleichung



- **Resultierende Kraft** auf Körper  $m$  (Schwerpunktssatz):

$$m \cdot \ddot{x} \cdot \vec{e}_x = \sum \text{Äußere Kräfte} = -F_F \cdot \vec{e}_x - F_1 \cdot \vec{e}_x$$

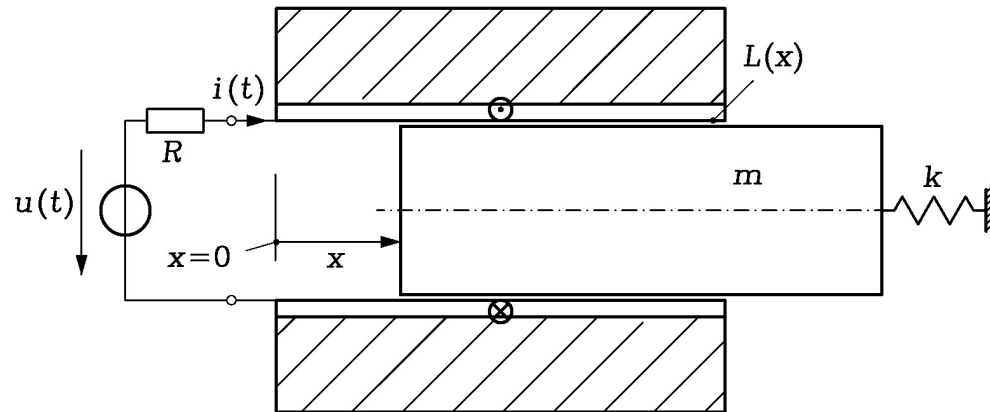
- Feder  $k$  bei  $x = x_0 > 0$  entspannt  $\Rightarrow$  Feder drückt bei  $x > x_0$  nach links:
 
$$\begin{cases} \vec{F}_F = -F_F \cdot \vec{e}_x \\ F_F = k \cdot (x - x_0) \end{cases}$$

$$m \cdot \ddot{x} = -F_F - F_1 = -k \cdot (x - x_0) + \frac{i^2}{2} \cdot \frac{dL}{dx}$$

$$m \cdot \ddot{x} + k \cdot (x - x_0) - \frac{i^2}{2} \cdot \frac{dL}{dx} = 0$$

# Einführendes Beispiel

## Systemgleichungen für Bewegung der Masse $m$



- **Mechanische Gleichung:**

$$m \cdot \ddot{x} + k \cdot (x - x_0) - \frac{i^2}{2} \cdot \frac{dL(x)}{dx} = 0$$

- **Elektrische Gleichung:** *Kirchhoff*'sche Maschengleichung  
Verbraucher-Zählpfeilsystem

$$u(t) + u_i(t) = R \cdot i(t) \Rightarrow u(t) - d\psi / dt = R \cdot i(t), \quad u(t) = R \cdot i(t) + d(L(x) \cdot i) / dt$$

- **Zwei Unbekannte:**  $x, i$ ; nichtlineares Gleichungssystem

wegen a)  $L(x)$ , b)  $i^2$ , c) Produkten aus  $L$  und  $i$

- **Lösungsverhalten:** a) Statische Kennlinie  $i(x) = I(X)$  für  $d./dt = 0$

b) Stabilitätsuntersuchung der Gleichgewichtslagen  $i(x) = I(X)$

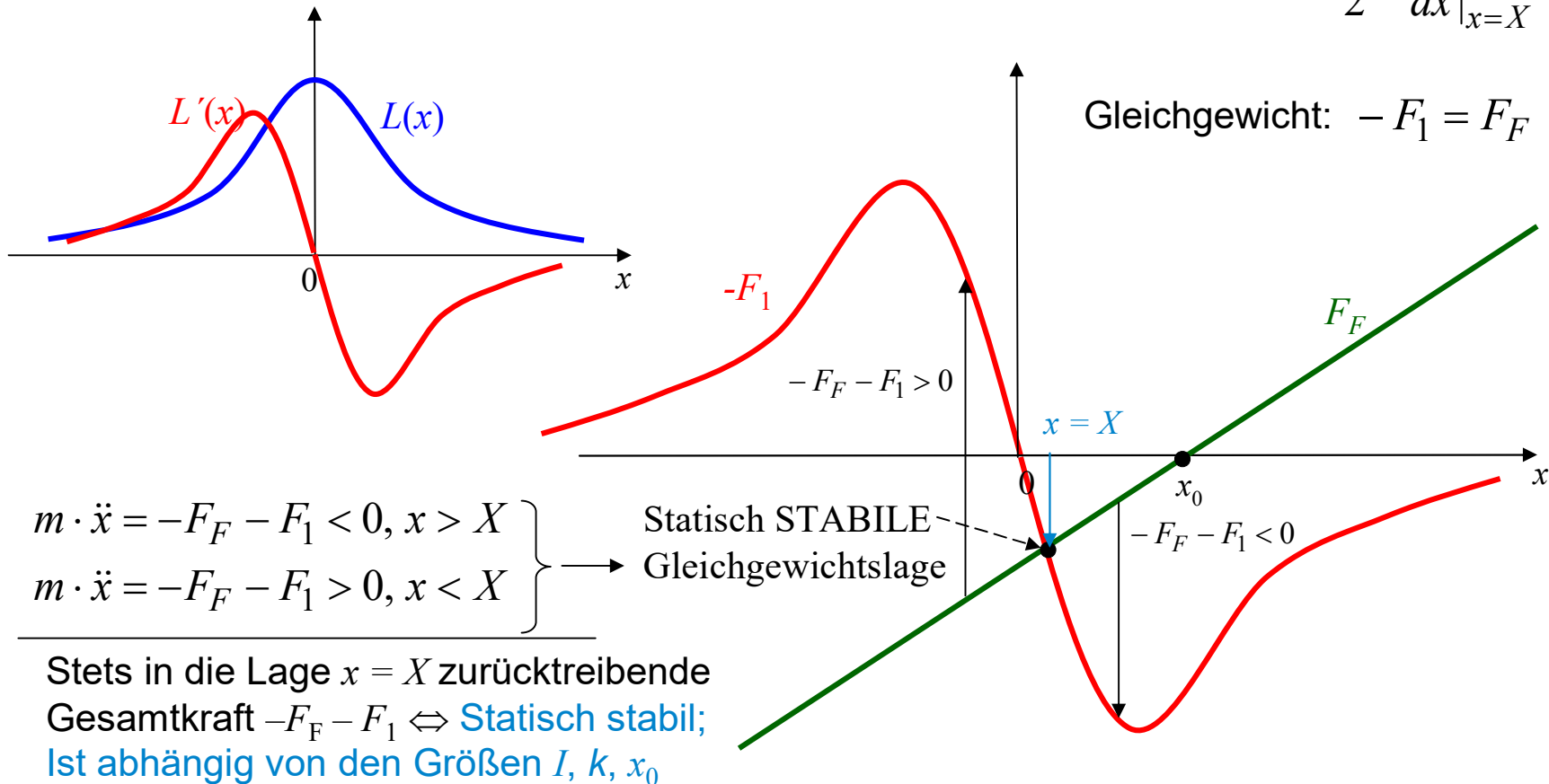
c) Verhalten bei sinusförmiger Anregung im Arbeitspunkt  $I(X)$

$$u(t) = U + \hat{U} \cdot \cos \omega t \quad \text{bei kleinen Signalen und großen Signalen } \hat{U}$$

# Einführendes Beispiel

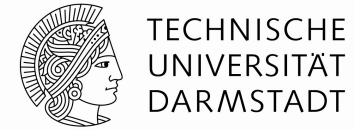
## Gleichgewichtslage $x = X$

- Gleichgewicht:  $d./dt = 0$   $u(t) = U = R \cdot i(t) = R \cdot I \Rightarrow F_F = k \cdot (X - x_0) = \frac{I^2}{2} \cdot \frac{dL}{dx} \Big|_{x=X} = -F_1$



# Elektromechanische Systeme

## 2. Grundlagen



### Zusammenfassung:

- Mechanische und elektromagnetische Kräfte
- Mechanische und elektromagnetische Energien
- Kopplung der mechanischen und elektrischen Systemgleichungen
- Nichtlineare System-Differentialgleichungen mit mehreren mechanischen und elektromagnetischen Unbekannten

